

République Algérienne Démocratique et Populaire
Ministère de l'Enseignement Supérieur et de la Recherche Scientifique
Université Abderrahmane MIRA de Bejaia



جامعة بجاية
Tasdawit n'Bgayet
Université de Béjaïa



Faculté de Technologie
Département d'**Hydraulique**

Laboratoire d'**Hydraulique appliquée et environnement**

MÉMOIRE DE FIN D'ÉTUDES

Présenté par :
MEDJBEUR Meriem
ZOUGHEBI Aicha

En vue de l'obtention du diplôme de **MASTER en Hydraulique**

Option : **hydraulique urbaine**

INTITULE :

CONCEPTION DU RESEAU D'ASSAINISSEMENT D'EAU USEE DES VILLAGES IMAGHDACEN, TAGROUDJA, AIT SAADA ET TAOUIRIRTH, COMMUNE D'AKFADOU, W.BEJAIA

Soutenu le **28 /09 /2022** Devant le jury composé de :

- Président : **AMOURA Zouhir**
- Promoteur (s) : **MERAH Ferhat**
- Examinateur (s) : **BENZERRA Abbas**

Remerciement

*Avant tout, on remercie **DIEU** qui a illuminé notre chemin pour finir nos études.*

*Nous tenons à exprimer notre gratitude et grand respect à notre promoteur **M.MERAH.F** pour son soutien.*

Nos sincères remerciements vont aussi aux membres de jury pour avoir accepter de juger notre travail. Nous présentons nos remerciements à l'ensemble de nos enseignants du département d'hydraulique.

Notre profonde gratitude et nos plus vif remerciements vont à nos familles pour leur aide, leur patience, leur encouragement et pour tous les sacrifices qu'elles ont faites pour nous voir réussir.

Que toute personne ayant contribué de près ou de loin à la réalisation de ce mémoire retrouve ici l'expression de nos plus profonds remerciements.

Dédicace

A l'aide de notre dieu le tout puissant on a pu faire ce modeste travail que je dédie à :

*A celle qui m'a comblé d'amour, celle qui s'est sacrifié et a tout donné pour me voir réussir aujourd'hui : **ma chère maman***

*A ceux qui m'ont toujours soutenus et m'ont toujours protégé de tous : mon père et mes trois frères **Mahdi, Daoud et Brahim***

A toute ma grande famille ; tantes, oncles, cousins, cousines et mes grands parent

*A mon oncle **Morad** particulièrement pour son soutient et son amour*

*A celles qui ont toujours cru en moi et m'ont encouragé depuis tout le début et m'ont jamais laissé tombé : **Lynda et Kenza***

A ceux avec qui j'ai partagé les plus beaux moments à l'université :

Adel, Djim, Mahdi et Rabeh

A ma binôme Aïcha et sa famille

MERJEM

Symboles

a: paramètre exprimant la limite inférieure a ne pas dépasser lorsque le débit moyen futur et très grand

b : paramètre exprimant l'augmentation de Q_P lorsque Q_{mf} est très petit

C_p : Coefficient de pointe

C_{pe} : Coefficient de pointe entrant

C_{ps} : Coefficient de pointe sortant

Da : Dotation actuel 100(l/hab./j)

Df : Dotation futur de 150(l/hab/j)

H' : la hauteur de bassin décantation (m)

I : la pente de la conduite

L : Longueur du tronçon

l : La largeur de bassin décantation

L' : La longueur de bassin décantation (m)

L_i : Longueur du tronçon (i)

$\sum L_i$: La somme des longueurs des tronçons de sous-bassin (m).

n : Nombre d'année séparent l'année de la référence et celle de l'horizon voulu

Nha : Nombre d'habitant actuels

Nhf : Nombre d'habitant futur

N_{moy} : Nombre de réservoirs de chasse

\emptyset : Diamètre à pleine section (m)

P: Pente de la conduite

Pa : Perte actuels

Pf : Pertes futurs

P_0 : Population actuelle

P_n : Population à l'horizon de l'étude

Q_{ma} : Débit moyen actuel (l/s)

Q_{mei} : Débit moyen entrant au tronçon i (l/s).

Q_{mf} : Débit moyen futur (l/s)

Q_{mfu} : Débit unitaire (l /m .s) ;

Q_{msi} : Débit moyen sortant au tronçon i (l/s);

Q_P : Débit de pointe (l/s)

Q_{pei} : Débit de pointe entrant du la conduit I (l/s)

Q_{ri} : Débit de route du tronçon (i) (l/s) ;

Q_{ps} : Débit a pleine section (l/s)

Q_{psi} : Débit de pointe sortant du la conduit i (l/s)

S_1 : Section 01 de bassin

S_2 : Section 02 de bassin

T : Taux d'accroissement annuel de la population

t_{ch} : Temps de chute de la particule dans le bassin de décantation (s)

t_{sej} : Temps de séjour dans le bassin de décantation (s)

V_h : vitesse horizontal du bassin de décantation (m/s)

V_c : vitesse de chute (m/s)

V_{PS} : vitesse a pleine section (m/s)

V_r : Volume d'un réservoir m³

Liste des tableaux

Tableau (II.1) : tableau des avantages et inconvénients de chaque réseau	(9)
Tableau (II.2): tableau des ouvrages de transport d'un réseau d'assainissement	(9)
Tableau ((II.3) : les ouvrages annexes d'un réseau d'assainissement.....	(10)
Tableau (III.1) : tableau des regards du réseau principal de village.....	(12)
Tableau(III.2) : tableau des regards du sous réseau n°1 de village.....	(13)
Tableau(III.3): tableau des regards du sous réseau n°2 de village	(14)
Tableau (III.4.) : tableau des regards du sous réseau n°3de village.....	(14)
Tableau (III.5) : tableau des regards du sous réseau n°4 de village.....	(14)
Tableau (III.6) : tableau des regards du sous réseau n°5de village.....	(14)
Tableau (III.7) : tableau des regards du sous réseau n°6de village.....	(15)
Tableau (III.8) : tableau des regards du sous réseau n°7de village.....	(15)
Tableau(III.9) :tableau des regards du sous réseau n°08de village.....	(15)
Tableau (III.10) : tableau des regards du sous réseau n°9de village.....	(15)
Tableau (III.11) : tableau récapitulatif de la population a différents horizon.....	(17)
Tableau (III.12) : tableau des débits moyens actuels et futurs.....	(18)
Tableau (III.13) : Tableau d'estimation du débit d'eaux usées pour le village TAGROUDJA.....	(22)
Tableau (III.14) : Suite Tableau d'estimation du débit d'eaux usées pour le village TAGROUDJA.....	(23)
Tableau (III.15) : Suite Tableau d'estimation du débit d'eaux usées pour le village TAGROUDJA.....	(24)
Tableau (III.16) : Suite Tableau d'estimation du débit d'eaux usées pour le village TAGROUDJA.....	(25)
Tableau (III.17) : Suite Tableau d'estimation du débit d'eaux usées pour le village TAGROUDJA.....	(26)
Tableau (III.18) : Suite Tableau d'estimation du débit d'eaux usées pour le village TAGROUDJA.....	(27)
Tableau (III.19) : Suite Tableau d'estimation du débit d'eaux usées pour le village TAGROUDJA.....	(28)
Tableau (III.20) : tableau de choix du diamètre	(30)

Tableau (III.21) : tableau vérification des conditions d'auto-curage	(32)
Tableau (III.22) : suite tableau vérification des conditions d'auto-curage	(33)
Tableau (III.23) : suite tableau vérification des conditions d'auto-curage	(34)
Tableau (III.24) : suite tableau vérification des conditions d'auto-curage	(35)
Tableau (III.25) : suite tableau vérification des conditions d'auto-curage	(36)
Tableau (III.26) : suite tableau vérification des conditions d'auto-curage	(37)
Tableau (III.27) : suite tableau vérification des conditions d'auto-curage	(38)
Tableau (IV.1) : tableau de vitesse de chute de quelque particule	(44)
Tableau (IV.2) : tableau de dimensionnement des bassins de décantations des villages..	(46)

Liste des figures

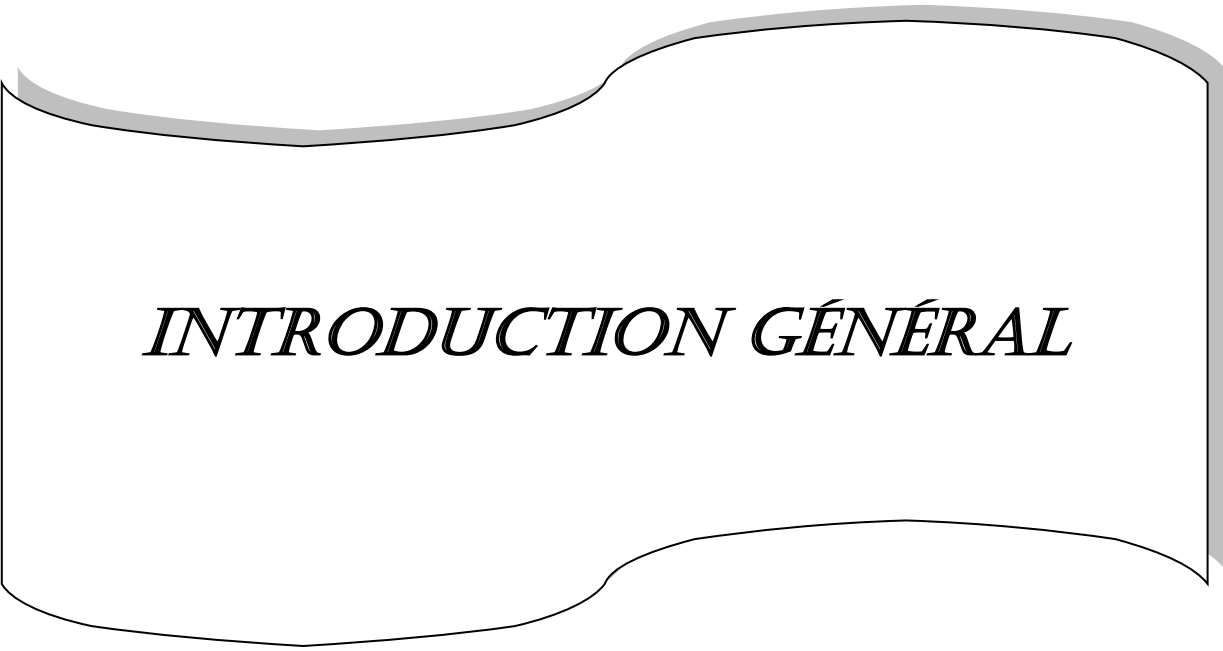
Figure(I.1) : Photo de la zone d'étude.....	(3)
Figure(I.2) : Carte topographique.....	(4)
Figure(I.3) : Diagramme de précipitations.	(5)
Figure(I.4) : diagramme de la température.....	(5)
Figure(I.5) : diagramme de vent.....	(6)
Figure (II.1) : Schéma de principe d'un réseau unitaire.....	(8)
Figure (II.2): Schéma de principe d'un réseau séparatif.....	(8)
Figure (II.3): schéma de principe d'un réseau pseudo séparatif.....	(8)
Figure (III.2) : exemple emplacement des nœuds.....	(21)
Figure (III.3) : photo de l'Abaque	(29)
Figure (IV.1) : schéma d'un bassin de décantation.....	(42)

Sommaire

Introduction générale.....	(1)
Chapitre I : Présentation de la région	
I.1. Introduction	(2)
I.2.Localisation :.....	(2)
I.3.Données géographiques	(2)
I.4.Données topographique	(3)
I .5.Données géologiques.....	(4)
I .6.Données hydrographiques.....	(4)
I .7.Données Climatiques.....	(4)
I .7..1.climat	(4)
I .7.2. Pluviométrie	(5)
I .7.3.température	(5)
I .7.4. Vent	(6)
I .8.Conclusion	(6)
Chapitre II: Généralités sur les réseaux d'assainissement	
II .1. Introduction	(7)
II .2. Les origines des eaux usées.....	(7)
II .3. Choix du type de réseau.....	(7)
II .4. Les différents types réseaux d'assainissement.....	(7)
II .4. .1.Réseau d'assainissement unitaire	(8)
II .4. .2.Réseau d'assainissement séparatif	(8)
II .4.3. Le réseau assainissement pseudo séparatif	(8)
II .5.Avantages et inconvénients de chaque réseau	(9)
II .6.Eléments constitutifs d'un réseau d'assainissement	(9)
II .6..1.Les ouvrages de transport des eaux :	(9)
II .6..2.Les ouvrages annexes :	(9)
II .7.Conclusion.....	(10)
Chapitre III : Conception et dimensionnement du réseau d'assainissement	
III .1.Introduction	(11)
III .2.Tracé en plan du réseau.....	(11)
III .3.Critère de tracé	(11)

III .4.Description du réseau projeté	(11)
III .5.Profils en long et mode de calculs des pentes	(11)
III .5.1.calcul de pente	(11)
III .5.2. Exemple de calcul	(12)
III .6 Estimation des débits des eaux usées domestiques	(16)
III .6.1.estimation du débit moyen actuel.....	(16)
III .6.2.estimation du débit moyen futur	(16)
III .6.3. Estimation du débit de pointe.....	(16)
III .7. Estimation de la population a différents horizons	(17)
III .8.Dimensionnement du réseau	(17)
III .8.1.détermination des débits moyen domestique actuels et futurs	(17)
III .8.2.calcul du débit unitaire pour chaque sous-bassin	(18)
III .8.3.calcul des débits de route des tronçons	(18)
III.8.4. Calcul du débit moyen entrant.....	(18)
III .8.5. Calcul du débit moyen sortant	(19)
III .8.6. Calcul du coefficient de pointe entrant et sortant.....	(19)
III.8.7. calcul débit de pointe entrant	(19)
III.8.8. calcul débit de pointe sortant	(19)
III.8.9. calcul débit de pointe	(20)
III.8.10.Exemplaire de calcul.....	(20)
III .9.Choix de diamètre de la conduite	(29)
III .10.vérification de la capacité d'auto-curage.....	(30)
III .10.1.les conditions d'auto-curage.....	(30)
III .10.1. 1. Exemplaire de calcul	(31)
III .10.2.Calculs du nombre de réservoirs de chasse.....	(31)
III .10.3.Calculs de la capacité des réservoirs	(39)
III .10.4.Calculs de volume d'eau annuel nécessaire	(39)

III .11.CONCLUSION	(40)
Chapitre IV : Bassin de décantation	
IV .1.Définition de bassin décantation	(41)
IV .2.Types de bassin décantation	(41)
IV .3.Type de décantation	(41)
IV .4 avantage et inconvénients des bassins de décantations	(41)
IV .5.Modes de calcul hydraulique d'un bassin de décantation	(42)
Conclusion général.....	(48)
Reference.....	(49)
Annexe (I)	(50)
Annexe (II)	(65)
Annexe (III)	(100)



INTRODUCTION GÉNÉRAL

Introduction générale

L'assainissement des eaux usées est devenu nécessaire dans notre société.

La croissance rapide de la population dans les zones urbaines et l'évolution des modes de vie ont entraîné une augmentation importante du tissu urbain, ce qui implique une forte demande en eau. Sans oublier que les ressources en eaux non seulement peuvent être détériorées mais aussi risque de la pénurie.

Le but principal de l'assainissement est d'assurer la collecte et le cheminement vers la station d'épuration avant leur rejeter dans le milieu récepteur. Et cela est pour préserver la santé de l'être vivant d'une part et d'autre part pour protéger l'environnement de la pollution

Le projet d'assainissement est compliqué, il doit tenir compte de plusieurs facteurs comme le nombre d'habitants actuels et futurs à raccorder aux réseaux, la topographie du site, le nombre de rejet, raccordement vers une step ou non, ... etc.

Mais aussi faut mettre en considération des eaux parasites qui peuvent s'introduire dans les réseaux d'assainissement.

Dans notre travail, on fera une étude sur la conception de réseau d'assainissement des eaux usées de type séparatif pour quelque village de la commune d'Akfadou et cela en respectant les conditions d'auto-curage.

Le travail sera établi selon les points suivants :

- Chapitre 1 : une présentation du site.
- Chapitre 2 : défini des notions générales sur l'assainissement et donne une idée sur les systèmes et les schémas d'évacuation des eaux usées ainsi que les éléments constitutifs d'un réseau d'assainissement.
- Chapitre 3 : la conception et dimensionnement d'un réseau d'assainissement.
- Chapitre 4 : bassin de décantation et son dimensionnement.



CHAPITRE I

PRÉSENTATION DE LA RÉGION

I.1. Introduction

Ce chapitre consiste à la présentation générale de la zone d'étude, a savoir les quatre villages de la commune d'Akfadou (TAGROUDJA, IMAGHDACEN, AIT SAADA et TAOURIRT).

La commune d'Akfadou fait partie de la wilaya de Bejaia .Elle située dans la région de la petite Kabylie en Algérie, d'une superficie de 42.01km².

Elle dépend administrativement de la daïra de Chemini . Elle est aussi réputée pour son massif forestier très riche en espèces végétales et animales.

Le nom Akfadou est composé de deux mots : akfud qui signifie “multiple ou excès ” et adu qui signifie “vent”. Ce nom fait rappeler le climat dans cette région où les vents sont froids et les neiges qui isolent les petits villages pendant l'hiver.

La commune d'Akfadou est composé de plusieurs villages : AIT ALLOUANE, AIT AMARA, AIT SAADA , AOURIR , FARHOUN , IL BATEN , IMAGHDACEN , MEZOUARA , REZAG , TAGROUDJA , TAPOUNT ,TAOURIRT TIZEMOURINE , ZIOUI ET TANIRI.

I .2. Localisation

La commune d'Akfadou est située dans un renfoncement de cette chaîne montagneuse culminant entre 620 (Tapount) et 1100 mètres d'altitude (Imaghdacene). Elle occupe la partie Sud-Ouest de la wilaya de BEJAIA. Notre commune est à 67km du chef lieu de la wilaya.

La commune d'Akfadou est délimitée :

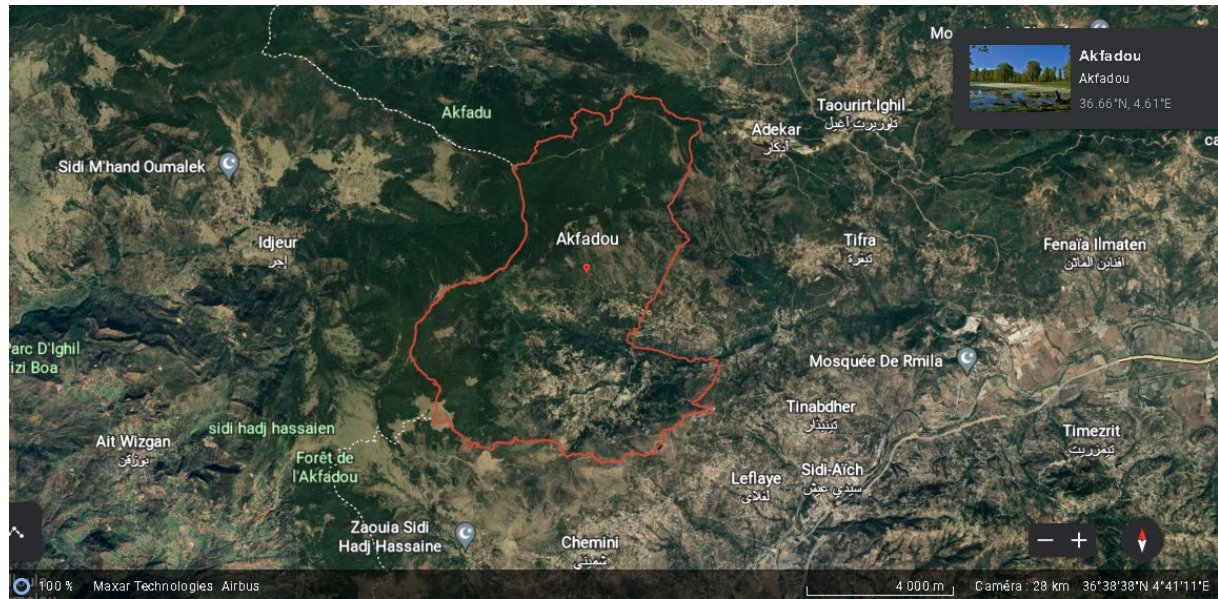
- Au nord, par la commune d'Adekar ;
- Au sud par les communes de Tibane , souk-Oufella et Chemini ;
- A l'est par les communes Tifra et Tinebdar ;
- Et de l'ouest par les communes ijeur et Bouzeguène wilaya de TIZI OUZOU

I .3.Données géographiques

L'Akfadou est un massif montagneux de la Kabylie. Il prolonge vers le Nord-est le Djurdjura et s'étend de Tizi Icelladen à l'Est jusqu'à Yakouren à l'ouest. Il fait office de point de jonction entre la haute et la basse Kabylie. Orienté plein Est, il fait face à la vallée de la Soummam.

La région est dominée par deux sommets, l'un à l'ouest surplombant le plateau d'Akfadou où est implantée la station de la TDA (ex-RTA) atteint 1 623 m, l'autre à l'est Azrou Taghat culmine à 1 542 m d'altitude.

D'une diversité et d'une richesse remarquables tant en flore qu'en faune, la forêt d'Akfadou occupe la majeure partie de ce carrefour naturel d'une ampleur sans précédent en Afrique du Nord au point de devenir le poumon de l'Algérie.



Figure(I.1) : Photo de la zone d'étude

Dans notre étude nous avons inclus les villages suivants : TAGROUDJA, IMAGHDACEN, AIT SAADA et TAOURIRT

Les distances des villages, par rapport au chef lieu de la commune sont comme suite :

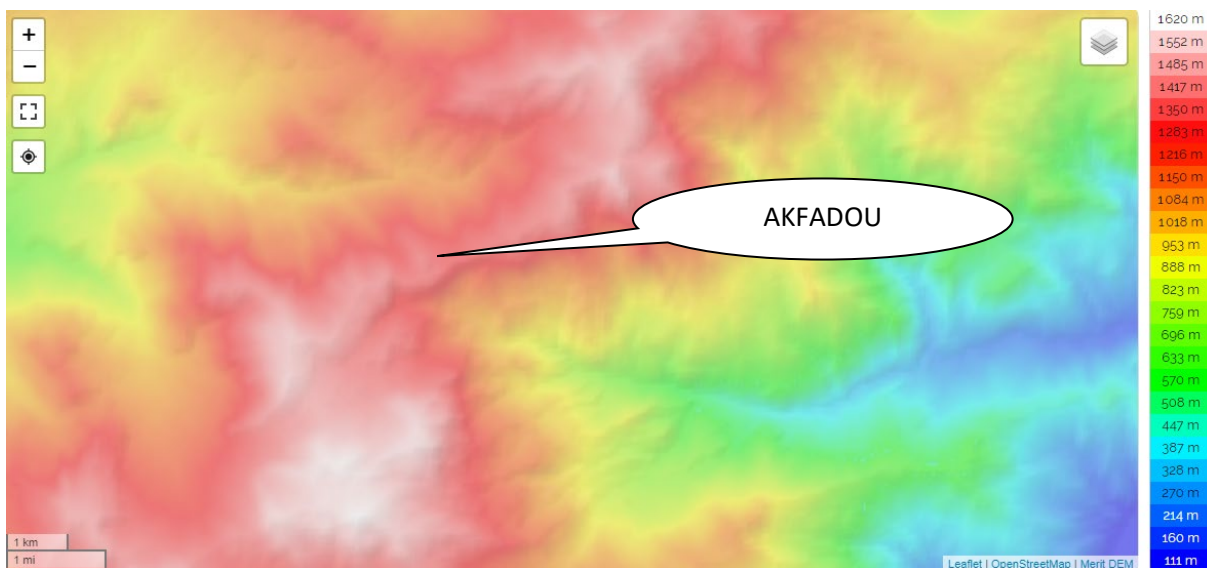
- TAGROUDJA est de : 3.810 km ;
- IMAGHDACEN est de : 5.61km ;
- AIT SAADA est de : 2.720km ;
- TAOURIRT est de : 2.970 km.

I.4.Données topographiques :

Le rôle de la topographie est essentiel dans la conception de réseau d'assainissement, étant donné que l'évacuation se réalise par gravité

Le relief d'AKFADOU est très accidenté, son altitude maximale est de 1631m quant à minimal est de 93 m, avec de forte pente qui dépasse 25%.

Tout en sachant que l'oued Remila est considéré comme le collecteur principal des eaux usées de la région.



Figure(I.2) : Carte topographique

I .5.Données géologiques

Géologiquement, Akfadou marque l'extrême orientale du fond métamorphique Kabyle, dont les principales formations sont :

- Les grès : supportant les crêtes, dont les couches se déposent vers l'ouest, ces roches sont formées de quartz ou de silice, et leurs modifications pédogénétiques ont formé des sols sableux siliceux ;
- Quant aux marnes rouges et vertes, ce sont des roches tendres composées d'argiles carbonatées.

I .6.Données hydrographiques

Le potentiel hydrique est très important en raison des fortes précipitations annuelles de 900 à 2000 mm. Ces quantités sont complétées par la fonte des neiges, qui fournit des éléments nutritifs aux canaux des rivières asséchées et à de nombreuses sources.

La majeure partie de l'eau est captée et fournie aux villages de la commune, où le réseau hydrologique est dense et hiérarchisé, structuré autour l'oued Remila, qui est alimentée par de nombreuses rivières qui traversent la commune et se jetant dans la Soummam d'Ouest en Est.

I .7.Données Climatiques :

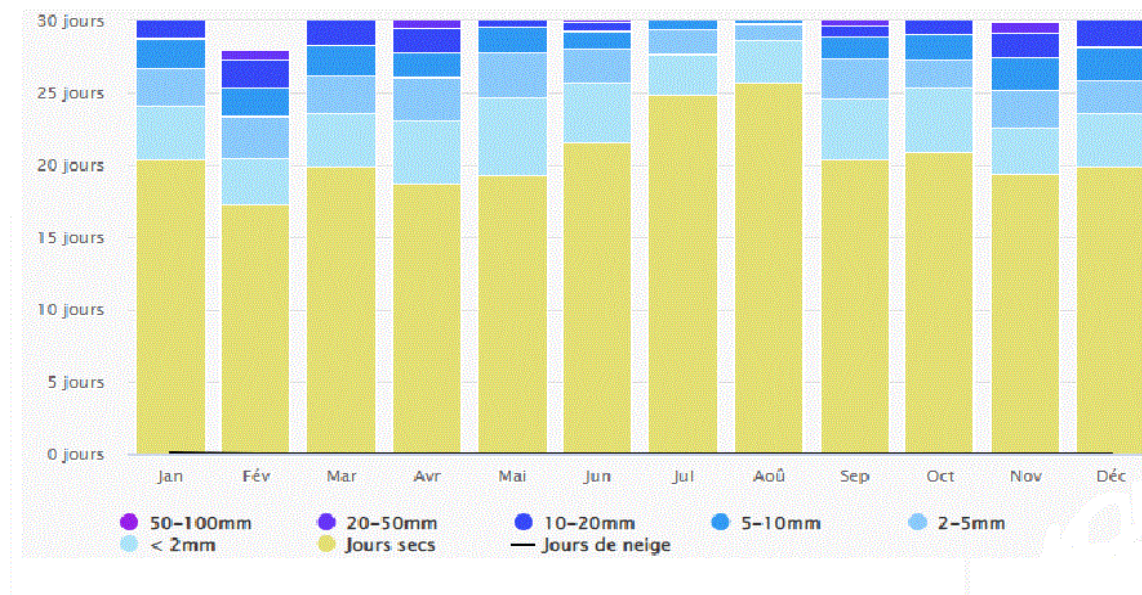
I .7..1.climat

Akfadou possède un climat méditerranéen, qui est comme suit :

- De mi-octobre à fin mars, une saison froide
- Début avril jusqu'à fin mai, une période printanière et une période automnale de septembre jusqu'à mi-octobre
- De juin jusqu'à fin août, une période sèche

I.7.2. Pluviométrie

Le diagramme suivant indique la quantité de précipitation atteinte pour la commune d'Akfadou

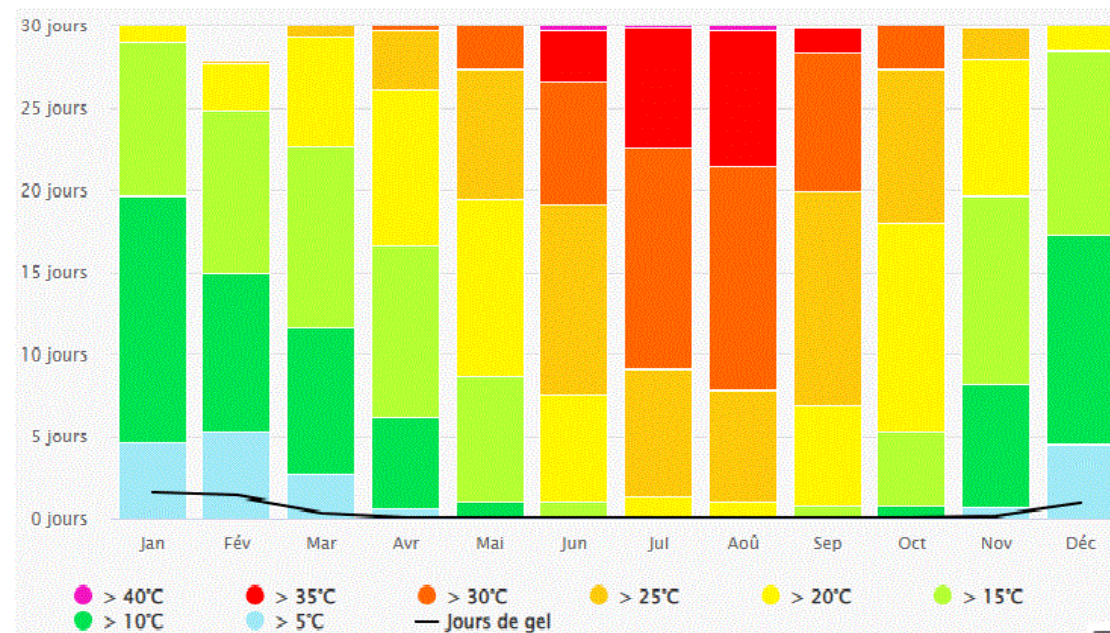


Figure(I.3) : Diagramme de précipitations

En regardant le diagramme de précipitation on déduit que le mois de février est le plus précipitant et neigeux comparant au moi d'août contient le plus les jours sec.

I.7.3. température

Le diagramme de la température de la commune d'Akfadou

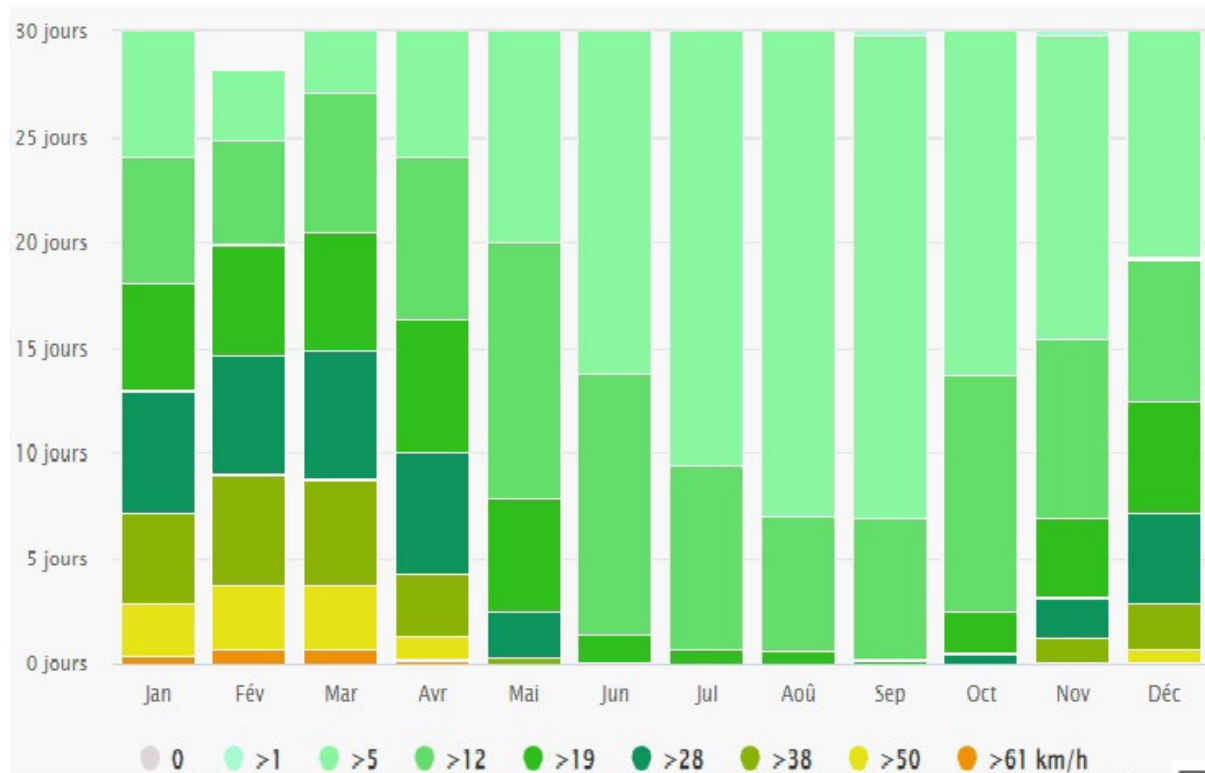


Figure(I.4) : diagramme de la température

Dans le diagramme de température maximale, on remarque que les mois de janvier et février sont les plus froids et que le mois d'août est le plus chaud.

I .7.4. Vent

Le diagramme suivant montre les vitesses du vent pendant l'année dans la commune d'Akfadou.



Figure(I.5) : diagramme de vent

D'après ce diagramme, on conclu que le vent est maximum dans trois mois de l'année : Janvier, Février et Mars contrairement au mois de septembre.

I .6.Conclusion

Dans ce chapitre nous avons pu avoir une description générale de la zone d'étude qui nous permettra de faire mieux notre dimensionnement de réseau d'assainissement.

CHAPITRE II

*GÉNÉRALITÉS SUR LES RÉSEAUX
D'ASSAINISSEMENT*

II .1. Introduction

Un réseau d'assainissement est un ensemble structuré d'ouvrages qui assure l'évacuation des eaux usées (collecte, transport, traitement, rejet) ainsi que leur rejet dans les exutoires naturels sous des modes respectueux des exigences de la santé publique et de l'environnement.

Le rôle d'un réseau d'assainissement consiste en :

- La préservation des individus contre les dangers des maladies.
- La protection des ressources en eau souterraines et superficielles.
- La préservation de la qualité du milieu récepteur (sol, cours d'eau, lacs,...).

II .2. Les origines des eaux usées

Les eaux usées proviennent de trois sources principales :

- Les eaux usées domestiques
 - Les eaux usées industrielles
 - Les eaux de ruissellements
1. Les eaux usées domestiques : qui comportent les eaux ménagères, les eaux vannes et les eaux de lavage.
 2. Les eaux industrielles : sont celle qui proviennent des diverses usines de fabrication ou de transformation. elles peuvent contenir des substances organiques ou minérales corrosives.
 3. Les eaux usées de ruissèlement : qui comprennent les eaux de la pluie et les eaux de drainage.

II .3. Choix du type de réseau

Le choix d'un système d'assainissement se fait en fonction de certains critères des données relatives au site topographie, données pluviométriques, et la nature de terrain et celle de milieu récepteur.

II .4. Les différents types réseaux d'assainissement

Le classement des réseaux d'assainissement est en rapport avec le type des eaux transporté. Il existe en général trois types de réseaux :

- Le réseau assainissement unitaire
- Le réseau assainissement séparatif
- Le réseau assainissement pseudo séparatif

II .4. .1.Réseau d'assainissement unitaire : Ce type de réseau sert à évacuer les eaux usées et pluviales dans le même collecteur.

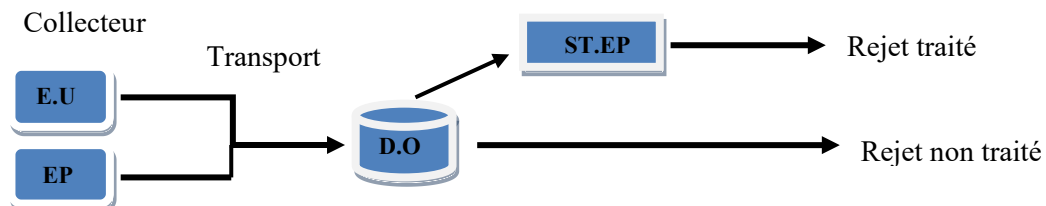


Figure (II.1) : Schéma de principe d'un réseau unitaire

II .4. .2.Réseau d'assainissement séparatif : ce système permet de collecter séparément en deux réseaux les eaux usées et les eaux pluviales.

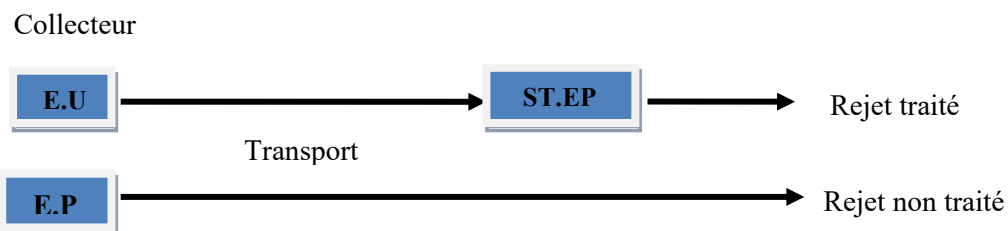


Figure (II.2): Schéma de principe d'un réseau séparatif

II .4.3. Le réseau assainissement pseudo séparatif : ce type est formé de deux systèmes, l'un gérant les eaux usées domestique et industrielle dans une conduite avec une fraction d'eau pluviale des toitures, l'autre destiné au transport et la gestion des eaux pluviales provenant des espaces publics.

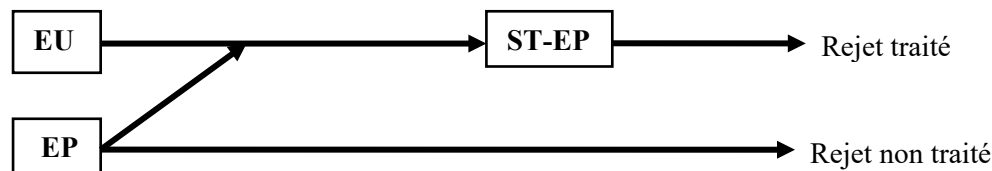


Figure (II.3): schéma de principe d'un réseau pseudo séparatif

II .5.Avantages et inconvénients de chaque réseau

Tableau (II.1) : tableau des avantages et inconvénients de chaque réseau

Type de réseau	Avantages	Inconvénients
Réseau unitaire	Facilité de l'installation et moins couteux	Création d'un surdimensionnement de la Step et débit arrivant est variable en quantité et qualité
Réseau séparatif	Pouvoir de traiter la totalité des eaux usée à la station d'épuration	l'encombrement des réseaux et un investissement important
Réseau pseudo séparatif	évite la séparation des eaux usées et pluvial provenant de l'immeuble	Les raccordements risquent de perturber la station d'épuration à cause de la présence des eaux pluviale des toitures

II .6.Eléments constitutifs d'un réseau d'assainissement

Un réseau d'assainissement est formé de deux types d'ouvrage :

- Les ouvrages de transport des eaux
- Les ouvrages annexes

II .6..1.Les ouvrages de transport des eaux :

Les ouvrages de transport correspondant aux ouvrages d'évacuation des effluents vers le point de rejet ou vers la station d'épuration comprennent les conduites et les joints.

Dans ce tableau nous résumons l'ensemble des ouvrages de transport des eaux.

Tableau (II.2): tableau des ouvrages de transport d'un réseau d'assainissement

type	Définition
Conduite sous terrain	Elles sont utilisées systématiquement et qui sont simple à fabriqué avec un inconvénient pour les grosses sections (pose , étanchéité) .
Rigoles ou caniveaux	Ils sont ouverts, ou couverts par des éléments de grille en fonte ou en acier dimensionnés selon les charges dynamiques placé à proximité de voirie.

II .6..2.Les ouvrages annexes :

Il existe deux types d'ouvrages :

1. Les ouvrages systématiques : Ils assurent généralement la fonction de collecte des effluents reçus ou d'accès au réseau et qui relient les conduites à la surface.
2. Les ouvrages spéciaux : Ils sont liés aux conditions de fonctionnement du réseau, aux procédés d'entretien et de curage et à la topographie du bassin versant.

Dans ce tableau nous résumons l'ensemble des ouvrages annexes.

Tableau ((II.3) : les ouvrages annexes d'un réseau d'assainissement

Type	Définition
Regards de visite	Ouvrage de première importance dans un réseau d'assainissement, ils permettent la maintenance et la surveillance des égouts ainsi ils assurent l'aération grâce à une fonte sur le couvercle du regard. Ils sont prévu dans chaque branchement, chaque changement de direction et la distance en alignement droit entre les regards de visites est de 50 à 70m.
Avaloir	C'est une ouverture située perdure de trottoir qui est destiné à recueillir les eaux de ruissellement et les évacuer à l'égout avec un branchement de raccordement au réseau
Regard de chute	C'est un ouvrage le plus utilisé dans le cas où la pente est forte. C'est une solution préférable dans certains cas
Déversoir d'orage	Ils permettent de stocker momentanément les débits écrétés par les déversoirs d'orage et les rejeter dans le milieu naturel une fois les matières solides sont décantées.
Bassin de retenu	Permet de régulariser le débit lors d'une forte précipitation, ainsi de limiter d'une part les inondations incontrôlées, d'autre part la canalisation aval et d'absorber les pointes de débits.
Bassin décantation	C'est un ouvrage hydraulique permet la décantation des particules transportées par l'écoulement. Ce bassin est employé pour le traitement des eaux usées.

II .7.Conclusion

Dans ce chapitre, nous avons donné des généralités sur les réseaux d'assainissement et présenter les différents types des réseaux existants dans la littérature

Dans notre étude, le type du réseau choisi est le réseau d'assainissement séparatif selon les conditions technique (la nature de terrain, la topographie du site).

CHAPITRE III

CONCEPTION ET

DIMENSIONNEMENT D'UN

RÉSEAU D'ASSAINISSEMENT

III .1.Introduction

Dans le but de dimensionnement les collecteurs du réseau d'assainissement, l'évaluation de la quantité de l'eau rejetée par les usagers est nécessaire.

Le dimensionnement du réseau d'eau usée demande d'abord une étude, la recherche de nombreuses données à savoir l'occupation du sol, le nombre d'habitants.

III .2.Tracé en plan du réseau

Dans cette étape, on doit d'abord déterminer le tracé du réseau à projeter ainsi que la détermination des points de rejets nécessaires.

III .3.Critère de tracé

Les caractéristiques des éléments constituant le tracé en plan du réseau doivent assurer les conditions suivantes :

- diminuer le linéaire du réseau ;
- Obtenir des écoulements gravitaires;
- Acheminer les écoulements vers l'exutoire ;
- Assurer les branchements particuliers.

III .4.Description du réseau projeté

Les caractéristiques du réseau d'assainissement projeté de notre zone d'étude sont les suivants :

- Un réseau d'assainissement de type séparatif (eau usée).
- 07 sous bassins sont obtenus.
- Conception des bassins de décantation comme type d'épuration.

III .5.Profils en long et mode de calculs des pentes

III .5.1.calcul de pente

$$I_{1-2} = (\cot 1 - \cot 2) + /L_{1-2}$$

Avec :

I_{1-2} : La pente de la conduite (1-2).

$\cot 1$: Cote amont de la conduite.

$\cot 2$: Cote aval de la conduite.

L_{1-2} : La distance partielle de la conduite (1-2).

III .5.2. Exemple de calcul

Les tableaux suivants récapitulent les cotes des conduites et regards ainsi que les pentes des conduites d'un réseau principal de village de TAGROUDJA

Tableau (III.1) : tableau des regards du réseau principal de village

N° Regard	N° conduite	DIST-P (m)	DIST-C (m)	COTE TN(m)	PROF (m)	COTE radier (m)	Pente I
R1	R1- R2	17,06	17,06	954,57	1	953,57	0,1038
R2	R2- R3	28,14	45,2	952,8	1	951,8	0,0981
R3	R3-R4	19,84	65,04	950,04	1	949,04	0,1225
R4	R4-R5	20,48	85,52	947,61	1	946,61	0,1509
R5	R5-R6	13,9	99,42	944,52	1	943,52	0,0712
R6	R6-R7	10,01	109,43	943,53	1	942,53	0,1109
R7	R7-R8	6,03	115,46	942,42	1	941,42	0,0630
R8	R8-R9	15,82	131,28	942,04	1	941,04	0,0099
R9	R9-R10	19,26	150,54	942,73	1,85	940,88	0,0099
R10	R10-R11	17,3	167,84	943,23	2,54	940,69	0,0099
R11	R11-R12	14,41	182,25	942,72	2,2	940,52	0,0099
R12	R12-R13	11,77	194,02	941,38	1	940,38	0,0280
R13	R13-R14	14,62	208,64	941,05	1	940,05	0,0055
R14	R14-R15	27,31	235,95	941,13	1	940,13	0,03
R15	R15-R16	21,07	257,02	940,31	1	939,31	0,0364
R16	R16-R17	12,58	269,6	939,58	1	938,58	0,0016
R17	R17-R18	26,25	295,85	939,56	1	938,56	0,0385
R18	R18-R19	11,47	307,32	938,55	1	937,55	0,1229
R19	R19-R20	18,3	325,62	937,14	1	936,14	0,1142
R20	R20-R21	14,94	340,56	935,05	1	934,05	0,1064
R21	R21-R22	20,8	361,36	933,46	1	932,46	0,0543
R22	R22-R23	17,07	378,43	932,33	1	931,33	0,0949
R23	R23-R24	21,19	399,62	930,71	1	929,71	0,01354
R24	R24-R25	32,44	432,06	927,84	1	926,84	0,1495
R25	R25-R26	20,68	452,74	922,99	1	921,99	0,1093
R26	R26-R27	12,85	465,59	920,73	1	919,73	0,0833
R27	R27-R28	21,52	487,11	919,66	1	918,66	0,1125
R28	R28-R29	23,34	510,45	917,24	1	916,24	0,1371
R29	R29-R30	24,94	535,39	914,04	1	913,04	0,1191
R30	R30-R31	26,59	561,98	911,07	1	910,07	0,1328
R31	R31-R32	34,13	596,11	907,54	1	906,54	0,1184
R32	R32-R33	15,41	611,52	903,5	1	902,5	0,1233
R33	R33-R34	9,83	621,35	901,6	1	900,6	0,0824
R34	R34-R35	32,15	653,5	900,79	1	899,79	0,1039

N° Regard	N° conduite	DIST-P (m)	DIST-C (m)	COTE TN(m)	PROF (m)	COTE radier (m)	Pente I
R35	R35-R36	24,6	678,1	897,45	1	896,45	0,0947
R36	R36-R37	36,12	714,22	895,12	1	894,12	0,0969
R37	R37-R38	46,4	760,62	891,62	1	890,62	0,1188
R38	R38-R39	29,2	789,82	886,11	1	885,11	0,0808
R39	R39-R40	30,4	820,22	883,75	1	882,75	0,0668
R40	R40-R41	14,41	834,63	881,72	1	880,72	0,0416
R41	R41-R42	17,96	852,59	881,12	1	880,12	0,2389
R42	R42-R43	11,57	864,16	876,83	1	875,83	0,2550
R43	R43-R44	11,23	875,39	873,88	1	872,88	0,1051
R44	R44-R45	6,08	881,47	872,7	1	871,7	0,0806
R45	R45-R46	7,79	889,26	872,21	1	871,21	0,0924
R46	R46-R47	7,31	896,57	871,49	1	870,49	0,0889
R47	R47-R48	12,06	908,63	870,84	1	869,84	0,0713
R48	R48-R49	7,37	916	869,98	1	868,98	0,0285
R49	R49-R50	9,54	925,54	869,77	1	868,77	0,1038
R50	R50-R51	19,54	945,08	868,78	1	867,78	0,0850
R51	R51-R52	10,6	955,68	867,12	1	866,12	0,1142
R52	R52-R53	3,17	958,85	865,91	1	864,91	0,0946
R53	R53-R54	9,42	968,27	865,61	1	864,61	0,1614
R54	R54-R55	11,84	980,11	864,09	1	863,09	0,1520
R55	R55-R56	11,51	991,62	862,29	1	861,29	0,1494
R56	R56-R57	13,26	1004,88	860,57	1	859,57	0,2036
R57	R57-R58	6,3	1011,18	857,87	1	856,87	0,0032
R58	R58-R59	6,55	1017,73	857,89	1	856,89	0,3649
R59	R59-R60	11,33	1029,06	855,5	1	854,5	0,3513
R60	R60-R61	11,45	1040,51	851,52	1	850,52	0,0393
R61	R61-62	9,05	1049,56	848,78	1	847,78	0,1989
R62	R62-R63	5,86	1055,42	846,98	1	845,98	0,3106

Tableau (III.2) : tableau des regards du sous réseau n°I de village

N° Regard	N° conduite	DIST-P (m)	DIST-C (m)	COTE TN(m)	PROF (m)	COTE radier (m)	Pente I
R64	R64-R65	17,75	17,75	957,63	1	956,63	0,1487
R65	R65-R1	5,83	23,58	954,99	1	953,99	0,0738

Tableau (III.3) : tableau des regards du sous réseau n°2 de village

N° Regard	N° conduite	DIST-C (m)	COTE TN(m)	PROF (m)	COTE radié (m)	Pente I
R66	R66-R67	24,05	24,05	954,71	1	953,71
R67	R67-R2	5,09	29,14	953,46	1	952,46

Tableau (III.4) : tableau des regards du sous réseau n°3 de village

N° Regard	N° conduite	DIST-C (m)	COTE TN(m)	PROF (m)	COTE radier (m)	Pente I
R68	R68-R69	20,88	20,88	951,86	1	950,86
R69	R69-R70	9,84	30,72	950,79	1	949,79
R70	R70-R4	5,43	36,15	948,69	1	947,69

Tableau (III.5) : tableau des regards du sous réseau n°4 de village

N° Regard	N° conduite	DIST-C (m)	COTE TN(m)	PROF (m)	COTE radier (m)	Pente I
R70	R70-R71	15,3	15,3	951,97	1	950,97
R71	R71-R72	17,32	32,62	950,49	1	949,49
R72	R72-R73	8,77	41,39	947,12	1	946,12
R73	R73-R74	27,14	68,53	945,3	1	944,3
R74	R74-R16	8,05	76,58	940,35	1	939,35

Tableau (III.6) : tableau des regards du sous réseau n°5 de village.

N° Regard	N° conduite	DIST-C (m)	COTE TN(m)	PROF (m)	COTE radier (m)	Pente I
R80	R80-R81	9,82	9,82	958,13	1	957,13
R81	R81-R82	8,68	18,5	957,2	1	956,2
R82	R82-R83	14,96	33,46	956,29	1	955,29
R83	R83-R84	21,18	54,64	953,62	1	952,62
R84	R84-R85	18,05	72,69	951,74	1	950,74
R85	R85-R86	16,65	89,34	950,31	1	949,31
R86	R86-R87	22,75	112,09	949	1	948
R87	R87-R88	15,97	128,06	945,3	1	944,3
R88	R88-R80	5,56	133,62	942,09	1	941,09

Tableau (III.7) : tableau des regards du sous réseau n°6 de village

N° Regard	N° conduite	DIST-P (m)	DIST-C (m)	COTE TN(m)	PROF (m)	COTE radier (m)	Pente I
R75	R75-R76	15,15	15,15	948,85	1	947,85	0,0594
R76	R76-R77	25,71	40,86	947,95	1	946,95	0,0405
R77	R77-R78	19,98	60,84	946,91	1	945,91	0,0566
R78	R78-R79	21,65	82,49	945,78	1	944,78	0,0873
R79	R79-R80	16,44	98,93	943,89	1	942,89	0,1527
R80	R80-R17	13,95	112,88	941,38	1	940,38	0,1305

Tableau (III.8.) : tableau des regards du sous réseau n°7 de village

N° Regard	N° conduite	DIST-P (m)	DIST-C (m)	COTE TN(m)	PROF (m)	COTE radier (m)	Pente I
R89	R89-R90	15,15	26,59	909,22	1	908,22	0,0496
R90	R90-R91	25,71	78,88	907,9	1	906,9	0,0752
R91	R91-R92	19,98	112,91	903,97	1	902,97	0,0776
R92	R92-R34	21,65	128,49	901,33	1	900,33	0,0347

Tableau (III.9) : tableau des regards du sous réseau n°8 de village

N° Regard	N° conduite	DIST-P (m)	DIST-C (m)	COTE TN(m)	PROF (m)	COTE radier (m)	Pente I
R93	R93-R54	19,39	19,39	864,67	1	863,67	0,0299

Tableau (III.10) : tableau des regards du sous réseau (9) de village

N° Regard	N° conduite	DIST-P (m)	DIST-C (m)	COTE TN(m)	PROF (m)	COTE projet (m)	Pente I
R94	R94-R94	11,88	11,88	858,56	1	857,56	0,0513
R95	R95-R58	6,95	18,83	857,95	1	856,95	0,0101

III.6.Estimations des débits des eaux usées domestiques

La méthode de dimensionnement hydraulique d'un collecteur drainant une zone que nous venons d'exposer, nécessite à l'établissement d'une note de calcul, détectée dans les points ci-après.

III.6.1.Estimations du débit moyen actuel :

$$Q_{ma} = \frac{(Da * Nha) * (1 - Pa)}{86400}$$

Avec :

Q_{ma} : Débit moyen de l'année 2008 (l/s)

Da : Dotation actuel 100(l/hab./j)

Nha : Nombre d'habitants de l'année 2008

Pa : Perte actuelle (20%).

III.6.2.estimation du débit moyen futur

$$Q_{mf} = \frac{(Df * Nh_f) * (1 - Pf)}{86400}$$

Avec :

Q_{mf} : Débit moyen futur (l/s)

Df : Dotation futur de 150(l/hab./j)

Nh_f : Nombre d'habitant futur

Pf : Pertes futurs (25%)

III.6.3.Estimations du débit de pointe

$$Q_P = C_p * Q_{mf}$$

Avec :

$$C_p = a + \frac{b}{\sqrt{Q_{mf}}}$$

Q_P : Débit de pointe (l/s)

Q_{mf} : Débit moyen futur

C_p : Coefficient de pointe ($C_p \leq 4$)

a=1,5 : paramètre exprimant la limite inférieure à ne pas dépasser lorsque le débit moyen futur est très grand

b=2,5 : paramètre exprimant l'augmentation de Q_P lorsque Q_{mf} est très petit

III .7.Estimtion de la population à différents horizons

L'évolution démographique d'une population à différents horizon est estimée par la formule suivante :

$$P_n = P_0(1 + T)^n$$

Avec

P_n : Population à l'horizon de l'étude (dans notre cas 2033)

P_0 : Population pour l'année (2008)

T : taux d'accroissement annuel de la population est égale à 2.5

n : nombre d'années séparent l'année de la référence et celle de l'horizon voulu

Les résultats des calculs de la population future à différents horizons sont résumés dans le tableau suivant :

Tableau (III.11) : tableau récapitulatif de la population à différents horizon

Année	2008	2015	2025	2033
Nombre d'habitants	2379	2828	3620	4411

III.8.Dimensionnement du réseau

III .8.1.Détermination des débits moyen domestique actuels et futurs

Les résultats sont interprétés dans le tableau suivant

Tableau (III.12) : tableau des débits moyens actuels et futurs

Village	Nh pour année (2008)	$Nhf(2033)$	$Q_{ma}(\text{l/s})$	$Q_{mf}(\text{l/s})$
IMAGHDASSEN	1320	2447	1,22	3,19
TAGROUDJA	189	350	0,18	0,46
AIT SAADA	297	550	0,28	0,72
TAOURIRT	573	1062	0,53	1,38

III.8.2.Calcul du débit unitaire pour chaque sous-bassin

$$Q_u = \frac{Q_{mf}}{\sum L_i}$$

Avec :

Q_u : Débit unitaire (l/m.s) ;

Q_{mf} : Débit moyen futur de sous-bassin (l/s) ;

$\sum L_i$: La somme des longueurs des tronçons de sous-bassin (m),

III.8.3.calcul des débits de route des tronçons

$$Q_{ri} = Q_u * L_i$$

Avec :

Q_{ri} : Débit de route du tronçon (i) (l/s) ;

Q_u : Débit spécifique (l/s.m) ;

L_i : Longueur du tronçon (i) (m).

III.8.4.Calcul du débit moyen entrant

$$Q_{mei} = \sum Q_{ri}$$

Avec :

Q_{me} : Débit moyen entrant au tronçon i (l/s),

III .8.5.Calcul du débit moyen sortant

$$Q_{msi} = Q_{mei} + Q_{ri}$$

Avec:

Q_{msi} : Débit moyen sortant au tronçon i (l/s);

Q_{mei} : Débit moyen entrant au tronçon i (l/s);

Q_{ri} : Débit de route au tronçon i (l/s).

III.8.6.Calcul du coefficient de pointe entrant et sortant

$$C_{pe} = a + \frac{b}{\sqrt{Q_{mei}}}$$

$$C_{ps} = a + \frac{b}{\sqrt{Q_{msi}}}$$

Avec :

a=1,5 et b=2,5

III.8.7.calcul débit de pointe entrant

$$Q_{pei} = C_{pe} * Q_{mei}$$

Avec :

Q_{pei} : Débit de pointe entrant du la conduit I (l/s);

C_{pe} : Coefficient de pointe entrant de la conduite i ;

Q_{mei} : Débit moyen entrant et la conduite i (l/s).

III.8.8.calcul débit de pointe sortant

Le calcul se fait par la formule suivante :

$$Q_{psi} = C_{ps} * Q_{msi}$$

Avec

Q_{psi} : Débit de pointe sortant du la conduit i (l/s) ;

C_{ps} Coefficient de pointe sortant de la conduite i ;

Q_{msi} : Débit moyen sortant de la conduite i (l/s),

III.8.9.calcul débit de pointe

$$Q_P = (Q_{psi} + Q_{pei})/2$$

Avec :

Q_P : Débit de pointe (l/s),

III.8.10. Exemplaire de calcul

On fait le calcul pour le village Tagroudja, Le tronçon N1 –N2, avec une longueur de 1638,03m

On sait que

$$Q_{mf} = 0,46 \text{ (l/s)}$$

➤ calcul du débit moyen futur (unitaire).

$$Q_{mfu} = 0,46 / 1638,03 = 0,000281 \text{ (l/s)}$$

➤ calcul du débit moyen futur (route).

$$Q_{mfr} = 0,000281 * 17,75 = 0,004987 \text{ (l/s)}$$

➤ Calcul du débit moyen futur entrant.

$$Q_{mei} = 0 \text{ (l/s)}$$

➤ Calcul du débit moyen futur sortant.

$$Q_{msi} = 0 + 0,004987 = 0,004987 \text{ (l/s)}$$

➤ Calcul de coefficient de pointe entrant et sortant.

$$C_{pe} = /$$

$$C_{ps} = 1,5 + \left(\frac{2,5}{\sqrt{0,004987}} \right) = 36,8987291 \text{ puisque } C_{ps} > 4 \text{ donc on prend } C_{ps} = 4$$

➤ Calcul du débit de pointe entrant.

$$Q_{pe} = /$$

- Calcul du débit de pointe sortant.

$$Q_{ps} = 4 * 0.004987 \text{ (l/s)} = 0,019951 \text{ (l/s)}$$

- Calcul du débit de pointe.

$$Q_p = (0,019951 + 0) / 2 = 0,009975 \text{ (l/s)}$$

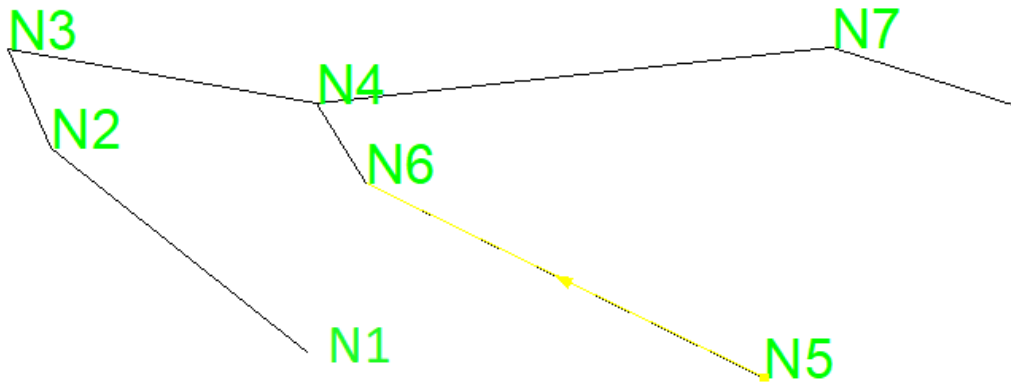


Figure (III.2) : exemple emplacement des nœuds

La suite des calculs de dimensionnement du réseau pour le village de Tagroudja sont rassemblé dans les tableaux suivants :

Tableau (III.13) : Tableau d'estimation du débit d'eaux usées pour le village TAGROUDJA

Nœud	L_i (m)	Q_{mfu} (m^3 /s)	Q_{mfr} (m^3 /s)	Q_{mei} (m^3 /s)	Q_{msi} (m^3 /s)	C_{pe}	C_{ps}	Q_{pe} (m^3 /s)	Q_{ps} (m^3 /s)	Q_P (m^3 /s)
1	17.75			0	0,00498775	/	4	0	0,019951	0,0099755
2		0,000281	0,00498775							
2	5.83			0,00498775	0,00662598	4	4	0,019951	0,02650392	0,02322746
3		0,000281	0,00163823							
3	17.06			0,00662598	0,01141984	4	4	0,02650392	0,04567936	0,03609164
4		0,000281	0,00479386							
5	24.05			0	0,00675805	/	4	0	0,0270322	0,0135161
6		0,000281	0,00675805							
6	5.09			0,00675805	0,00818834	4	4	5,53372E-05	0,03275336	0,01640435
4		0,000281	0,00143029							
4	28.14			0,01960818	0,02751552	4	4	0,000539529	0,11006208	0,0553008
7		0,000281	0,00790734							
7	19.84			0,02751552	0,03309056	4	4	0,000910504	0,13236224	0,06663637
8		0,000281	0,00557504							
9	20.88			0	0,00586728	/	4	0	0,02346912	0,01173456
10		0,000281	0,00586728							
10	9.84			0,00586728	0,00863232	4	4	0,02346912	0,03452928	0,0289992
11		0,000281	0,00276504							
11	5.43			0,00863232	0,01015815	4	4	0,03452928	0,0406326	0,03758094
8		0,000281	0,00152583							
8	20.48			0,02157799	0,02733287	4	4	0,08631196	0,10933148	0,09782172
12		0,000281	0,00575488							
12	13.9			0,02733287	0,03123877	4	4	0,10933148	0,12495508	0,11714328
13		0,000281	0,0039059							
13	10.01			0,03123877	0,03405158	4	4	0,12495508	0,13620632	0,1305807
14		0,000281	0,00281281							

Tableau (III.14) : Tableau d'estimation du débit d'eaux usées pour le village TAGROUDJA

Nœud	L_i (m)	Q_{mfu} (m ³ /s)	Q_{mfr} (m ³ /s)	Q_{mei} (m ³ /s)	Q_{msi} (m ³ /s)	C_{pe}	C_{ps}	Q_{pe} (m ³ /s)	Q_{ps} (m ³ /s)	Q_P (m ³ /s)
14	6,03			0,03405158	0,03574601	4	4	0,13620632	0,14298404	0,13959518
15		0,000281	0,00169443							
15	15,82			0,03574601	0,04019143	4	4	0,14298404	0,16076572	0,15187488
16		0,000281	0,00444542							
16	19,26			0,04019143	0,04560349	4	4	0,16076572	0,18241396	0,17158984
17		0,000281	0,00541206							
17	17,3			0,04560349	0,05046479	4	4	0,18241396	0,20185916	0,19213656
18		0,000281	0,0048613							
18	14,41			0,05046479	0,054514	4	4	0,20185916	0,218056	0,20995758
19		0,000281	0,00404921							
19	11,77			0,054514	0,05782137	4	4	0,218056	0,23128548	0,22467074
20		0,000281	0,00330737							
20	14,62			0,05782137	0,06192959	4	4	0,23128548	0,24771836	0,23950192
21		0,000281	0,00410822							
21	27,31			0,06192959	0,0696037	4	4	0,24771836	0,2784148	0,26306658
22		0,000281	0,00767411							
22	21,07			0,0696037	0,07552437	4	4	0,2784148	0,30209748	0,29025614
23		0,000281	0,00592067							
24	15,3			0	0,0042993	/	4	0	0,0171972	0,0085986
25		0,000281	0,0042993							
25	17.32			0,0042993	0,00916622	4	4	0,0171972	0,03666488	0,02693104
26		0,000281	0,00486692							
26	8,77			0,00916622	0,01163059	4	4	0,03666488	0,04652236	0,04159362
27		0,000281	0,00246437							
27	27,14			0,01163059	0,01925693	4	4	0,04652236	0,07702772	0,06177504
28		0,000281	0,00762634							
28	8,05			0,01925693	0,02151898	4	4	0,07702772	0,08607592	0,08155182
23		0,000281	0,00226205							

Tableau (III.15) : Tableau d'estimation du débit d'eaux usées pour le village TAGROUDJA

Nœud	L_i (m)	Q_{mfu} (m ³ /s)	Q_{mfr} (m ³ /s)	Q_{mei} (m ³ /s)	Q_{msi} (m ³ /s)	C_{pe}	C_{ps}	Q_{pe} (m ³ /s)	Q_{ps} (m ³ /s)	Q_P (m ³ /s)
23	12,58			0,09704335	0,10057833	4	4	0,3881734	0,40231332	0,39524336
29		0,000281	0,00353498							
30	9,82			0	0,00275942	/	4	0	0,01103768	0,00551884
31		0,000281	0,00275942							
31	8,68			0,00275942	0,00243908	4	4	0,01103768	0,00975632	0,010397
32		0,000281	0,00243908							
32	14,96			0,00243908	0,00420376	4	4	0,00975632	0,01681504	0,01328568
33		0,000281	0,00420376							
33	21.18			0,00420376	0,01015534	4	4	0,01681504	0,04062136	0,0287182
34		0,000281	0,00595158							
34	18.05			0,01015534	0,01522739	4	4	0,04062136	0,06090956	0,05076546
35		0,000281	0,00507205							
35	16.65			0,01522739	0,01990604	4	4	0,06090956	0,07962416	0,07026686
36		0,000281	0,00467865							
36	22.75			0,01990604	0,02629879	4	4	0,07962416	0,10519516	0,09240966
37		0,000281	0,00639275							
37	15.97			0,02629879	0,03078636	4	4	0,10519516	0,12314544	0,1141703
38		0,000281	0,00448757							
38	5.56			0,03078636	0,03234872	4	4	0,12314544	0,12939488	0,12627016
39		0,000281	0,00156236							
40	15.15			0	0,00425715	/	4	0	0,0170286	0,0085143
41		0,000281	0,00425715							
41	25.71			0,00425715	0,01148166	4	4	0,0170286	0,04592664	0,03147762
42		0,000281	0,00722451							
42	19.98			0,01148166	0,01709604	4	4	0,04592664	0,06838416	0,0571554
43		0,000281	0,00561438							
43	21.65			0,01709604	0,02317969	4	4	0,06838416	0,09271876	0,08055146
44		0,000281	0,00608365							

Tableau (III.16) : Tableau d'estimation du débit d'eaux usées pour le village TAGROUDJA

Nœud	L_i (m)	Q_{mfu} (m^3 /s)	Q_{mfr} (m^3 /s)	Q_{mei} (m^3 /s)	Q_{msi} (m^3 /s)	C_{pe}	C_{ps}	Q_{pe} (m^3 /s)	Q_{ps} (m^3 /s)	Q_P (m^3 /s)
44	16.44			0,02317969	0,02779933	4	4	0,09271876	0,11119732	0,10195804
39		0,000281	0,00461964							
39	13.95			0,06014805	0,064068	4	4	0,2405922	0,256272	0,2484321
29		0,000281	0,00391995							
29	26.25			0,16464633	0,17202258	7,6611812	7,52763964	1,261385368	1,29492399	1,27815468
45		0,000281	0,00737625							
45	11.47			0,17202258	0,17524565	7,52763964	7,47195306	1,294923992	1,30942727	1,30217563
46		0,000281	0,00322307							
46	18.3			0,17524565	0,18038795	7,47195306	7,38621671	1,309427271	1,33238449	1,32090588
47		0,000281	0,0051423							
47	14.94			0,18038795	0,18458609	7,38621671	7,31889504	1,33238449	1,35096622	1,34167535
48		0,000281	0,00419814							
48	20.8			0,18458609	0,19043089	7,31889504	7,2289009	1,350966218	1,37660603	1,36378613
49		0,000281	0,0058448							
49	17.07			0,19043089	0,19522756	7,2289009	7,15808471	1,376606033	1,39745541	1,38703072
50		0,000281	0,00479667							
50	21.19			0,19522756	0,20118195	7,15808471	7,07372455	1,397455413	1,4231057	1,41028056
51		0,000281	0,00595439							
51	32.44			0,20118195	0,21029759	7,07372455	6,95158592	1,423105698	1,46190176	1,44250373
52		0,000281	0,00911564							
52	20.68			0,21029759	0,21610867	6,95158592	6,87779092	1,461901765	1,48635025	1,47412601
53		0,000281	0,00581108							
53	12.85			0,21610867	0,21971952	6,87779092	6,83341881	1,486350248	1,5014355	1,49389287
54		0,000281	0,00361085							
54	21.52			0,21971952	0,22576664	6,83341881	6,76150665	1,5014355	1,52652264	1,51397907
55		0,000281	0,00604712							
55	23.34			0,22576664	0,23232518	6,76150665	6,68670882	1,526522638	1,55349083	1,54000673
56		0,000281	0,00655854							

Tableau (III.17) : Tableau d'estimation du débit d'eaux usées pour le village TAGROUDJA

Nœud	L_i (m)	Q_{mfu} (m^3 /s)	Q_{mfr} (m^3 /s)	Q_{mei} (m^3 /s)	Q_{msi} (m^3 /s)	C_{pe}	C_{ps}	Q_{pe} (m^3 /s)	Q_{ps} (m^3 /s)	Q_P (m^3 /s)
56	24.94			0,23232518	0,23933332	6,68670882	6,61020622	1,55349083	1,5820426	1,56776672
57		0,000281	0,00700814							
57	26.59			0,23933332	0,24680511	6,61020622	6,53225842	1,5820426	1,61219476	1,59711868
58		0,000281	0,00747179							
58	34.13			0,24680511	0,25639564	6,53225842	6,43724514	1,612194757	1,65048159	1,63133817
59		0,000281	0,00959053							
59	15.41			0,25639564	0,26072585	6,43724514	6,39607388	1,650481587	1,6676218	1,65905169
60		0,000281	0,00433021							
60	9,83			0,26072585	0,26348808	6,39607388	6,37034271	1,667621799	1,67850937	1,67306558
61		0,000281	0,00276223							
62	26,59			0	0,00747179	/	4	0	0,02988716	0,01494358
63		0,000281	0,00747179							
63	52,29			0,00747179	0,02216528	4	4	0,02988716	0,08866112	0,05927414
64		0,000281	0,01469349							
64	34,03			0,02216528	0,03172771	4	4	0,08866112	0,12691084	0,10778598
65		0,000281	0,00956243							
65	15,58			0,03172771	0,03610569	4	4	0,12691084	0,14442276	0,1356668
61		0,000281	0,00437798							
61	32,15			0,29959377	0,30862792	6,06744808	6,00010247	1,817769646	1,85179914	1,83478439
66		0,000281	0,00903415							
66	24,6			0,30862792	0,31554052	6,00010247	5,95053725	1,851799144	1,87763562	1,86471738
67		0,000281	0,0069126							
67	36,12			0,31554052	0,32569024	5,95053725	5,88064073	1,877635618	1,91526729	1,89645145
68		0,000281	0,01014972							
68	46,4			0,32569024	0,33872864	5,88064073	5,79550323	1,91526729	1,96310293	1,93918511
69		0,000281	0,0130384							
69	29,2			0,33872864	0,34693384	5,79550323	5,74440363	1,963102926	1,99292801	1,97801547
70		0,000281	0,0082052							

Tableau (III.18) : Tableau d'estimation du débit d'eaux usées pour le village TAGROUDJA

Nœud	L_i (m)	Q_{mfu} (m^3 /s)	Q_{mfr} (m^3 /s)	Q_{mei} (m^3 /s)	Q_{msi} (m^3 /s)	C_{pe}	C_{ps}	Q_{pe} (m^3 /s)	Q_{ps} (m^3 /s)	Q_P (m^3 /s)
70	30,4			0,34693384	0,35547624	5,74440363	5,69309517	1,992928009	2,02376007	2,00834404
71		0,000281	0,0085424							
71	14,41			0,35547624	0,35952545	5,69309517	5,66941562	2,023760065	2,0382992	2,03102963
72		0,000281	0,00404921							
72	17,96			0,35952545	0,36457221	5,66941562	5,64045652	2,038299203	2,0563537	2,04732645
73		0,000281	0,00504676							
73	11,57			0,36457221	0,36782338	5,64045652	5,62211727	2,056353698	2,06794618	2,06214994
74		0,000281	0,00325117							
74	11,23			0,36782338	0,37097901	5,62211727	5,60454801	2,067946178	2,07916967	2,07355792
75		0,000281	0,00315563							
75	6,08			0,37097901	0,37268749	5,60454801	5,59512913	2,079169672	2,08523463	2,08220215
76		0,000281	0,00170848							
76	7,79			0,37268749	0,37487648	5,59512913	5,58315543	2,085234633	2,09299365	2,08911414
77		0,000281	0,00218899							
77	7,31			0,37487648	0,37693059	5,58315543	5,57201451	2,092993654	2,10026272	2,09662818
78		0,000281	0,00205411							
78	12,06			0,37693059	0,38031945	5,57201451	5,55383194	2,100262716	2,11223031	2,10624651
79		0,000281	0,00338886							
79	7			0,38031945	0,38228645	5,55383194	5,54338929	2,11223031	2,11916261	2,11569646
80		0,000281	0,001967							
80	9,54			0,38228645	0,38496719	5,54338929	5,52928651	2,119162612	2,12859389	2,12387825
81		0,000281	0,00268074							
81	19,54			0,38496719	0,39045793	5,52928651	5,50085567	2,128593892	2,14785272	2,13822331
82		0,000281	0,00549074							
82	10,6			0,39045793	0,39343653	5,50085567	5,48568221	2,147852719	2,15826777	2,15306025
83		0,000281	0,0029786							
83	3,17			0,39343653	0,3943273	5,48568221	5,48117791	2,158267773	2,16137809	2,15982293
84		0,000281	0,00089077							

Tableau (III.19) : Tableau d'estimation du débit d'eaux usées pour le village TAGROUDJA

Nœud	L_i (m)	Q_{mfu} (m^3 /s)	Q_{mfr} (m^3 /s)	Q_{mei} (m^3 /s)	Q_{msi} (m^3 /s)	C_{pe}	C_{ps}	Q_{pe} (m^3 /s)	Q_{ps} (m^3 /s)	Q_P (m^3 /s)
84	9,42			0,3943273	0,39697432	5,48117791	5,46788249	2,161378088	2,17060893	2,16599351
85		0,00195217	0,00264702							
85	19,39			0,39697432	0,40242291	5,46788249	5,44092945	2,170608933	2,18955466	2,1800818
86		0,00195217	0,00544859							
86	11,84			0,40242291	0,40574995	5,44092945	5,42473891	2,189554662	2,20108754	2,1953211
87		0,00195217	0,00332704							
87	11,51			0,40574995	0,40898426	5,42473891	5,40918939	2,201087542	2,21227332	2,20668043
88		0,00195217	0,00323431							
88	13,26			0,40898426	0,41271032	5,40918939	5,39150277	2,212273321	2,22512883	2,21870108
89		0,00195217	0,00372606							
89	6,3			0,41271032	0,41448062	5,39150277	5,38318333	2,225128835	2,23122516	2,228177
90		0,00195217	0,0017703							
91	11,88			0	0,00333828	/	4	0	0,01335312	0,00667656
92		0,00195217	0,00333828							
92	6,95			0,00333828	0,00529123	4	4	0,01335312	0,02116492	0,01725902
90		0,00195217	0,00195295							
90	6,55			0,41977185	0,4216124	5,35863192	5,35020028	2,249402836	2,25571078	2,25255681
93		0,00195217	0,00184055							
93	11,33			0,4216124	0,42479613	5,35020028	5,33574505	2,255710779	2,26660385	2,26115731
94		0,00195217	0,00318373							
94	11,45			0,42479613	0,42801358	5,33574505	5,32130088	2,266603847	2,27758904	2,27209644
95		0,00195217	0,00321745							
95	9,05			0,42801358	0,43055663	5,32130088	5,30999906	2,27758904	2,2862553	2,28192217
96		0,00195217	0,00254305							
96	5,66			0,43055663	0,43214709	5,30999906	5,3029815	2,286255299	2,29166802	2,28896166
97		0,00195217	0,00159046							

III .9.Choix de diamètre de la conduite

Le choix de diamètre se fait à partir de l'Abaque suivante

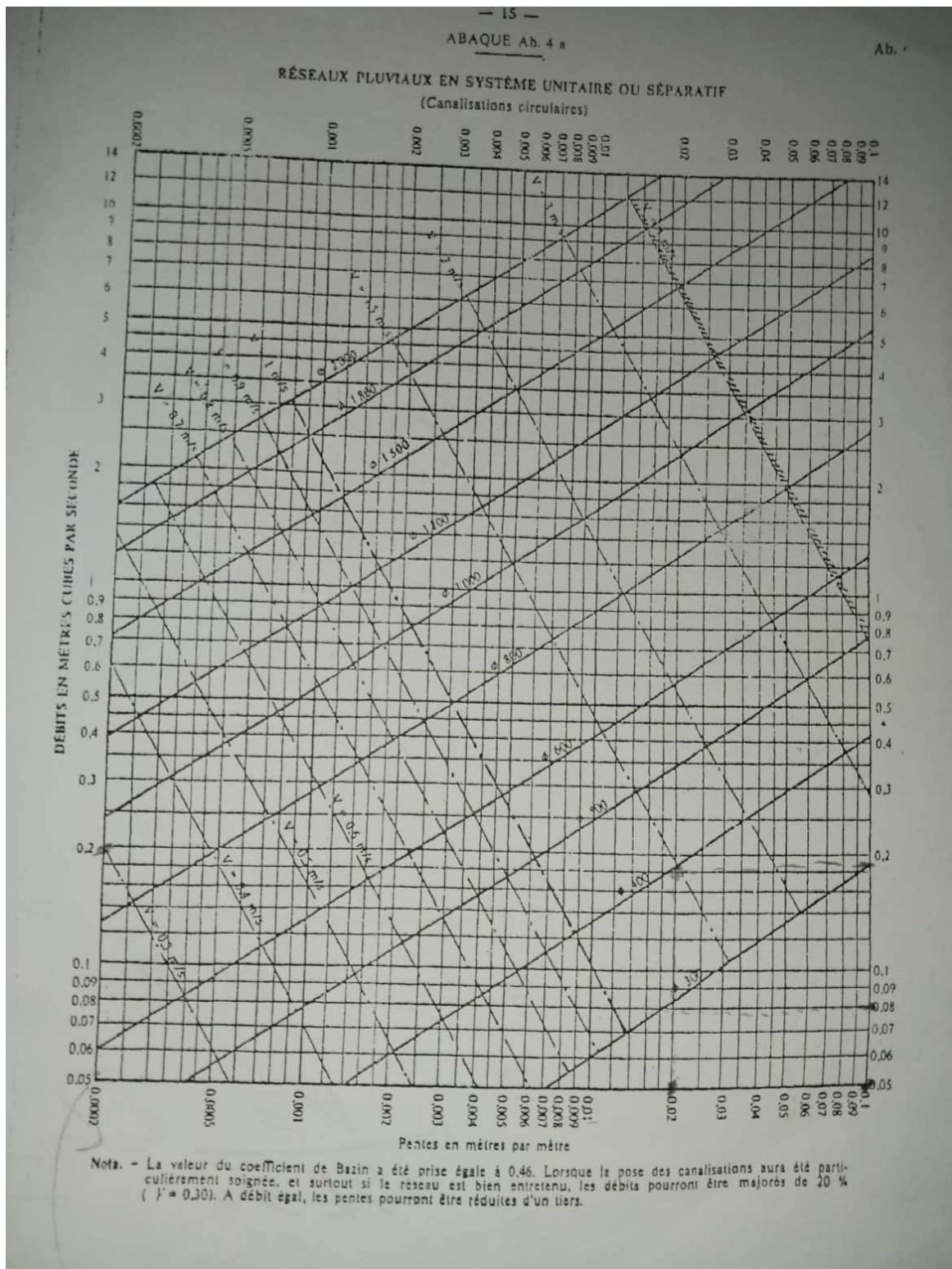


Figure (III.3) : photo de l'Abaque

Tableau (III.20) : tableau de choix du diamètre

Conduite	pente	Q_P (l/s)	Diamètre (mm)
R62-R66	0,1989	2,288961	200

III .10.vérification de la capacité d'auto-curage

Le réseau d'assainissement doit respecter trois conditions pour qu'il auto curant.

III .10.1.les conditions d'auto-curage

1^{er} condition :

Pour une hauteur de remplissage égale à $\frac{1}{2}$ du diamètre de la conduite à vérifier et une vitesse supérieure ou égale à 0,7 m/s (ou à l'extrême rigueur de 0,5 m/s) :

$$V \geq 0,7 \text{ m/s pour } H = 1/2 \varnothing$$

2^{eme} condition :

Pour un remplissage égal à $2/10$ du diamètre, la vitesse d'écoulement doit être au moins égale à 0,3 m/s,

$$V \geq 0,3 \text{ m/s pour } H = 2/10\varnothing$$

3^{eme} condition

Le remplissage de la conduite au moins égal à $2/10$ du diamètre doit être assuré pour le débit moyen actuel,

$$H = \frac{2}{10} \varnothing * Q_{min}$$

Le rapport des hauteurs (rH) pour la troisième condition est obtenu selon la formule suivante:

$$rH = 0,49615 \times rQ + 0,07861 \times rQ^2 + 3,65128 \times rQ^3 - 3,16149 \times rQ^4 - 0,0612 rQ^5$$

A partir de l'abaque de BAZIN, on détermine le débit à pleine section. On détermine V_{PS} à l'aide de la formule :

$$V_{PS} = 4 * \frac{Q_{ps}}{\pi * \varnothing^2}$$

Avec :

V_{ps} : vitesse à pleine section (m/s)

Q_{ps} : Débit à pleine section (m^3/s)

\emptyset : Diamètre de la conduite (m)

D'où

$$Q_{ps} = \frac{0,03117}{0,013} * \emptyset^{\frac{8}{3}} * \sqrt{I}$$

Avec :

I : la pente de la conduite en %

\emptyset : diamètre de la conduite en (m)

III .10.1. 1. Exemple de calcul

Les résultats des différents calculs du réseau du village de Tagroudja sont présentés dans les tableaux suivants :

Tableau (III.21) : tableau vérification des conditions d'auto-curage du réseau du village Tagroudja

N° conduite	L (m)	I (m/m)	\emptyset (m)	Q_{ps} (m^3 /s)	V_{ps} (m^3 /s)	Q_{min} (m^3 /s)	R_q	R_h	$V \geq 0,7$	$V \geq 0,3$	H
1	17,75	0,1487	0,2	0,08910	2,83774	0,00018	0,00202	0,00100	2,89449	1,70264	0,01180
2											
2	5,83	0,0738	0,2	0,10567	3,36544	0,00018	0,00169	0,00084	3,43275	2,01927	0,01680
3											
3	17,06	0,1038	0,2	0,07480	2,38202	0,00018	0,00239	0,00119	2,42966	1,42921	0,01412
4											
5	24,05	0,052	0,2	0,11899	3,78941	0,00018	0,00151	0,00075	3,86520	2,27365	0,01991
6											
6	5,09	0,1316	0,2	0,10273	3,27174	0,00018	0,00174	0,00086	3,33717	1,96304	0,01259
4											
4	28,14	0,0981	0,2	0,11480	3,65605	0,00018	0,00156	0,00077	3,72917	2,19363	0,01448
7											
7	19,84	0,1225	0,2	0,07422	2,36363	0,00018	0,00241	0,00120	2,41090	1,41818	0,01299
8											
9	20,88	0,0512	0,2	0,15152	4,82549	0,00018	0,00118	0,00059	4,92200	2,89529	0,02008
10											
10	9,84	0,2134	0,2	0,14628	4,65866	0,00018	0,00123	0,00061	4,75184	2,79520	0,00987
11											
11	5,43	0,1989	0,2	0,12741	4,05778	0,00018	0,00140	0,00070	4,13893	2,43467	0,01024
8											
8	20,48	0,1509	0,2	0,08752	2,78730	0,00018	0,00205	0,00102	2,84305	1,67238	0,01170
12											
12	13,9	0,0712	0,2	0,10923	3,47864	0,00018	0,00164	0,00082	3,54821	2,08718	0,01707
13											
13	10,01	0,1109	0,2	0,08910	2,83774	0,00018	0,00202	0,00100	2,89449	1,70264	0,01369
14											

Tableau (III.22) : suite tableau vérification des conditions d'auto-curage du réseau du village Tagroudja

N° conduite	L (m)	I (m/m)	\emptyset (m)	Q_{ps} (m^3 /s)	V_{ps} (m^3 /s)	Q_{min} (m^3 /s)	R_q	R_h	$V \geq 0,7$	$V \geq 0,3$	H
14	6,03	0,063	0,2	0,08233	2,62189	0,00018	0,00219	0,00109	2,67433	1,57313	0,01822
15											
15	15,82	0,0099	0,2	0,03264	1,03935	0,00018	0,00552	0,00274	1,06014	0,62361	0,04596
16											
16	19,26	0,0099	0,2	0,03264	1,03935	0,00018	0,00552	0,00274	1,06014	0,62361	0,04596
17											
17	17,3	0,0099	0,2	0,03264	1,03935	0,00018	0,00552	0,00274	1,06014	0,62361	0,04596
18											
18	14,41	0,0099	0,2	0,03264	1,03935	0,00018	0,00552	0,00274	1,06014	0,62361	0,04596
19											
19	11,77	0,028	0,2	0,05488	1,74793	0,00018	0,00328	0,00163	1,78288	1,04876	0,02733
20											
20	14,62	0,0055	0,2	0,02433	0,77468	0,00018	0,00740	0,00368	0,79018	0,46481	0,06166
21											
21	27,31	0,03	0,2	0,05681	1,80927	0,00018	0,00317	0,00157	1,84546	1,08556	0,02640
22											
22	21,07	0,0967	0,2	0,10200	3,24831	0,00018	0,00176	0,00088	3,31327	1,94898	0,01471
23											
24	15,3	0,1946	0,2	0,14469	4,60803	0,00018	0,00124	0,00062	4,70019	2,76482	0,01037
25											
25	17,32	0,2075	0,2	0,14941	4,75831	0,00018	0,00120	0,00060	4,85348	2,85499	0,01004
26											
26	8,77	0,1824	0,2	0,14008	4,46125	0,00018	0,00128	0,00064	4,55047	2,67675	0,01071
27											
27	27,14	0,00957	0,2	0,03209	1,02188	0,00018	0,00561	0,00279	1,04232	0,61313	0,04675
28											
28	8,05	0,0364	0,2	0,06258	1,99294	0,00018	0,00288	0,00143	2,03280	1,19576	0,02397
23											

Tableau (III.23) : suite tableau vérification des conditions d'auto-curage du réseau du village Tagroudja

N° conduite	L (m)	I (m/m)	Ø (m)	$Q_{ps}(\text{m}^3/\text{s})$	$V_{ps}(\text{m}^3/\text{s})$	$Q_{min}(\text{m}^3/\text{s})$	R_q	R_h	$V \geq 0,7$	$V \geq 0,3$	H
23	12,58	0,0947	0,2	0,10094	3,21454	0,00018	0,00178	0,00089	3,27883	1,92872	0,01486
29											
30	9,82	0,1048	0,2	0,10618	3,38162	0,00018	0,00170	0,00084	3,44925	2,02897	0,01413
31											
31	8,68	0,1785	0,2	0,13858	4,41329	0,00018	0,00130	0,00064	4,50156	2,64798	0,01082
32											
32	14,96	0,0888	0,2	0,09774	3,11279	0,00018	0,00184	0,00091	3,17505	1,86768	0,01535
33											
33	21,18	0,0792	0,2	0,09231	2,93972	0,00018	0,00195	0,00097	2,99852	1,76383	0,01625
34											
34	18,05	0,0787	0,2	0,09202	2,93043	0,00018	0,00196	0,00097	2,98904	1,75826	0,01630
35											
35	16,65	0,1626	0,2	0,13226	4,21215	0,00018	0,00136	0,00068	4,29640	2,52729	0,01134
36											
36	22,75	0,201	0,2	0,14705	4,68319	0,00018	0,00122	0,00061	4,77685	2,80991	0,01020
37											
37	15,97	0,1277	0,2	0,11721	3,73284	0,00018	0,00154	0,00076	3,80750	2,23970	0,01280
38											
38	5,56	0,0594	0,2	0,07994	2,54587	0,00018	0,00225	0,00112	2,59679	1,52752	0,01876
39											
39	15,15	0,0405	0,2	0,06601	2,10219	0,00018	0,00273	0,00135	2,14423	1,26131	0,02272
40											
40	25,71	0,0566	0,2	0,07803	2,48515	0,00018	0,00231	0,00114	2,53485	1,49109	0,01922
41											
41	19,98	0,0873	0,2	0,09691	3,08639	0,00018	0,00186	0,00092	3,14812	1,85183	0,01548
42											
42	21,65	0,1527	0,2	0,12817	4,08191	0,00018	0,00140	0,00070	4,16355	2,44915	0,01170
43											

Tableau (III.24) : suite tableau vérification des conditions d'auto-curage du réseau du village Tagroudja

N° conduite	L (m)	I (m/m)	Ø (m)	Q_{ps} (m ³ /s)	V_{ps} (m ³ /s)	Q_{min} (m ³ /s)	R_q	R_h	$V \geq 0,7$	$V \geq 0,3$	H
43											
39	16,44	0,1305	0,2	0,11849	3,77354	0,00018	0,00152	0,00075	3,84901	2,26412	0,01266
39											
29	13,95	0,0016	0,2	0,01312	0,41783	0,00018	0,01372	0,00683	0,42619	0,25070	0,11433
29											
44	26,25	0,0385	0,2	0,06436	2,04962	0,00018	0,00280	0,00139	2,09062	1,22977	0,02331
44											
45	11,47	0,1229	0,2	0,11499	3,66201	0,00018	0,00157	0,00078	3,73525	2,19721	0,01304
45											
46	18,3	0,1142	0,2	0,11084	3,53002	0,00018	0,00162	0,00081	3,60062	2,11801	0,01353
46											
47	14,94	0,1064	0,2	0,10699	3,40733	0,00018	0,00168	0,00083	3,47548	2,04440	0,01402
47											
48	20,8	0,0543	0,2	0,07643	2,43413	0,00018	0,00236	0,00117	2,48281	1,46048	0,01963
48											
49	17,07	0,0949	0,2	0,10104	3,21793	0,00018	0,00178	0,00088	3,28229	1,93076	0,01485
49											
50	21,19	0,01354	0,2	0,03817	1,21549	0,00018	0,00472	0,00234	1,23980	0,72930	0,03930
50											
51	32,44	0,1495	0,2	0,12682	4,03891	0,00018	0,00142	0,00070	4,11969	2,42335	0,01183
51											
52	20,68	0,1093	0,2	0,10844	3,45346	0,00018	0,00166	0,00082	3,52252	2,07207	0,01383
52											
53	12,85	0,0833	0,2	0,09467	3,01485	0,00018	0,00190	0,00094	3,07515	1,80891	0,01585
53											
54	21,52	0,1125	0,2	0,11001	3,50364	0,00018	0,00164	0,00081	3,57372	2,10219	0,01363
54											
55	23,34	0,1371	0,2	0,12145	3,86779	0,00018	0,00148	0,00074	3,94514	2,32067	0,01235
55											

Tableau (III.25) : suite tableau vérification des conditions d'auto-curage du réseau du village Tagroudja

N° conduite	L (m)	I (m/m)	Ø (m)	Q_{ps} (m ³ /s)	V_{ps} (m ³ /s)	Q_{min} (m ³ /s)	R_q	R_h	$V \geq 0,7$	$V \geq 0,3$	H
55	24,94	0,1191	0,2	0,11320	3,60495	0,00018	0,00159	0,00079	3,67705	2,16297	0,01325
56											
56	26,59	0,1328	0,2	0,11953	3,80665	0,00018	0,00151	0,00075	3,88278	2,28399	0,01255
57											
57	34,13	0,1184	0,2	0,11286	3,59434	0,00018	0,00159	0,00079	3,66623	2,15661	0,01329
58											
58	15,41	0,1233	0,2	0,11517	3,66797	0,00018	0,00156	0,00078	3,74133	2,20078	0,01302
59											
59	9,83	0,0496	0,2	0,07305	2,32640	0,00018	0,00246	0,00122	2,37293	1,39584	0,02053
60											
61	26,59	0,0752	0,2	0,08995	2,86453	0,00018	0,00200	0,00099	2,92182	1,71872	0,01668
62											
62	52,29	0,0776	0,2	0,09137	2,90988	0,00018	0,00197	0,00098	2,96807	1,74593	0,01642
63											
63	34,03	0,0347	0,2	0,06110	1,94585	0,00018	0,00295	0,00146	1,98476	1,16751	0,02455
64											
64	15,58	0,0824	0,2	0,09415	2,99852	0,00018	0,00191	0,00095	3,05849	1,79911	0,01593
60											
60	32,15	0,1039	0,2	0,10573	3,36707	0,00018	0,00170	0,00084	3,43441	2,02024	0,01419
65											
65	24,6	0,0947	0,2	0,10094	3,21454	0,00018	0,00178	0,00089	3,27883	1,92872	0,01486
66											
66	36,12	0,0969	0,2	0,10210	3,25166	0,00018	0,00176	0,00087	3,31670	1,95100	0,01469
67											
67	46,4	0,1188	0,2	0,11305	3,60041	0,00018	0,00159	0,00079	3,67242	2,16025	0,01327
68											
68	29,2	0,0808	0,2	0,09324	2,96927	0,00018	0,00193	0,00096	3,02865	1,78156	0,01609
69											

Tableau (III.26) : suite tableau vérification des conditions d'auto-curage du réseau du village Tagroudja

N° conduite	L (m)	I (m/m)	Ø (m)	$Q_{ps}(\text{m}^3 / \text{s})$	$V_{ps}(\text{m}^3 / \text{s})$	$Q_{min}(\text{m}^3 / \text{s})$	R_q	R_h	$V \geq 0,7$	$V \geq 0,3$	H
69	30,4	0,0668	0,2	0,08477	2,69980	0,00018	0,00212	0,00105	2,75380	1,61988	0,01769
70											
70	14,41	0,0416	0,2	0,06690	2,13054	0,00018	0,00269	0,00134	2,17315	1,27833	0,02242
71											
71	17,96	0,2389	0,2	0,16032	5,10566	0,00018	0,00112	0,00056	5,20777	3,06340	0,00936
72											
72	11,57	0,255	0,2	0,16563	5,27490	0,00018	0,00109	0,00054	5,38039	3,16494	0,00906
73											
73	11,23	0,1051	0,2	0,10633	3,38645	0,00018	0,00169	0,00084	3,45418	2,03187	0,01411
74											
74	6,08	0,0806	0,2	0,09312	2,96559	0,00018	0,00193	0,00096	3,02490	1,77935	0,01611
75											
75	7,79	0,0924	0,2	0,09970	3,17526	0,00018	0,00181	0,00090	3,23877	1,90516	0,01504
76											
76	7,31	0,0889	0,2	0,09780	3,11455	0,00018	0,00184	0,00091	3,17684	1,86873	0,01534
77											
77	12,06	0,0713	0,2	0,08758	2,78926	0,00018	0,00206	0,00102	2,84504	1,67355	0,01713
78											
78	7	0,0285	0,2	0,05537	1,76346	0,00018	0,00325	0,00161	1,79873	1,05808	0,02709
79											
79	9,54	0,1038	0,2	0,10567	3,36544	0,00018	0,00170	0,00085	3,43275	2,01927	0,01419
80											
80	19,54	0,085	0,2	0,09563	3,04546	0,00018	0,00188	0,00093	3,10637	1,82728	0,01569
81											
81	10,6	0,1142	0,2	0,11084	3,53002	0,00018	0,00162	0,00081	3,60062	2,11801	0,01353
82											
82	3,17	0,0946	0,2	0,10088	3,21284	0,00018	0,00178	0,00089	3,27710	1,92771	0,01487
83											

Tableau (III.27) : suite tableau vérification des conditions d'auto-curage du réseau du village Tagroudja

N° conduite	L (m)	I (m/m)	Ø (m)	$Q_{ps}(\text{m}^3/\text{s})$	$V_{ps}(\text{m}^3/\text{s})$	$Q_{min}(\text{m}^3/\text{s})$	R_q	R_h	$V \geq 0,7$	$V \geq 0,3$	H
83											
84	9,42	0,1614	0,2	0,13177	4,19658	0,00018	0,00137	0,00068	4,28051	2,51795	0,01138
84											
85	19,39	0,0299	0,2	0,05672	1,80626	0,00018	0,00317	0,00158	1,84238	1,08375	0,02645
85											
86	11,84	0,152	0,2	0,12788	4,07254	0,00018	0,00141	0,00070	4,15399	2,44353	0,01173
86											
87	11,51	0,1494	0,2	0,12678	4,03756	0,00018	0,00142	0,00070	4,11831	2,42254	0,01183
87											
88	13,26	0,2036	0,2	0,14800	4,71338	0,00018	0,00122	0,00060	4,80765	2,82803	0,01014
88											
89	6,3	0,0032	0,2	0,01855	0,59091	0,00018	0,00970	0,00482	0,60272	0,35454	0,08084
89											
90	11,88	0,0513	0,2	0,07429	2,36593	0,00018	0,00242	0,00120	2,41325	1,41956	0,02019
90											
91	6,95	0,0101	0,2	0,03296	1,04979	0,00018	0,00546	0,00271	1,07079	0,62988	0,04550
91											
92	6,55	0,3649	0,2	0,19813	6,31002	0,00018	0,00091	0,00045	6,43622	3,78601	0,00757
92											
93	11,33	0,3513	0,2	0,19441	6,19131	0,00018	0,00093	0,00046	6,31514	3,71479	0,00772
93											
94	11,45	0,0393	0,2	0,06502	2,07081	0,00018	0,00277	0,00137	2,11223	1,24249	0,02307
94											
95	9,05	0,1989	0,2	0,14628	4,65866	0,00018	0,00123	0,00061	4,75184	2,79520	0,01025
95											
96	5,66	0,3106	0,2	0,18280	5,82163	0,00018	0,00098	0,00049	5,93806	3,49298	0,00821
96											

La 3eme coédition n'est pas vérifiée, la solution est :

- De placer des réservoirs de chasse qui impliquera un cout élevé.

III .10.2.Calcul du nombre de réservoirs de chasse

$$N_{moy} = \frac{\text{longueur total}}{D_{max}}$$

La distance maximale recommandée est de 100m.

III .10.3.Calculs de la capacité des réservoirs

Norme \Rightarrow volume d'un réservoir = $\frac{1}{10}$ volume à nettoyer

$$V_r = \frac{1}{10} * \frac{\pi * \emptyset^2}{4} * L$$

III .10.4.Calculs de volume d'eau annuel nécessaire

$$\sum_{j=1}^{11} V_{Rj} = V_r * N_{moy}$$

On doit d'abord fixer la fréquence de fonctionnement des réservoirs,

Si on choisit un fonctionnement toutes les 48 heures, on aura :

$$V_{Rannuel} = \sum_{j=1}^{11} V_{Rj} * \frac{365}{2}$$

Exemple de calcul

$$N_{moy} = \frac{1638,03}{100} = 16,38 = 17 \text{ réservoirs.}$$

$$V_r = \frac{1}{10} * \frac{3.14 * 0.2^2}{4} * 100 = 0.314 \text{ m}^3 = 350 \text{ l.}$$

$$\sum_{j=1}^{11} V_{Rj} = 350 * 17 = 5950 \text{ l}$$

On choisit les fréquences de fonctionnement de réservoirs tout les 48h

$$V_{Rannuel} = 3950 * \frac{365}{2} = 720875 \text{ l} = 321 \text{ m}^3$$

III .10.CONCLUSION

Dans notre étude, nous avons trouvé que les diamètres vont de 200 à 300mm, et des longueurs comme suite

- Tagroudja : 1638,03m
- Ait Saada : 5832.54 m
- Imaghdacen : 3262.72m
- Thaourirth : 967.03m

L'auto curage est respectée pour les deux premières conditions. Par contre la 3eme n'est pas respecté, on a opté pour l'installation des réservoirs de chasse.



CHAPITRE IV

BASSIN DE DÉCANTATION

IV .1.Définition de bassin décantation

Le bassin de décantation est un ouvrage hydraulique installé dans un réseau d'assainissement, son but est de soustraire les particules en suspension existant dans les eaux usées dont la densité est supérieure à celle de l'eau.

Le bassin décantation permet d'éliminer 65 à 90% des matières en suspensions ainsi que 30 à 35% des matières organiques.

IV .2.Types de bassin décantation

On désigne trois types d'ouvrages :

- Dans une station d'épuration : il peut s'agir d'un bassin de traitement utilisé en traitement primaire (décanteur primaire) ou d'un bassin de traitement utilisé après le bassin d'aération dans les stations à boues activées (décanteur secondaire)
- Sur un réseau séparatif : il peut s'agir d'un bassin de traitement destiné au stockage temporaire des eaux usées, dans le but de les décanter avant leur rejet au milieu récepteur.
- Sur un réseau unitaire : il peut s'agir d'un dispositif visant à séparer les matériaux les plus grossiers transportés dans l'écoulement.

IV .3.Type de décantation

Trois grands types de décantation peuvent avoir lieu à savoir :

- Discrète : les particules décantent indépendamment les unes des autres ;
- En floculation : la décantation est accélérée par l'agrégation des particules entre elles ;
- Entravée : la concentration élevée en particules entraîne une réduction de la décantation.

IV .4.avantage et inconvénients des bassins de décantations

Les bassins de décantation et d'épaississement sont efficaces en tant que première étape de traitement pour réaliser une première séparation solide-liquide. Ils sont relativement robustes et permettent une réduction du volume de boues à traiter dans des étapes ultérieures. Leurs inconvénients sont :

- Le manque de retour d'expérience pour le traitement des boues de vidange, de données empiriques et de résultats sur lesquels sont basées leurs conceptions ;

- Les boues décantées présentent toujours une teneur en eau élevée et nécessitent une déshydratation ultérieure ;
- La fraction liquide reste fortement concentrée en MES et en matières organiques.

IV .5.Mode de calcul hydraulique d'un bassin de décantation

Dans un souci de simplicité technique, il est préférable de choisir un décanteur de forme rectangulaire qui demande peu de maintenance et une main d'œuvre peu qualifiée.

Le principe théorique de calcul conduit à définir les dimensions d'un parallélogramme de longueur L' , de hauteur H et de largeur l .

Considérant une vitesse de chute V_c de la particule, les dimensions de l'ouvrage sont calculées en supposant que la particule prise dans un fluide est animée d'une vitesse horizontale constante V_h .

Et entrant dans le décanteur à une hauteur h atteindra le fond de l'ouvrage à une vitesse telle que :

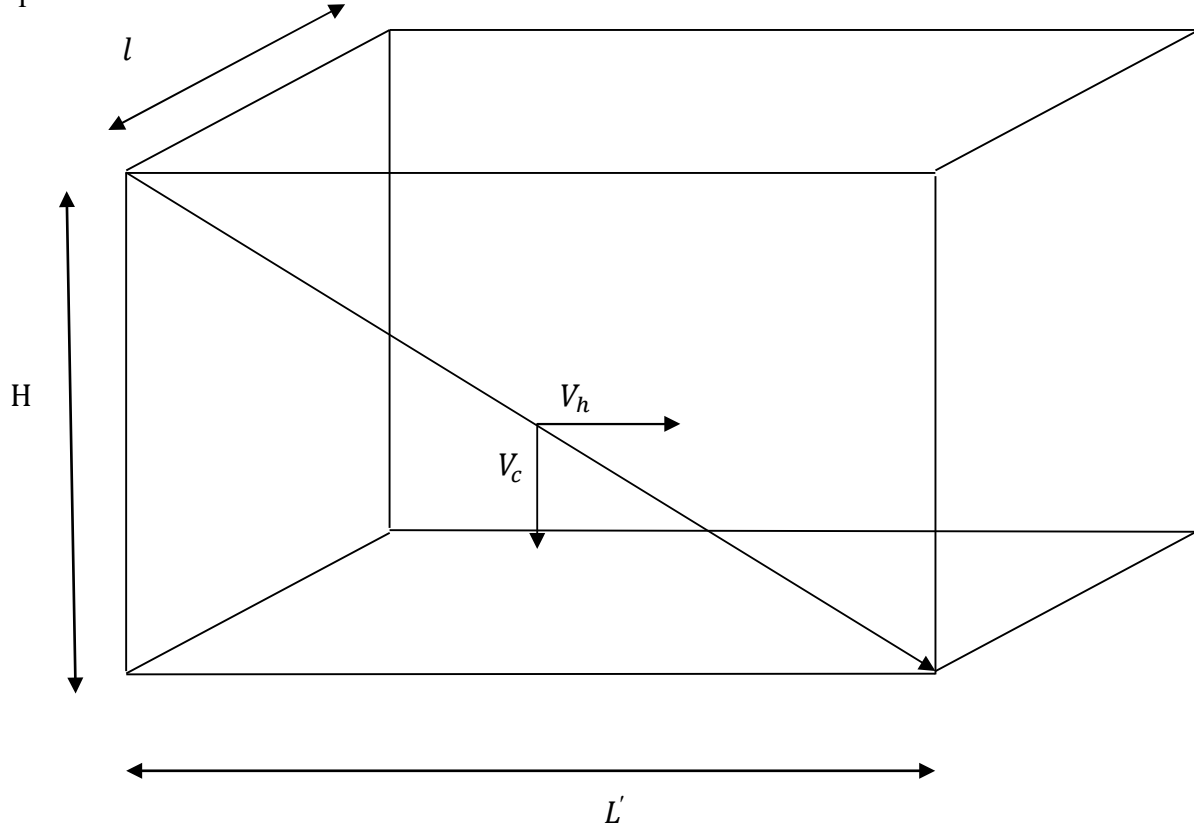


Figure (IV.1) : schéma d'un bassin de décantation

Pour qu'une décantation se fasse, le temps de chute doit être :

Sachant que :

$$\left\{ \begin{array}{l} \text{La vitesse (m/s) = distance(m) / temps (s)} \\ \text{Le débit = la vitesse * la section} \end{array} \right.$$

Sa donne

$$\left\{ \begin{array}{l} \text{Le temps} = \text{distance} / \text{vitesse} \\ \text{La vitesse} = \text{le débit} / \text{la section} \end{array} \right. \dots \dots \dots \quad (2)$$

$$(2) \longrightarrow V_h = Q/S_2$$

Tel que $S_1 = L' * l$

$$S_2 = \mathbf{H} * l$$

$$(1) \rightarrow H/V_c < L'/V_h$$

$$H/V_c < L'/(Q/S_2)$$

$$H/V_c < L' * S_2/Q$$

$$H/V_c < (L' * H * l) / Q$$

$$1/V_c < (L' * l) / Q$$

$$L' < Q/(V_c * l)$$

On pose $L' = 2 * l$

$$2 * l > Q / (V_c * l)$$

$$l^2 > Q/V_c * 2$$

$$l < \sqrt{Q/(2 * V_c)}$$

Les données les plus importants sont :

- Le débit a dessablé.
 - La taille limite des particules à piéger.
 - $1.5m < H < 2$ ($H = 3$ dans des cas exceptionnel).

Vitesse de la chute de quelque particule

Tableau (IV.1) : tableau de vitesse de chute de quelque particule

Type	Diamètre (mm)	Vitesse de chute (cm/s)
Sable grossier	0.5	5.8
Sable moyen	0.2	1.9
Sable fin	0.1	0.7
Silt grossier	0.005	0.19
Silt moyen	0.02	0.03
Silt fin	0.01	0.007
argile	0.005	0.0018

Dimensionnement de 1^{er} bassin décantation situé à l'exutoire du réseau du village de Tagroudja

On prend

$$H=1.8m$$

$$Q = 0.00228 \text{ m}^3/\text{s}$$

$$\phi' = 0.2 \text{ mm.}$$

$$V_c = 1.9 \text{ cm/s}$$

Donc

$$H=1.8m$$

$$V_c = 1.9 * 10^{-2} \text{ m/s}$$

$$L' = 2 * l$$

$$Q = 0.2 \text{ m}^3/\text{s}$$

$$h = 1.5m$$

On aura

$$l < \sqrt{Q/(2 * V_c)} = \sqrt{0.00228 / (2 * 1.9 * 10^{-2})}$$

Application numérique

$$l < 0.24 \text{ m.}$$

On prend $l = 0.2 \text{ m.}$

Donc

$$L' = 2 * l \quad \Longrightarrow \quad L' = 0.4\text{m}.$$

Pour que la décantation de particule de taille 0.2 et de la vitesse de chute égale à 1.9 cm/s, il faut que le bassin soit d'une hauteur de 1.8 m et d'une largeur de 0.2 m et d'une longueur de 0.4m

On a:

$$t_{ch} = h/V_c \quad \Longrightarrow \quad t_{ch} = \frac{1.5}{1.9} * 10^{-2} \quad \Longrightarrow \quad t_{ch} = 78.94\text{s} \quad \Longrightarrow \quad t_{ch} = 1.31\text{min}$$

$$t_{sej} = L'/V_h \dots \quad (3)$$

On sait que :

$$S_1 = L' * l \quad \Longrightarrow \quad S_1 = 0.4 * 0.2 \quad \Longrightarrow \quad S_1 = 0.08\text{m}^2.$$

$$S_2 = H * l \quad \Longrightarrow \quad S_2 = 1.8 * 0.4 \quad \Longrightarrow \quad S_2 = 0.72\text{m}^2.$$

$$V_h = Q/S_2 \quad \Longrightarrow \quad V_h = 0.00228/0.72 \quad \Longrightarrow \quad V_h = 3.16 * 10^{-3}\text{m/s}$$

$$(3) \quad \Longrightarrow \quad t_{sej} = 0.4/(3.16 * 10^{-3}) \quad \Longrightarrow \quad t_{sej} = 126.58\text{s} \quad \Longrightarrow \quad t_{sej} = 2.1\text{min}$$

$$t_{ch} < t_{sej} \quad \Longrightarrow \quad 2.1 > 1.31 \quad \Longrightarrow \quad \text{Condition vérifier}$$

Les dimensions des bassins de décantations sont récapitulé dans le tableau suivant :

Tableau (IV.2) : tableau de dimensionnement des bassins de décantations des villages

Reseau	H(m)	Q(m^3/s)	H(m)	$V_c(cm/s)$	I(m)	L'(m)	$S_1(m^2)$	$S_2(m^2)$	$V_h(m/s)$	$t_{ch}(min)$	$t_{sej}(min)$
ait saada B.V (01)	1,8	1,69344044	1,5	0,019	6,67564394	13,3512879	89,1284441	12,0161591	0,14093026	1,31578947	1,57894737
Ait saada B.V (02)	1,8	0,28584076	1,5	0,019	2,74264931	5,48529863	15,0442505	4,93676877	0,05790037	1,31578947	1,57894737
Ait saada B.V(03)	1,8	4,91649095	1,5	0,019	11,3745919	22,7491838	258,762682	20,4742654	0,24013027	1,31578947	1,57894737
Ait saada BV (04)	1.8		1.5	0.019	8,44335559	16,8867112	142,580507	15,1980401	0,17824862	1,31578947	1,57894737
imaghdacen B(01)	1,8	1,06496	1,5	0,019	5,29388923	10,5877785	56,0505263	9,52900061	0,11175988	1,31578947	1,57894737
imaghdacen BV (02)	1,8	5,54903	1,5	0,019	12,0841675	24,1683351	292,054211	21,7515016	0,2551102	1,31578947	1,57894737
Taourirth	1,8	5,14575	1,5	0,019	11,6367725	23,273545	270,828947	20,9461905	0,2456652	1,31578947	1,57894737

IV.7.conclusion

Dans ce chapitre, on a proposé les bassins de décantations comme moyen de traitement (réduction des charges polluantes des eaux rejetée). Leurs dimensions ont été calculées et récapitulés dans le tableau ((IV.2)

CONCLUSION GÉNÉRALE

Conclusion générale

Par le biais de notre présente étude, nous avons essayé de consolider et de mettre en pratique les connaissances théoriques acquises en hydraulique urbaine notamment l'assainissement.

A travers les cinq (04) chapitres de ce mémoire, on a pu répondre aux questions essentielles, autant du côté hydraulique et techniques d'assainissement. Dans notre étude, on a dimensionné un réseau d'assainissement séparatif d'eau usée.

Ce choix du réseau séparatif est dû à plusieurs contraintes, à savoir :

- La topographie de terrain qui est caractérisée par de très grandes pentes ;
- La répartition spatiale des habitations.

Nous avons défini les données nécessaires concernant les 04 villages (TAGROUDJA, IMAGHDACEN, AIT SAADA et TAOURIRT) concernés par l'étude. Ces données nous ont servi d'outil de base pour l'élaboration de ce projet et d'effectuer un bon dimensionnement.

Pour résoudre le problème de l'assainissement des 05 villages de la région d'Akfadou, nous avons dimensionné un nouveau réseau séparatif d'eaux usées, collectant et évacuant ces quantités vers des bassins de décantation.

Vu la nature accidentée du terrain de la région d'étude, nous avons acheminé les eaux usées collectées vers des bassins de décantation qui représentent les exutoires des réseaux étudiés.

Afin d'assurer l'auto curage du réseau dimensionné, nous étions contraints de placer des réservoirs de chasse dans chaque sous bassin car il ne respecte pas la 3^{ème} condition d'auto curage. Ces réservoirs ont été dimensionnés en fonction de la longueur totale du réseau du sous bassin concerné.

Pour le bon fonctionnement des réseaux conçus pour les villages concernés par l'étude et dans le but d'assurer une continuité du service d'assainissement et une longue vie des équipements, un curage périodique ou préventif des conduites et regards doivent être programmé en employant des moyens humains et matériels.

Enfin, nous souhaitons avoir répondu à l'objectif fixé au départ qui est de trouver la solution au problème de l'absence du réseau d'évacuation des eaux usées ainsi que leur dépollution dans les 04 villages de la commune d'Akfadou. Et nous espérons aussi que ce mémoire servira de support pour une étude future.

Références bibliographiques

- [1] **Pierre-Henri Dodane, Magalie Bassan** : gestion des boues de vidange approche intégrée pour la mise en œuvre et l'exploitation, chapitre VI, bassin de décantation et d'épaissement, Édition française, 2014.
- [2] **ADIL Rabah, ABIB Lounis** : étude d'un reseau d'assainissement séparatif d'eau use des villages tizemourine , taourirt , thapount , zioui, mezouara, ath allaouane et ferhoun , commune akfaodu, w.Bejiaia. memoir fin d'étude, master, université A.mira de bejaia 2016.
- [3] **boudahmane nourdine , abdeboste karim** : conception du réseau d'assainissement d'eau usée de la rive gauche P.O.S2 de la commune d'Amizour , option gestion des réseaux urbains, mémoire fin d'étude, universités A.mira de Bejaia , 2010.
- [4] **REMITA Lynda ,CHAIB Hayat** : Programme de calcul d'une conduite d'assainissement en Visuel Basic Application : VBA(Cas d'un réseau séparatif) . mémoire fin d'étude , Université Mouloud Mammeri de Tizi-Ouzou, 2017.
- [5] **Régis Bourrier, Marc Satin, Béchir Selmi** : Guide technique de l'assainissement 5e édition RÉFÉRENCE TECHNIQUE Collecte - Épuration - Conception - Exploitation. Groupe Moniteur (Éditions du Moniteur), Antony. 2017.
- [6] APC Akfadou

ANNEXE I

Tableau des regards du réseau n°01 village ait Saada

N° Regard			DIST-C (m)	COTE TN(m)	PROF (m)	COTE radier (m)	Pente <i>I</i>
			DIST-P (m)				
R96	R96-R97	44,55	44,55	914,4	1	913,4	0,0301
R97	R97-R98	33,54	78,09	913,06	1	912,06	0,0304
R98	R98-R99	54,81	132,9	912,04	1	911,04	0,0272
R99	R99-R100	47,8	180,7	910,55	1	909,55	0,0343
R100	R100-R101	19,66	200,36	908,91	1	907,91	0,2009
R101	R101-R102	15,79	216,15	904,96	1	903,96	0,1653
R102	R102-R103	15,52	231,67	902,35	1	901,35	0,2190
R103	R103-R104	14,47	246,14	898,64	1	897,64	0,1583
R104	R104-R405	31,94	278,08	896,35	1	895,35	0,1462
R105	R105-R106	13,66	291,74	891,68	1	890,68	0,0132
R106	R106-R107	9,61	301,35	891,5	1	890,5	0,1561

Suite tableau des regards du réseau n°01 village ait Saada

N° Regard			DIST-C (m)	COTE TN(m)	PROF (m)	COTE radier (m)	Pente <i>I</i>
			DIST-P (m)				
R108	R108-R109	19,2	19,2	909,35	1	908,6	0,0043
R109	R109-R110	33,79	52,99	909,42	1	908,52	0,0043
R110	R110-R111	35,41	88,4	909,16	1	908,37	0,0043
R111	R111-R112	31,16	119,56	909,26	1	908,22	0,0043
R112	R1112-R110	40,51	160,07	909,07	1	908,08	0,0043

Tableau des regards du réseau n°02 village ait Saada

N° Regard	N° conduite	DIST-P (m)	DIST-C (m)	COTE TN(m)	PROF (m)	COTE radier (m)	Pente I
R113	R113-R114	28,75	28,75	921,92	1	920,92	0,0807
R114	R114-R115	40,94	69,69	919,6	1	918,6	0,0686
R115	R115-R116	23,92	93,61	916,79	1	915,79	0,0782
R116	R116-R117	12,11	105,72	914,92	1	913,92	0,0685
R117	R117-R118	25,04	130,76	914,09	1	913,09	0,0619
R118	R118-R119	29,18	159,94	912,54	1	911,54	0,035
R119	R119-R120	10,86	170,8	911,52	1	910,52	0,107
R120	R120-R121	12,96	183,76	910,35	1	909,35	0,0702
R121	R121-R122	37,51	221,27	909,44	1	908,44	0,0403
R122	R122-R123	31,28	252,55	907,93	1	906,93	0,0761
R123	R123-R124	66,53	319,08	905,55	1	904,55	0,0216
R124	R124-R125	33,09	352,17	904,11	1	903,11	0,0453
R125	R125-R126	19,24	371,41	902,61	1	901,61	0,0442
R126	R126-R127	26,72	398,13	901,76	1	900,76	0,1112
R127	R127-R128	28,17	426,3	898,79	1	897,79	0,115
R128	R128-R129	23,3	449,6	895,55	1	894,55	0,1004
R129	R129-R130	16,35	465,95	893,21	1	892,21	0,1339
R130	R130-R131	14,53	480,48	891,02	1	890,02	0,1101
R131	R131-R132	38,88	519,36	889,42	1	888,42	0,0746
R132	R132-R133	29,67	549,03	886,52	1	885,52	0,0388
R133	R133-R134	46	595,03	885,37	1	884,37	0,0052
R134	R134-R135	8,85	603,88	885,13	1	884,13	0,0565
R135	R135-R136	9,05	612,93	884,63	1	883,63	0,1138
R136	R136-R137	26,04	638,97	883,6	1	882,6	0,0979
R137	R137-R138	20,59	659,56	881,05	1	880,05	0,12
R138	R138-R139	24	683,56	878,58	1	877,58	0,0929
R139	R139-R140	46,95	730,51	876,35	1	875,35	0,0786
R140	R140-R141	16,63	747,14	872,66	1	871,66	0,0331
R141	R141-R142	9,6	756,74	872,11	1	871,11	0,0198
R142	R142-R143	26,52	783,26	871,92	1	870,92	0,0132
R143	R143-R144	40,89	824,15	872,27	1	871,27	0,0125
R144	R144-R145	31,73	855,88	871,76	1	870,76	0,0312
R145	R145-R146	35,5	891,38	870,77	1	869,77	0,0099
R146	R146-R147	23,04	914,42	870,42	1	869,42	0,0326
R147	R147-R148	13,68	928,1	869,67	1	868,67	0,0709
R148	R148-R149	22,23	950,33	868,7	1	867,7	0,0371
R149	R149-R150	33,43	983,76	867,83	1	866,83	0,0012
R150	R150-R151	31,57	1015,33	867,87	1	866,87	0,0025
R151	R151-R152	21,93	1037,26	867,95	1	866,95	0,0105
R152	R152-R153	52,6	1089,86	868,18	1	867,18	0,022

Suite tableau des regards du sous réseau n°01 du réseau n°02 village ait Saada

N° Regard	N° conduite	DIST-P (m)	DIST-C (m)	COTE TN(m)	PROF (m)	COTE radier (m)	Pente <i>I</i>
R153	R153-R154	36,03	1125,89	867,54	1	866,54	0,048
R154	R154-R155	40,13	1166,02	865,81	1	864,81	0,0785
R155	R155-R156	26,91	1192,93	862,66	1	861,66	0,0591
R156	R156-R157	48,06	1240,99	861,07	1	860,07	0,0081
R157	R157-R158	68,49	1309,48	860,68	1	859,68	0,0479
R158	R158-R159	35,73	1345,21	857,4	1	856,4	0,1061
R159	R159-R160	35,93	1381,14	853,61	1	852,61	0,138
R160	R160-R161	28,13	1409,27	848,65	1	847,65	0,1689
R161	R161-R162	58,22	1467,49	843,9	1	842,9	0,1163
R162	R162-R163	12,7	1480,19	837,13	1	836,13	0,0425
R163	R163-R164	14,73	1494,92	836,59	1	835,59	0,0285
R164	R164-R165	14,65	1509,57	836,17	1	835,17	0,1352
R165	R165-R166	19,52	1529,09	834,19	1	833,19	0,1486
R166	R166-R167	19,93	1549,02	831,29	1	830,29	0,0707
R167	R167-R168	14,28	1563,3	829,88	1	828,88	0,0807
R168	R168-R169	7,45	1570,75	828,55	1	827,55	0,0686
R169	R169-R170	9,13	1579,88	827,31	1	826,31	0,0782
R170	R170-R171	6,49	1586,37	825,59	1	824,59	0,0685
R171	R171-R172	16,09	1602,46	824,27	1	823,27	0,0619
R172	R172-R173	7,01	1609,47	822,53	1	821,53	0,035
R173	R173-R174	14,35	1623,82	821,52	1	820,52	0,107
R174	R174-R175	14	1637,82	819,16	1	818,16	0,0702
R175	R175-R176	11,74	1649,56	817,88	1	816,88	0,0403
R176	R176-R177	28,47	1678,03	816,71	1	815,71	0,0761
R177	R177-R178	14,42	1692,45	815,1	1	814,1	0,0216
R178	R178-R179	48,9	1741,35	813,33	1	812,33	0,0453
R179	R179-R180	36,01	1777,36	807,98	1	806,98	0,0442

Suite tableau des regards du sous réseau n°02 du réseau n°02 village ait Saada

N° Regard	N° conduite	DIST-P (m)	DIST-C (m)	COTE TN(m)	PROF (m)	COTE radier (m)	Pente <i>I</i>
R181	R181-R182	22,56	22,56	927	1	927	0,0191
R182	R182-R183	25,1	47,66	926,57	1	926,57	0,0721
R183	R183-R184	31,88	79,54	924,76	1	924,76	0,1023
R184	R184-R185	21,43	100,97	921,5	1	921,5	0,1232
R185	R185-R186	33,55	134,52	918,86	1	918,86	0,1353
R186	R186-R187	33,41	167,93	914,32	1	914,32	0,1431
R187	R187-R188	17,61	185,54	909,54	1	909,54	0,134
R188	R188-R189	28,16	213,7	907,18	1	907,18	0,146
R189	R189-R190	67,68	281,38	903,07	1	903,07	0,172
R190	R190-R191	41,87	323,25	891,43	1	891,43	0,0977
R191	R191-R192	31,05	354,3	887,34	1	887,34	0,0142
R192	R192-R193	12,83	367,13	886,9	1	886,9	0,0156
R193	R193-R194	13,59	380,72	886,7	1	886,7	0,0177
R194	R194-R195	28,06	408,78	886,46	1	886,46	0,0299
R195	R195-R196	38,91	447,69	885,62	1	885,62	0,0501
R196	R196-R197	25,13	472,82	883,67	1	927	0,0052
R197	R197-R198	19,98	492,8	883,8	1	926,57	0,0095
R198	R198-R199	21,68	514,48	883,61	1	924,76	0,0254
R199	R199-R200	23,32	537,8	883,06	1	921,5	0,0013
R200	R200-R201	37,2	575	883,09	1	918,86	0,0228
R201	R201-R202	18,17	593,17	882,24	1	914,32	0,0407
R202	R202-R203	23,78	616,95	881,5	1	909,54	0,0563
R203	R203-R204	7,27	624,22	880,16	1	907,18	0,2366
R204	R204-R205	16,31	640,53	878,44	1	903,07	0,1386
R205	R205-R206	21,31	661,84	876,18	1	891,43	0,1483
R206	R206-R207	13,89	675,73	873,02	1	887,34	0,054

Suite tableau des regards du sous réseau n°03 du réseau n°02 village ait Saada

N° Regard	N° conduite	DIST-P (m)	DIST-C (m)	COTE TN(m)	PROF (m)	COTE radier (m)	Pente <i>I</i>
R207	R108-R109	30,14	30,14	956,54	1	955,54	0,2329
R208	R109-R110	28,65	58,79	949,52	1	948,52	0,2503
R209	R110-R111	11,01	69,8	942,35	1	941,35	0,2891
R210	R111-R112	59,72	129,52	939,16	1	938,16	0,9257

Suite tableau des regards du sous réseau n°04 du réseau n°02 village ait Saada

N° Regard	N° conduite	DIST-P (m)	DIST-C (m)	COTE TN(m)	PROF (m)	COTE radier (m)	Pente <i>I</i>
R211	R211-R212	14.54	14.54	938.39	1	937,39	0.0371
R212	R212-R213	21.58	36.12	937.85	1	936,85	0.2697
R213	R213-R214	4.23	40.37	932.03	1	931,03	0.0929
R214	R214-R215	5.49	43.86	931.89	1	930,89	0.4269
R215	R215-R216	8.79	52.65	930.40	1	929,4	0.1013
R216	R216-R217	6.50	59.16	929.51	1	928,51	0.1167
R217	R217-R218	30.06	89.22	928.75	1	927,75	0.1307
R218	R218-R219	18.85	108.06	924.82	1	923,82	0.1561
R219	R219-R220	15.28	123.34	921.88	1	920,88	0.2507
R220	R220-R221	13.88	137.22	918.05	1	917,05	0.1563
R221	R221-R222	38.05	175.27	915.88	1	914,88	0.2221
R222	R222-R223	3.15	178.42	907.43	1	906,43	0.5238
R223	R223-R224	16.47	194.89	905.78	1	904,79	0.0073
R224	R224-R225	4.17	199.06	905.66	1	904,66	0.4053
R225	R225-R226	24.84	223.90	903.97	1	902,98	0.1787
R226	R226-R227	36.49	260.40	899.53	1	898,53	0.2953
R227	R227-R228	20.62	281.02	888.75	1	887,75	0.1494
R228	R228-R229	35.88	316.88	885.67	1	884,67	0.2128
R229	R229-R230	7.35	324.23	878.04	1	877,04	0.2490
R230	R230-R231	32.20	356.43	867.21	1	875,21	0.1037
R231	R231-R232	43.35	399 .77	872.87	1	871,87	0.0925
R232	R232-R153	13.94	413.72	868.86	1	867,86	0.0946

Suite tableau des regards du sous réseau n°05 du réseau n°02 village ait Saada

Regard	N° conduite	DIST-P (m)	DIST-C (m)	COTE TN(m)	PROF (m)	COTE radier (m)	Pente <i>I</i>
R233	R233-R234	25.28	25.28	882,41	1	882,41	0.0099
R234	R234-R235	21.64	46.91	882,16	1	882,16	0.0804
R235	R235-R229	13.52	60.43	880,42	1	880,42	0.1760

Suite tableau des regards du sous réseau n°06 du réseau n°02 village ait Saada

Regard	N° conduite	DIST-P (m)	DIST-C (m)	COTE TN(m)	PROF (m)	COTE radier (m)	Pente <i>I</i>
R236	R236-R237	26.82	26.82	847,49	1	846,49	0.1174
R237	R237-R161	11.87	38.69	844,34	1	843,34	0.0371

Suite tableau des regards du sous réseau n°07 du réseau n°02 village ait Saada

Regard	N° conduite	DIST-P (m)	DIST-C (m)	COTE TN(m)	PROF (m)	COTE radier (m)	Pente <i>I</i>
R238	R238-R239	12.28	12.28	826,55	1	825,55	0.0806
R239	R238-R239	22.22	34.49	825,56	1	824,56	0.0851
R240	R240-R172	7.90	42.39	823,67	1	822,67	0.1443

Suite tableau des regards du sous réseau n°08 du réseau n°02 village ait Saada

Regard	N° conduite	DIST-P (m)	DIST-C (m)	COTE TN(m)	PROF (m)	COTE radier (m)	Pente <i>I</i>
R241	R241-R242	8.22	8.22	849,65	1	848,65	0.0064
R242	R242- R243	27.55	35.77	850,03	1	848,6	0.0064
R243	R243- R244	19.90	55.67	849,42	1	848,42	0.0098
R244	R244-R245	15.04	70.70	849,41	1	848,23	0.0098
R245	R245-R246	7.99	78.70	849,93	1	848,08	0.0098
R246	R246-R247	26.02	104.71	849	1	848	0.1931
R247	R247-R248	23.55	128.26	844,65	1	842,98	0.1931
R248	R248-R249	25.98	154.24	839,43	1	838,43	0.1913
R249	R249-R250	18.47	172.71	834,46	1	833,46	0.1592
R250	R250-R250	20.76	193.46	831,52	1	830,52	0.1772
R251	R251-R252	21.81	215.27	828,07	1	826,85	0.1772
R252	R252-R253	11.39	226.66	823,98	1	822,98	0.1726
R253	R253-R254	15.25	241.92	821,75	1	821,02	0.1726
R254	R254-R117	24.82	266.73	819,45	1	818,38	0.1726

Suite tableau des regards du sous réseau n°09 du réseau n°02 village ait Saada

Regard	N° conduite	DIST-P (m)	DIST-C (m)	COTE TN(m)	PROF (m)	COTE radier (m)	Pente <i>I</i>
R255	R255-R256	26.86	26.86	892,63	1	891,63	0.0097
R256	R256-R257	8.88	37.74	892,32	1	891,35	0.0097
R257	R257-R258	21.36	59.10	892,32	1	891,27	0.0097
R258	R258-R259	9.95	69.05	892,06	1	891,06	0.2077
R259	R259-R260	11.13	80.18	890,04	1	889	0.2077
R260	R260-R261	7.81	87.99	887,62	1	886,68	0.2077
R261	R261-R133	9.20	97.19	886,06	1	885,06	0.0750

Tableau des regards du réseau n°03 village ait Saada

N° Regard	N° conduite	DIST-P (m)	DIST-C (m)	COTE TN(m)	PROF (m)	COTE radier (m)	Pente <i>I</i>
R262	R262 -R263	22.94	22.94	892,67	1.5	891,67	0.0097
R263	R263 -R264	3.19	26.13	892,99	2	891,49	0.0500
R264	R264 -R265	10.49	36.63	891,89	1.59	890,83	0.2391
R265	R265 -R266	13.25	49.88	888,83	1.03	887,82	0.1728
R266	R266 -R267	8.12	58	886,03	1.53	885,03	0.1069
R267	R267 -R268	18.55	76.55	884,9	1.02	883,66	0.1069
R268	R268 -R269	11.72	88.27	882,68	1.52	881,68	0.0887
R269	R269 -R270	21.05	109.33	881,14	1.25	880,14	0.1553
R270	R270 -R271	19.19	128.52	877,37	1.01	876,37	0.0610
R271	R271 -R272	31.17	159.69	876,13	1.51	875,2	0.0610
R272	R272 -R273	26.95	186.64	874,3	1.01	873,3	0.0200
R273	R273 -R274	16.87	203.50	873,58	1.51	872,76	0.02
R274	R274 -R275	19.45	229.96	874,18	1.02	872,42	0.02
R275	R275-R276	56.60	279.56	873,85	0.94	872,03	0.01
R276	R276 -R277	11.32	290.88	872,81	1.01	871,47	0.0632
R277	R277 -R278	24.09	314.97	871,92	0.82	870,75	0.0632
R278	R278 -R279	27.34	342.31	870,23	1.75	869,23	0.113
R279	R279 -R279	27.70	370.01	867,14	1.82	866,14	0.1462
R280	R280 -R281	33.97	403.98	863,09	1.34	862,09	0.0157
R281	R281 -R282	32.86	435.85	862,51	1.17	861,56	0.0157
R282	R282 -R283	10.59	447.44	862,04	1.01	861,04	0.0892
R283	R283 -R284	20.03	467.46	860,66	1.01	859,6	0.0892
R284	R284 -R285	23	490.47	858,81	1.01	857,81	0.986
R285	R285 -R286	28.91	515.38	856,54	0.96	855,54	0.0564
R286	R286 -R287	46.30	565.68	855,16	1	853,91	0.0564

Suite tableau des regards du réseau n°03 village ait Saada

N° Regard	N° conduite	DIST-C (m)	COTE TN(m)	PROF (m)	COTE radier (m)	Pente I	
R287	R287 -R288	22.24	587.93	852,25	1.5	851,3	0.0564
R288	R288 -R289	17.43	605.36	851,3	1.08	850,05	0.0564
R289	R289 -R290	21.35	626.71	850,34	1.01	849,06	0.0564
R290	R290 -R291	25.67	652.38	848,86	1.01	847,86	0.0441
R291	R291 -R292	21.55	673.92	848,02	1.25	846,73	0.0441
R292	R292 -R293	14.11	688.03	846,78	0.96	845,78	0.0709
R293	R293 -R294	10.77	298.80	845,28	1.26	844,28	0.1198
R294	R294- R295	10.93	709.73	843,49	1.28	842,49	0.1592
R295	R295 R296	16.03	725.76	841,25	1.01	840,25	0.1479
R296	R296-R297	11.65	737.42	838,38	1.29	837,38	0.3207

Tableau des regards du sous réseau n°01 du réseau n°03 village ait Saada

N° Regard	N° conduite	DIST-C (m)	COTE TN(m)	PROF (m)	COTE radier (m)	Pente I	
R298	R298- R299	16.94	16.94	864,09	1	863,09	0.0207
R299	R299 -R300	32.76	49.7	863,74	1.01	862,74	0.0510
R300	R300 -R301	12.53	62.23	862,07	1	861,07	0.0431
R301	R301 -R302	5.86	68.09	861,53	1	860,53	0.0188
R302	R302 -R303	17.03	85.12	861,42	1	860,42	0.0276
R303	R303-R284	24.81	109.93	860,95	1.01	859,95	0.0863

Suite tableau des regards du sous réseau n°02 du réseau n°03 village ait Saada

N° Regard	N° conduite	DIST-C (m)	COTE TN(m)	PROF (m)	COTE radier (m)	Pente □	
R304	R304-R304	43.30	40.30	913,61	1.01	912,61	0.0672
R305	R305-R306	15.14	58.44	910,7	1.39	909,7	0.02
R306	R306-R307	48.97	107.41	910,79	1.01	909,4	0.0782
R307	R307-R308	15.12	122.53	906,57	1.51	905,57	0.1085
R308	R308-R309	11.11	133.64	904,93	1.62	903,93	0.0521
R309	R309-R310	22.84	156.48	904,47	1.51	902,85	0.0521
R310	R310-R311	13.34	169.82	902,66	1.65	901,66	0.2702
R311	R311-R312	20.27	190.09	899,18	2.03	897,56	0.2702
R312	R3012-R266	50.84	240.92	893,08	1.01	892,08	0.1190

Tableau des regards du réseau n°04 village ait Saada

N° Regard	N° conduite	DIST-C (m)	COTE TN(m)	PROF (m)	COTE radier (m)	Pente □
R313	R313 -R314	30.73	30.73	859.28	1	858.28 0.0163
R314	R314-R315	24.4	55.12	858.98	1	857.98 0.0163
R315	R315 -R316	10.59	65.71	589.04	1	588.04 0.0163
R316	R316 -R317	10.50	76.21	858.21	1	857.21 0.0497
R317	R317 -R318	27.73	103.94	857.88	1	856.88 0.0497
R318	R318 -R319	6.68	110.92	856.31	1	855.31 0.461
R319	R319 -R320	21.59	132.51	852.29	1	851.29 0.01
R320	R320 -R321	28.34	161.34	853.24	1	852.24 0.0779
R321	R321 -R322	6.4	167.74	849.82	1	848.82 0.0779
R322	R322 -R323	6.52	147.26	848.89	1	847.89 0.0779
R323	R323 -R324	7.27	181.53	848.02	1	847.02 0.107
R324	R324 -R325	16.37	197.90	847.77	1	846.77 0.107
R325	R325-R326	26.51	224.41	845.49	1	844.49 0.1203

Tableau des regards du sous réseau n°01 du réseau n°04 village ait Saada

N° Regard	N° conduite	DIST-C (m)	COTE TN(m)	PROF (m)	COTE radier (m)	Pente □
R313	R313 -R328	14.96	14.96	856.31	1	858.28 0.0278
R328	R328-R329	12.43	27.37	856.19	1	857.98 0.0278
R329	R329 -R330	26.95	54.32	855.55	1	588.04 0.0258
R330	R330 -R331	19.31	73.62	855.19	1	857.21 0.0258
R331	R331-R332	17.72	91.35	854.95	1	856.88 0.0258

Tableau des regards du réseau n°01 village Imaghdacen

N° Regard	N° conduite	DIST- P (m)	DIST-C (m)	COTE TN(m)	PROF (m)	COTE radier (m)	Pente □
R414	R414-R415	42,82	42,82	1169,14	1	1168,34	0.0080
R415	R415-R416	16,05	58,87	1170,06	1	1168	0.068
R416	R416-R417	19,64	78,51	1168,44	1	1166,91	0.068
R417	R417-R418	27,08	105,59	1166,57	1	1165,57	0.0589
R418	R418-R419	28,74	134,33	1164,98	1	1163,98	0.0589
R419	R419-R420	28,63	162,96	1163,43	1	1162,29	0.0589
R420	R420-R421	56,6	219,56	1161,6	1	1160,6	0.0422
R421	R421-R422	37,38	256,94	1159,21	1	1158,21	0.0349
R422	R422-R423	44,52	301,46	1158,34	1	1156,91	0.0349
R423	R423-R424	74,83	376,29	1156,35	1	1155,35	0.0833
R424	R424-R425	36,12	412,41	1150,95	1	1149,12	0.0833
R425	R425-R426	25,66	438,07	1147,11	1	1146,11	0.0557
R426	R426-R427	41,25	479,32	1145,68	1	1144,68	0.0924
R427	R427-R428	25,26	504,58	1141,87	1	1140,87	0.1386
R428	R428-R429	40,65	545,23	1138,52	1	1137,52	0.1216
R429	R429-R430	40,85	586,08	1133,43	1	1132,58	0.1216
R430	R430-R431	47,36	633,44	1128,61	1	1127,61	0.0938
R431	R431-R432	40,04	673,48	1123,67	1	1122,67	0.1054
R432	R432-R433	20,29	693,77	1118,95	1	1117,95	0.0558
R433	R433-R434	22,04	715,81	1117,69	1	1116,82	0.0588
R434	R434-R435	29,09	744,9	1116,59	1	1115,59	0.0329
R435	R435-R436	27,8	772,7	1115,54	1	1114,63	0.0329
R436	R436-R437	21,55	794,25	1114,72	1	1113,72	0.0809
R437	R437-R438	11,7	805,95	1115,42	1	1111,98	0.0809
R438	R438-R439	8,83	814,78	1114,81	1	1111,03	0.0809
R439	R439-R440	11,3	826,08	1113,61	1	1110,32	0.0809
R440	R440-R441	12,9	838,98	1112,25	1	1109,4	0.0809
R441	R441-R442	19,95	858,93	1109,36	1	1108,36	0.207
R442	R442-R443	16,19	875,12	1104,73	1	1103,73	0.3082
R443	R443-R444	8,18	883,3	1099,24	1	1098,24	0.1394
R444	R444-R445	16,69	899,99	1098,1	1	1097,1	0.0259
R445	R445-R446	14,03	914,02	1097,76	1	1096,67	0.0259
R446	R446-R447	16,2	930,22	1097,47	1	1096,31	0.0259
R447	R447-R448	48,68	976,89	1097,3	1	1095,89	0.0259
R448	R448-R449	17,16	994,05	1095,68	1	1094,68	0.0375
R449	R449-R450	19,36	1013,41	1094,92	1	1094,04	0.0375
R450	R450-R451	14,06	1027,47	1094,31	1	1093,31	0.0691
R451	R451-R452	15,94	1043,41	1093,47	1	1092,34	0.0691
R452	R452-R453	17,58	1060,99	1092,63	1	1091,24	0.0691
R453	R453-R455	17,1	1078,09	1091,46	1	1090,02	0.0691

Suite tableau des regards du réseau n°01 village Imaghdacen

N° Regard	N° conduite	DIST- P (m)	DIST-C (m)	COTE TN(m)	PROF (m)	COTE radier (m)	Pente □
R454	R454-R455	9,93	1088,02	1089,84	1	1088,84	0,0908
R455	R455-R456	27,26	1115,28	1088,67	1	1087,94	0,0908
R456	R456-R457	24,36	1139,64	1086,94	1	1085,46	0,0908
R457	R457-R458	56,92	1139,64	1084,25	1	1083,25	0,1098
R458	R458-R459	20,62	1196,56	1078,26	1	1077	0,1098
R459	R459-R460	11,05	1217,18	1075,95	1	1074,73	0,1098
R460	R460-R461	24,39	1228,23	1074,9	1	1073,52	0,1098
R461	R461-R462	22,69	1252,62	1071,84	1	1070,84	0,1256
R462	R462-R463	24,52	1275,31	1068,64	1	1067,99	0,1256
R463	R463-R464	63,35	1299,83	1065,91	1	1064,91	0,1124
R464	R464-R465	15,12	1363,18	1058,29	1	1057,29	0,0782
R465	R465-R466	38,06	1378,3	1056,9	1	1056,11	0,0782
R466	R466-R467	25,58	1416,36	1054,13	1	1053,13	0,0688
R467	R467-R468	21,78	1441,94	1052,26	1	1051,37	0,0688
R468	R468-R469	23,69	1463,72	1050,87	1	1049,87	0,0860
R469	R469-R470	24,55	1487,41	1048,87	1	1047,83	0,0860
R470	R470-R471	16,26	1511,96	1046,78	1	1045,72	0,0860
R471	R471-R472	24,11	1528,22	1045,03	1	1044,32	0,0860
R472	R472-R473	23,25	1552,33	1042,84	1	1042,25	0,0860
R473	R473-R474	23,09	1575,58	1041,07	1	1040,25	0,0860
R474	R474-R475	12,66	1598,67	1039,26	1	1038,26	0,1098
R475	R475-R476	21,95	1611,33	1037,99	1	1036,87	0,1098
R476	R476-R477	21,28	1633,28	1035,46	1	1034,46	0,0902
R477	R477-R478	15,25	1654,56	1033,54	1	1032,54	0,0774
R478	R478-R479	4,97	1669,81	1032,36	1	1031,36	0,0392
R479	R479-R480	33,59	1674,78	1032,13	1	1031,17	0,0392
R480	R480-R481	23,28	1708,37	1030,85	1	1029,85	0,0486
R481	R481-R482	25,23	1731,65	1030,13	1	1028,72	0,0486
R482	R482-R483	10,34	1756,88	1028,49	1	1027,49	0,0819
R483	R483-R484	8,94	1767,22	1027,58	1	1026,64	0,0819
R484	R484-R485	15,38	1776,16	1026,91	1	1025,91	0,0194
R485	R485-R486	26,4	1791,54	1026,6	1	1025,61	0,0194
R486	R486-R487	30,74	1817,94	1026,1	1	1025,1	0,0194
R487	R487-R488	14,81	1848,68	1025,5	1	1024,5	0,0493
R488	R488-R489	10,89	1863,49	1024,77	1	1023,77	0,0948
R489	R489-R490	8,94	1874,38	1023,65	1	1022,74	0,0948
R490	R490-R491	7,07	1883,32	1022,89	1	1021,89	0,0065
R491	R491-R492	25,42	1890,39	1022,7	1	1021,84	0,0065

Tableau des regards du sous réseau n°01 du réseau n°01 du village Imaghdacen

N° Regard	N° conduite	DIST-P (m)	DIST-C (m)	COTE TN(m)	PROF (m)	COTE radier (m)	Pente □
R492	R492-R493	9,77	9,77	1076,36	1	1075,36	0.0301
R493	R493-R494	15,78	25,55	1076,31	1	1075,07	0.0301
R494	R494-R495	10,69	36,24	1075,59	1	1074,59	0.0574
R495	R495-R496	13,19	49,43	1075,28	1	1073,98	0.0574
R496	R496-R497	22,56	71,99	1074,22	1	1073,22	0.0385
R497	R497-R498	27,85	99,84	1073,25	1	1072,35	0.0385
R498	R498-R499	6,01	105,85	1072,28	1	1071,28	0.005
R499	R499-R500	16,63	122,48	1072,64	1	1071,25	0.005
R500	R500-R501	11,82	134,3	1073,41	1	1071,17	0.005
R501	R501-R502	13,19	147,49	1072,36	1	1071,11	0.005
R502	R502-R503	10,36	157,85	1072,48	1	1071,04	0.005
R503	R503-R504	11,46	169,31	1072,21	1	1070,99	0.005
R504	R504-R505	13,5	182,81	1072,26	1	1070,93	0.005
R505	R505-R506	3,98	186,79	1073	1	1070,87	0.005
R506	R506-R507	7,62	194,41	1073,31	1	1070,85	0.005
R507	R507-R508	14,94	209,35	1073	1	1070,81	0.005
R508	R508-R461	10,71	220,06	1072,24	1	1070,73	0.005

Tableau des regards du sous réseau n°02 du réseau n°01 du village Imaghdacen

N° Regard	N° conduite	DIST-P (m)	DIST-C (m)	COTE TN(m)	PROF (m)	COTE radier (m)	Pente □
R509	R509-R510	23,65	23,65	1151,43	1	1150,43	0.0732
R510	R510-R511	29,98	53,63	1149,7	1	1148,7	0.0914
R511	R511-R512	20,75	74,38	1146,96	1	1145,96	0.0983
R512	R512-R513	8,63	83,01	1144,92	1	1143,92	0.0950
R513	R513-R514	9,32	92,33	1144,1	1	1143,1	0.0923
R514	R514-R515	24,2	116,53	1143,24	1	1142,24	0.1099
R515	R515-R516	15,9	132,43	1140,58	1	1139,58	0.1522
R516	R516-R517	12,19	144,62	1138,16	1	1137,16	0.1641
R517	R517-R518	14,16	158,78	1136,16	1	1135,16	0.0664
R518	R518-R519	13,9	172,68	1135,22	1	1134,22	0.0827
R519	R519-R520	45,44	218,12	1134,07	1	1133,07	0.1004
R520	R520-R521	28,67	246,79	1129,51	1	1128,51	0.0223
R521	R521-R430	9,72	256,51	1128,87	1	1127,87	0.0267

Tableau des regards du réseau n°02 village Imaghdacen

N° Regard	N° conduite	DIST-P (m)	DIST-C (m)	COTE TN(m)	PROF (m)	COTE radier (m)	Pente I
R376	R376-R377	23,82	1006,86	1006,86	1	1005,86	0.1075
R377	R377-R378	24,18	1004,3	1004,3	1	1003,3	0.0897
R378	R378-R379	27,12	1002,13	1002,13	1	1001,13	0.0785
R379	R379-R380	25,85	1000	1000	1	999	0.1033
R380	R380-R381	29,54	997,33	997,33	1	996,33	0.1466
R381	R381-R382	23,62	993	993	1	992	0.1363
R382	R382-R383	32,94	989,78	989,78	1	988,78	0.1129
R383	R383-R384	16,79	986,06	986,06	1	985,06	0.1227
R384	R384-R385	6,73	984	984	1	983	0.1397
R385	R385-R386	12,6	983,06	983,06	1	982,06	0.1119
R386	R386-R387	60,38	981,65	981,65	1	980,65	0.1020
R387	R387-R388	13,49	975,49	975,49	1	974,49	0.1127
R388	R388-R389	29,97	973,97	973,97	1	972,97	0.1248
R389	R389-R390	31,38	970,23	970,23	1	969,23	0.0743
R390	R390-R391	16,38	967,9	967,9	1	966,9	0.0897
R391	R391-R392	8,99	966,43	966,43	1	965,43	0.1146
R392	R392-R393	39,37	965,4	965,4	1	964,4	0.1113
R393	R393-R394	13,05	961,02	961,02	1	960,02	0.1356
R394	R394-R395	12,09	959,25	959,25	1	958,25	0.1356
R395	R395-R396	40,3	957,81	957,81	1	956,81	0.1191
R396	R396-R397	39,35	953,31	953,31	1	952,31	0.1117
R397	R397-R398	19,81	950,19	950,19	1	949,19	0.0793
R398	R398-R399	13,2	948,21	948,21	1	947,21	0.0999
R399	R399-R400	25,93	947,12	947,12	1	946,12	0.0826
R400	R400-R401	19,55	944,99	944,99	1	943,99	0.0821
R401	R401-R402	18,3	943,04	943,04	1	942,04	0.0997
R402	R402-R403	19,12	941,2	941,2	1	940,2	0.1005
R403	R403-R404	10,98	939,95	939,95	1	938,95	0.0654
R404	R404-R405	21,57	939,24	939,24	1	938,24	0.0647
R405	R405-R406	25,75	936,84	936,84	1	935,84	0.1113
R406	R406-R407	25,88	934,03	934,03	1	933,03	0.1091
R407	R407-R408	4,67	931,6	931,6	1	930,6	0.0939

Tableau des regards du sous réseau n°01 du réseau n°02 village Imaghdacen

N° Regard	N° conduite	DIST-P (m)	DIST-C (m)	COTE TN(m)	PROF (m)	COTE radier (m)	Pente □
R409	R409-R4.9	13,52	13,52	976,33	1	975,33	0.0104
R410	R410-R410	23,63	37,15	976,19	1	975,19	0.0389
R411	R411-R411	9,87	47,02	975,27	1	974,27	0.0122
R412	R412-R412	46,79	93,81	975,15	1	974,15	0.009
R413	R413-R388	43,83	137,64	974,73	1	973,73	0.0173

Tableau des regards du réseau de village TAOURIRTH

N° Regard	N° conduite	DIST-P (m)	DIST-C (m)	COTE TN(m)	PROF (m)	COTE radier (m)	Pente I
R329	R329-R330	6.29	6.29	900,14	1.12	899,14	0.0167
R330	R330-R331	9.75	16.04	900,16	1.44	899,04	0.0167
R331	R331-R332	30.77	46.81	900,31	1.74	898,87	0.0167
R332	R332-R333	25.71	72.53	900,1	1.50	898,36	0.0167
R333	R333-R334	9.73	82.26	898,93	1.52	897,93	0.1552
R334	R334-R335	13.2	95.46	896,92	1.52	895,92	0.1121
R335	R335-R336	10.64	106.10	894,94	1.52	893,94	0.1804
R336	R336--R337	28.79	134.89	892,52	1.52	891,52	0.1714
R337	R337-R338	4.54	139.43	887,59	1.26	886,09	0.1714
R338	R338-R339	27.53	166.76	886,55	1.02	885,31	0.1714
R339	R339-R340	58.47	225.43	881,59	1.01	880,59	0.1077
R340	R340-R341	23.49	248.92	875,29	.01	874,29	0.1132
R341	R341-R342	41.63	290.55	872,63	1	871,63	0.0356
R342	R342-R343	36.15	326.71	871,15	0.88	870,15	0.1001
R343	R343-R344	32.35	359.05	867,4	1.01	866,53	0.1001
R344	R344-R345	11.81	370.86	864,29	0.86	863,29	0.1685
R345	R345-R346	14.01	384.88	862,14	1.23	861,3	0.1685
R346	R346-R347	14.01	398.88	860,15	1.02	858,94	0.1685
R347	R347-R348	44.12	443	857,58	1.12	856,58	0.2191
R348	R348-R349	23.70	466.69	848,01	0.67	846,91	0.2191
R349	R349-R350	23.38	490.07	842,37	1.52	841,72	0.2191
R350	R350-R351	43.95	534.03	837,6	1.52	836,6	0.1722
R351	R351-R352	22.86	556.89	829,53	1.35	828,53	0.1365
R352	R352-R353	5.49	562.38	826,24	1.02	824,91	0.1365
R353	R353-R354	55.34	617.72	825,16	1.01	824,16	0.0716

Tableau des regards du sous réseau n°01 du réseau de village TAOURIRTH

N° Regard	N° conduite	DIST-C (m)	COTE TN(m)	PROF (m)	COTE radier (m)	Pente I
R355	R355-R356	24.91	24.91	877,23	1.12	876,23
R356	R356-R357	15.7	40.62	877,1	1.18	875,98
R357	R357-R358	15.05	55.67	877	1.23	875,82
R358	R358-R359	8.77	64.44	876,9	1.32	875,67
R359	R359-R360	17.77	82.21	876,91	1.01	875,59
R360	R360-R361	6.99	89.20	875,79	0.92	874,79
R361	R361-R362	32.56	121.76	875,59	1.17	874,67
R362	R362-R363	58.64	180.40	875,3	1.34	874,14
R363	R363-R364	24.86	205.25	874,5	1.67	873,16
R364	R364-R342	16.52	221.77	872,8	1.37	871,14
						0.0815

Tableau des regards du sous réseau n°02 du réseau de village TAOURIRTH

N° Regard	N° conduite	DIST-C (m)	COTE TN(m)	PROF (m)	COTE radier (m)	Pente I
R365	R365-R366	15.06	15.06	887,13	1	886,13
R366	R366-R367	13.67	28.73	884,96	1	884,06
R367	R367-R368	5.78	34.51	883,19	1	882,19
R368	R368-R369	7.53	42.04	882,51	1	881,77
R369	R369-R339	8.62	50.66	882,15	1	881,22
						0.0729

Tableau des regards du sous réseau n°03 du réseau de village TAOURIRTH

N° Regard	N° conduite	DIST-C (m)	COTE TN(m)	PROF (m)	COTE radier (m)	Pente I
R370	R370-R371	11,85	11,85	898,82	1	897,82
R371	R371-R372	15,28	27,13	896,75	1	895,75
R372	R372-R373	5,13	32,26	895,65	1	894,95
R373	R373-339	14,04	46,3	896,2	1	894,68
						0.0729

ANNEXE (II)

Tableau estimation de réseau n°01 de village ait Saada Tableau

Nœud	L_i	Q_{mfu}	Q_{mfr}	Q_{mei}	Q_{msi}	C_{pe}	C_{ps}	Q_{pe}	Q_{ps}	Q_P
1	44,55			0	0,027033831	4	4	0,108135324	0,108135324	0,108135324
2		0,00060682	0,027033831							
2	33,54			0,027033831	0,047386574	4	4	0,189546295	0,189546295	0,189546295
3		0,00060682	0,020352743							
3	54,81			0,047386574	0,080646378	4	4	0,322585512	0,322585512	0,322585512
4		0,00060682	0,033259804							
4	47,8			0,109652374	0,13865837	4	4	0,55463348	0,55463348	0,55463348
5		0,00060682	0,029005996							
5	19,2			0	0,011650944	4	4	0,046603776	0,046603776	0,046603776
6		0,00060682	0,011650944							
6	33,79			0,011650944	0,032155392	4	4	0,128621567	0,128621567	0,128621567
7		0,00060682	0,020504448							
7	35,41			0,032155392	0,053642888	4	4	0,214571552	0,214571552	0,214571552
8		0,00060682	0,021487496							
8	31,16			0,053642888	0,072551399	4	4	0,290205597	0,290205597	0,290205597
9		0,00060682	0,018908511							
9	40,51			0,072551399	0,097133677	4	4	0,38853471	0,38853471	0,38853471
10		0,00060682	0,024582278							
10	19,66			0,108784621	0,120714703	4	4	0,48285881	0,48285881	0,48285881
11		0,00060682	0,011930081							
11	15,79			0,152870094	0,162451782	4	4	0,649807129	0,649807129	0,649807129
12		0,00060682	0,009581688							
12	15,52			0,21609467	0,225512517	4	4	0,902050066	0,902050066	0,902050066
13		0,00060682	0,009417846							
13	14,47			0,298063916	0,306844601	4	4	1,227378405	1,227378405	1,227378405
14		0,00060682	0,008780685							

Suite du tableau estimation de réseau n°01 de village ait Saada

N° conduite	L (m)	I (m/m)	Ø (m)	Q_{ps}	V_{ps}	Q_{min}	R_q	R_h	1er condit	2eme condit	3eme condit
14	31,94			0,403978279	0,423360109	4	4	1,693440438	1,693440438	1,693440438	31,94
15		0,00060682	0,019381831								
15	13,66			0,544074812	0,552363973	4	4	2,209455893	2,209455893	2,209455893	13,66
16		0,00060682	0,008289161								
16	9,61			0,714815755	0,720647296	4	4	2,882589182	2,882589182	2,882589182	9,61
17		0,00060682	0,00583154								

Tableau estimation de réseau n°02 de village ait Saada

Nœud	L_i	Q_{mfu}	Q_{mfr}	Q_{mei}	Q_{msi}	C_{pe}	C_{ps}	Q_{pe}	Q_{ps}	Q_P
1	28,75			0	0,00567858		4	0	0,0227143	0,01135715
2		0,00019752	0,00567858							
2	40,94			0,00567858	0,01376487	4	4	0,0227143	0,05505947	0,03888689
3		0,00019752	0,00808629							
3	23,92			0,01376487	0,01848944	4	4	0,05505947	0,07395778	0,06450862
4		0,00019752	0,00472458							
4	12,11			0,01848944	0,02088136	4	4	0,07395778	0,08352544	0,07874161
5		0,00019752	0,00239192							
5	25,05			0,02088136	0,02582913	4	4	0,08352544	0,10331651	0,09342097
6		0,00019752	0,00494777							
6	29,18			0,02582913	0,03159263	4	4	0,10331651	0,12637054	0,11484352
7		0,00019752	0,00576351							
7	10,85			0,03159263	0,03373568	4	4	0,12637054	0,13494272	0,13065663
8		0,00019752	0,00214305							
8	12,96			0,03373568	0,03629548	4	4	0,13494272	0,14518193	0,14006233
9		0,00019752	0,0025598							
9	37,51			0,03629548	0,0437043	4	4	0,14518193	0,17481719	0,15999956
10		0,00019752	0,00740881							
10	31,28			0,0437043	0,04988259	4	4	0,17481719	0,19953035	0,18717377
11		0,00019752	0,00617829							
11	66,53			0,04988259	0,06302331	4	4	0,19953035	0,25209323	0,22581179
12		0,00019752	0,01314072							
12	33,09			0,06302331	0,0695591	4	4	0,25209323	0,2782364	0,26516482
13		0,00019752	0,00653579							
13	19,25			0,0695591	0,07336128	4	4	0,2782364	0,29344511	0,28584076
14		0,00019752	0,00380218							

Suite de tableau estimation de réseau n°02 e village ait Saada

Nœud	L_i	Q_{mfu}	Q_{mfr}	Q_{mei}	Q_{msi}	C_{pe}	C_{ps}	Q_{pe}	Q_{ps}	Q_P
14	26,72			0,07336128	0,0786389	4	4	0,29344511	0,31455559	0,30400035
15		0,00019752	0,00527762							
15	28,16			0,0786389	0,08420094	4	4	0,31455559	0,33680376	0,32567967
16		0,00019752	0,00556204							
16	23,31			0,08420094	0,08880503	4	4	0,33680376	0,35522012	0,34601194
17		0,00019752	0,00460409							
17	16,35			0,08880503	0,09203441	4	4	0,35522012	0,36813765	0,36167888
18		0,00019752	0,00322938							
18	14,53			0,09203441	0,09490431	4	4	0,36813765	0,37961726	0,37387745
19		0,00019752	0,0028699							
19	38,88			0,09490431	0,10258372	4	4	0,37961726	0,4103349	0,39497608
20		0,00019752	0,00767941							
20	29,67			0,10258372	0,10844402	4	4	0,4103349	0,43377606	0,42205548
21		0,00019752	0,00586029							
21	28,86			0	0,0057003	0	4	0	0,02280121	0,01140061
22		0,00019752	0,0057003							
23	8,88			0,0057003	0,00745424	4	4	0,02280121	0,02981697	0,02630909
24		0,00019752	0,00175394							
24	21,36			0,00745424	0,01167318	4	4	0,02981697	0,04669271	0,03825484
25		0,00019752	0,00421894							
25	9,95			0,01167318	0,01363846	4	4	0,04669271	0,05455383	0,05062327
26		0,00019752	0,00196528							
26	11,13			0,01363846	0,01583681	4	4	0,05455383	0,06334723	0,05895053
27		0,00019752	0,00219835							
27	7,81			0,01583681	0,01737941	4	4	0,06334723	0,06951762	0,06643243
28		0,00019752	0,0015426							

Suite de tableau estimation de réseau n°02 de village ait Saada

Nœud	L_i	Q_{mfu}	Q_{mfr}	Q_{mei}	Q_{msi}	C_{pe}	C_{ps}	Q_{pe}	Q_{ps}	Q_P
28	9,2			0,01737941	0,01919655	4	4	0,06951762	0,0767862	0,07315191
29		0,00019752	0,00181714							
29	46			0,12764057	0,13672629	4	4	0,51056226	0,54690515	0,5287337
22		0,00019752	0,00908572							
22	8,86			0,13672629	0,13847628	4	4	0,54690515	0,5539051	0,55040513
30		0,00019752	0,00174999							
30	9,05			0,13847628	0,14026379	4	4	0,5539051	0,56105517	0,55748014
31		0,00019752	0,00178752							
31	26,04			0,14026379	0,1454071	4	4	0,56105517	0,58162841	0,57134179
32		0,00019752	0,00514331							
32	20,58			0,1454071	0,14947197	4	4	0,58162841	0,5978879	0,58975815
33		0,00019752	0,00406487							
33	24,01			0,14947197	0,15421433	4	4	0,5978879	0,61685731	0,6073726
34		0,00019752	0,00474235							
34	46,95			0,15421433	0,16348769	4	4	0,61685731	0,65395075	0,63540403
35		0,00019752	0,00927336							
35	16,63			0,16348769	0,16677237	4	4	0,65395075	0,6670895	0,66052012
36		0,00019752	0,00328469							
36	9,6			0,16677237	0,16866852	4	4	0,6670895	0,6746741	0,6708818
37		0,00019752	0,00189615							
37	26,51			0,16866852	0,17390467	4	4	0,6746741	0,69561866	0,68514638
38		0,00019752	0,00523614							
38	22,56			0	0,00445595	4	4	0	0,01782382	0,00891191
39		0,00019752	0,00445595							
39	25,11			0,00445595	0,00941557	4	4	0,01782382	0,03766229	0,02774305
40		0,00019752	0,00495962							

Suite de tableau estimation de réseau n°02 de village ait Saada

Nœud	L_i	Q_{mfu}	Q_{mfr}	Q_{mei}	Q_{msi}	C_{pe}	C_{ps}	Q_{pe}	Q_{ps}	Q_P
41	31,88			0,00941557	0,01571237	4	4	0,03766229	0,06284949	0,05025589
42		0,00019752	0,0062968							
42	30,14			0	0,00595312	4	4	0	0,02381249	0,01190625
43		0,00019752	0,00595312							
43	28,64			0,00595312	0,00615064	4	4	0,02381249	0,02460255	0,02420752
44		0,00019752	0,00565685							
45	11,01			0,00615064	0,00634815	4	4	0,02460255	0,02539262	0,02499759
46		0,00019752	0,00217465							
46	59,51			0,01576373	0,02751789	4	4	0,06305491	0,11007154	0,08656323
47		0,00019752	0,01175416							
47	21,43			0,02751789	0,03175065	4	4	0,11007154	0,12700259	0,11853707
48		0,00019752	0,00423276							
48	33,55			0,03175065	0,0383773	4	4	0,12700259	0,1535092	0,14025589
44		0,00019752	0,00662665							
44	33,41			0,0383773	0,0449763	4	4	0,1535092	0,17990519	0,16670719
49		0,00019752	0,006599							
49	17,61			0,0449763	0,04845455	4	4	0,17990519	0,1938182	0,1868617
50		0,00019752	0,00347825							
50	28,16			0,04845455	0,05401659	4	4	0,1938182	0,21606637	0,20494228
51		0,00019752	0,00556204							
51	67,68			0,05401659	0,06738445	4	4	0,21606637	0,26953781	0,24280209
52		0,00019752	0,01336786							
52	41,87			0,06738445	0,07565444	4	4	0,26953781	0,30261774	0,28607778
53		0,00019752	0,00826998							
53	31,05			0,07565444	0,0817873	4	4	0,30261774	0,32714919	0,31488347
54		0,00019752	0,00613286							

Suite de tableau estimation de réseau n°02 de village ait Saada

Nœud	L_i	Q_{mfu}	Q_{mfr}	Q_{mei}	Q_{msi}	C_{pe}	C_{ps}	Q_{pe}	Q_{ps}	Q_P
54	12,93			0,0817873	0,08434118	4	4	0,32714919	0,3373647	0,05518429
55		0,00019752	0,00255388							
55	13,59			0,08434118	0,08702541	4	4	0,3373647	0,34810165	0,05871861
56		0,00019752	0,00268424							
56	28,06			0,08702541	0,0925677	4	4	0,34810165	0,37027082	0,06444594
57		0,00019752	0,00554229							
57	38,91			0,0925677	0,10025304	4	4	0,37027082	0,40101216	0,07424155
58		0,00019752	0,00768534							
58	25,12			0,10025304	0,10521463	4	4	0,40101216	0,42085853	0,08438469
59		0,00019752	0,00496159							
59	19,98			0,10521463	0,109161	4	4	0,42085853	0,43664399	0,09188267
60		0,00019752	0,00394636							
60	21,68			0,109161	0,11344314	4	4	0,43664399	0,45377255	0,09906853
61		0,00019752	0,00428214							
61	23,32			0,11344314	0,1180492	4	4	0,45377255	0,47219681	0,10713498
62		0,00019752	0,00460607							
62	37,2			0,1180492	0,12539679	4	4	0,47219681	0,50158715	0,11842393
63		0,00019752	0,00734758							
63	18,18			0,12539679	0,12898762	4	4	0,50158715	0,51595049	0,12939707
64		0,00019752	0,00359084							
64	23,78			0,12898762	0,13368455	4	4	0,51595049	0,53473818	0,13794921
65		0,00019752	0,00469692							
65	7,27			0,13368455	0,13512048	4	4	0,53473818	0,54048194	0,14450816
66		0,00019752	0,00143594							
67		0,00019752	0,00322148	0,13512048	0,13834197	4	4	0,54048194	0,55336786	0,14954267
68										

Suite de tableau estimation de réseau n°02 de village ait Saada

Nœud	L_i	Q_{mfu}	Q_{mfr}	Q_{mei}	Q_{msi}	C_{pe}	C_{ps}	Q_{pe}	Q_{ps}	Q_P
68	21,31			0,13834197	0,14255102	4	4	0,55336786	0,5702041	0,56178598
69		0,00019752	0,00420906							
69	13,88			0,14255102	0,14529254	4	4	0,5702041	0,58117017	0,57568714
70		0,00019752	0,00274152							
70	40,89			0,1516407	0,15971711	4	4	0,60656279	0,63886845	0,62271562
71		0,00019752	0,00807642							
71	31,73			0,15971711	0,16598429	4	4	0,63886845	0,66393715	0,6514028
40		0,00019752	0,00626717							
40	35,5			0,16598429	0,17299609	4	4	0,66393715	0,69198437	0,67796076
72		0,00019752	0,00701181							
72	23,03			0,17299609	0,17754488	4	4	0,69198437	0,71017952	0,70108195
73		0,00019752	0,00454879							
73	13,69			0,17754488	0,18024887	4	4	0,71017952	0,72099548	0,7155875
74		0,00019752	0,00270399							
74	22,23			0,18024887	0,18463964	4	4	0,72099548	0,73855857	0,72977703
75		0,00019752	0,00439077							
75	33,43			0,18463964	0,19124259	4	4	0,73855857	0,76497037	0,75176447
76		0,00019752	0,00660295							
76	31,57			0,19124259	0,19747816	4	4	0,76497037	0,78991265	0,77744151
77		0,00019752	0,00623557							
77	21,82			0,19747816	0,20178796	4	4	0,78991265	0,80715182	0,79853224
78		0,00019752	0,00430979							
78	52,6			0,20178796	0,21217728	4	4	0,80715182	0,84870913	0,82793047
79		0,00019752	0,01038933							
79	21,31			0,13834197	0,14255102	4	4	0,55336786	0,5702041	0,56178598
80		0,00019752	0,00420906							

Suite de tableau estimation de réseau n°02 de village ait Saada

Nœud	L_i	Q_{mfu}	Q_{mfr}	Q_{mei}	Q_{msi}	C_{pe}	C_{ps}	Q_{pe}	Q_{ps}	Q_P
80	14,54			0	0,00287188	#DIV/0!	4	0	0,01148751	0,00574376
81		0,00019752	0,00287188							
82	21,58			0,00713427	0,01139666	4	4	0,02853707	0,04558662	0,03706184
83		0,00019752	0,00426239							
83	4,23			0,01223215	0,01306764	4	4	0,04892859	0,05227055	0,05059957
84		0,00019752	0,00083549							
84	5,49			0,014152	0,01523636	4	4	0,056608	0,06094544	0,05877672
85		0,00019752	0,00108436							
85	98,79			0,03474894	0,05426151	4	4	0,13899574	0,21704604	0,17802089
86		0,00019752	0,01951258							
86	6,5			0,05554536	0,05682921	4	4	0,22218145	0,22731686	0,22474916
87		0,00019752	0,00128385							
87	30,06			0,06276654	0,06870386	4	4	0,25106615	0,27481543	0,26294079
88		0,00019752	0,00593732							
88	18,85			0,07242703	0,0761502	4	4	0,28970812	0,3046008	0,29715446
89		0,00019752	0,00372317							
89	15,28			0,07916824	0,08218628	4	4	0,31667296	0,32874512	0,32270904
90		0,00019752	0,00301804							
90	13,88			0,0849278	0,08766931	4	4	0,33971119	0,35067726	0,34519422
91		0,00019752	0,00274152							
91	38,05			0,09518479	0,10270026	4	4	0,38073915	0,41080104	0,39577009
92		0,00019752	0,00751547							
92	3,15			0,10332243	0,10394461	4	4	0,41328973	0,41577843	0,41453408
93		0,00019752	0,00062217							
93	16,47			0,10719769	0,11045077	4	4	0,42879077	0,4418031	0,43529693
94		0,00019752	0,00325308							

Suite de tableau estimation de réseau n°02 de village ait Saada

Nœud	L_i	Q_{mfu}	Q_{mfr}	Q_{mei}	Q_{msi}	C_{pe}	C_{ps}	Q_{pe}	Q_{ps}	Q_P
94	4,17			0,11045077	0,11127442	4	4	0,4418031	0,44509766	0,44345038
95		0,00019752	0,00082364							
95	24,84			0,11127442	0,1161807	4	4	0,44509766	0,46472282	0,45491024
96		0,00019752	0,00490629							
96	36,49			0,1161807	0,12338805	4	4	0,46472282	0,49355221	0,47913751
97		0,00019752	0,00720735							
97	20,62			0,12338805	0,12746083	4	4	0,49355221	0,5098433	0,50169776
98		0,00019752	0,00407277							
98	35,86			0	0,00708291	0	4	0	0,02833165	0
99		0,00019752	0,00708291							
99	7,35			0,00708291	0,00853465	4	4	0,02833165	0,03413861	0,03123513
100		0,00019752	0,00145174							
101	25,28			0,00853465	0,01352785	4	4	0,03413861	0,0541114	0,04412501
102		0,00019752	0,0049932							
102	21,64			0,01352785	0,01780209	4	4	0,0541114	0,07120836	0,06265988
103		0,00019752	0,00427424							
103	13,52			0,01780209	0,0204725	4	4	0,07120836	0,08189001	0,07654918
100		0,00019752	0,00267041							
100	32,2			0,14793333	0,15429333	4	4	0,59173331	0,61717333	0,60445332
111		0,00019752	0,00636001							
111	43,35			0,15429333	0,16285564	4	4	0,61717333	0,65142255	0,63429794
112		0,00019752	0,00856231							
112	13,94			0,16285564	0,16560901	4	4	0,65142255	0,66243603	0,65692929
113		0,00019752	0,00275337							
113	36,04			0,37778629	0,38490475	4	4	1,51114515	1,53961901	1,52538208
81		0,00019752	0,00711847							

Suite de tableau estimation de réseau n°02 de village ait Saada

Nœud	L_i	Q_{mfu}	Q_{mfr}	Q_{mei}	Q_{msi}	C_{pe}	C_{ps}	Q_{pe}	Q_{ps}	Q_P
81	40,12			0,38490475	0,39282908	4	4	1,53961901	1,57131633	1,55546767
114		0,00019752	0,00792433							
114	26,91			0,39282908	0,39814423	4	4	1,57131633	1,59257692	1,58194663
115		0,00019752	0,00531515							
115	48,06			0,39814423	0,40763683	4	4	1,59257692	1,63054734	1,61156213
116		0,00019752	0,0094926							
116	68,5			0,40763683	0,42116666	4	4	1,63054734	1,68466664	1,65760699
117		0,00019752	0,01352982							
117	35,73			0,42116666	0,4282239	4	4	1,68466664	1,71289558	1,69878111
118		0,00019752	0,00705724							
118	35,92			0,4282239	0,43531866	4	4	1,71289558	1,74127463	1,72708511
119		0,00019752	0,00709476							
119	28,13			0	0,00555612	0	4	0	0,02222447	0,01111223
120		0,00019752	0,00555612							
120	26,82			0,00555612	0,01085349	4	4	0,02222447	0,04341395	0,03281921
121		0,00019752	0,00529737							
122	11,87			0,01085349	0,013198	4	4	0,04341395	0,05279199	0,04810297
123		0,00019752	0,00234451							
123	58,22			0,44851666	0,46001602	4	4	1,79406663	1,84006408	1,81706536
121		0,00019752	0,01149936							
121	12,7			0,46557214	0,46808059	4	4	1,86228855	1,87232235	1,86730545
124		0,00019752	0,00250845							
124	14,73			0,47893407	0,48184348	4	4	1,91573629	1,92737392	1,92155511
125		0,00019752	0,00290941							
125	14,64			0,49504148	0,49793311	4	4	1,98016591	1,99173243	1,98594917
126		0,00019752	0,00289163							

Suite de tableau estimation de réseau n°02 de village ait Saada

Nœud	L_i	Q_{mfu}	Q_{mfr}	Q_{mei}	Q_{msi}	C_{pe}	C_{ps}	Q_{pe}	Q_{ps}	Q_P
126	19,52			0,49793311	0,50178861	4	4	1,99173243	2,00715446	1,99944344
127		0,00019752	0,00385551							
127	19,93			0,50178861	0,5057251	4	4	2,00715446	2,02290041	2,01502743
128		0,00019752	0,00393649							
128	14,27			0,5057251	0,50854365	4	4	2,02290041	2,0341746	2,02853751
129		0,00019752	0,00281855							
129	7,45			0,50854365	0,51001514	4	4	2,0341746	2,04006057	2,03711759
130		0,00019752	0,00147149							
130	9,13			0,51001514	0,51181846	4	4	2,04006057	2,04727384	2,04366721
131		0,00019752	0,00180332							
131	6,5			0,51181846	0,51310231	4	4	2,04727384	2,05240925	2,04984155
132		0,00019752	0,00128385							
132	16,08			0,51310231	0,51627837	4	4	2,05240925	2,06511346	2,05876136
133		0,00019752	0,00317605							
134		0,00019752	0,00242549	0	0,00242549	0	4	0	0,00970197	0,00485099
135		0,00019752	0,00242549							
135	22,22			0,00242549	0,00681429	4	4	0,00970197	0,02725717	0,01847957
136		0,00019752	0,0043888							
116		0,00019752	0,0043888	0,00681429	0,00837467	4	4	0,02725717	0,03349866	0,03037791
133		0,00019752	0,00156037							
133	7,9			0,00681429	0,00837467	4	4	0,02725717	0,03349866	0,03037791
133		0,00019752	0,00156037							
137		0,00019752	0,00138458	0,52465303	0,52603762	4	4	2,09861212	2,10415046	2,10138129
137		0,00019752	0,00138458							
137	14,35			0,52846311	0,53129746	4	4	2,11385243	2,12518983	2,11952113
138		0,00019752	0,00283435							
138		0,00019752	0,00283435	0,49793311	0,50178861	4	4	1,99173243	2,00715446	1,99944344
139		0,00019752	0,00385551							

Suite de tableau estimation de réseau n°02 de village ait Saada

Nœud	L_i	Q_{mfu}	Q_{mfr}	Q_{mei}	Q_{msi}	C_{pe}	C_{ps}	Q_{pe}	Q_{ps}	Q_P
139	14			0,53129746	0,53406268	4	4	2,12518983	2,13625071	2,13072027
140		0,00019752	0,00276522							
141	11,74			0,53406268	0,53638151	4	4	2,13625071	2,14552605	2,14088838
142		0,00019752	0,00231883							
142	28,46			0,53638151	0,54200281	4	4	2,14552605	2,16801124	2,15676864
143		0,00019752	0,0056213							
143	8,22			0	0,00162358	0	4	0	0,00649432	0,00324716
144		0,00019752	0,00162358							
144	27,55			0,00162358	0,00706514	4	4	0,00649432	0,02826055	0,01737743
145		0,00019752	0,00544156							
145	19,9			0,00706514	0,0109957	4	4	0,02826055	0,04398279	0,03612167
146		0,00019752	0,00393056							
146	15,04			0,0109957	0,01396633	4	4	0,04398279	0,05586534	0,04992407
147		0,00019752	0,00297064							
147	7,99			0,01396633	0,01554448	4	4	0,05586534	0,06217794	0,05902164
148		0,00019752	0,00157815							
148	26,02			0,01554448	0,02068384	4	4	0,06217794	0,08273537	0,07245666
149		0,00019752	0,00513936							
149	23,55			0,02068384	0,02533534	4	4	0,08273537	0,10134135	0,09203836
150		0,00019752	0,00465149							
150	25,98			0,02533534	0,0304668	4	4	0,10134135	0,12186718	0,11160427
151		0,00019752	0,00513146							
151	18,45			0,0304668	0,03411096	4	4	0,12186718	0,13644384	0,12915551
152		0,00019752	0,00364416							
152	20,76			0,03411096	0,03821139	4	4	0,13644384	0,15284554	0,14464469
153		0,00019752	0,00410043							

Suite de tableau estimation de réseau n°02 de village ait Saada

Nœud	L_i	Q_{mfu}	Q_{mfr}	Q_{mei}	Q_{msi}	C_{pe}	C_{ps}	Q_{pe}	Q_{ps}	Q_P
153	21,81			0,03821139	0,0425192	4	4	0,15284554	0,17007681	0,16146118
154		0,00019752	0,00430782							
154	11,39			0,0425192	0,04476891	4	4	0,17007681	0,17907563	0,17457622
140		0,00019752	0,0022497							
140	15,25			0,04476891	0,04778102	4	4	0,17907563	0,19112408	0,18509986
155		0,00019752	0,00301211							
155	24,82			0,04778102	0,05268336	4	4	0,19112408	0,21073344	0,20092876
156		0,00019752	0,00490234							
156	14,42			0,59468617	0,59753435	4	4	2,37874468	2,39013738	2,38444103
157		0,00019752	0,00284818							
157	48,91			0,59915792	0,60881842	4	4	2,3966317	2,43527367	2,41595268
158		0,00019752	0,00966049							
158	36			0,61588355	0,62299412	4	4	2,46353421	2,49197647	2,47775534
159		0,00019752	0,00711056							

Tableau estimation de réseau n°03 de village ait Saada

Nœud	L_i	Q_{mfu}	Q_{mfr}	Q_{mei}	Q_{msi}	C_{pe}	C_{ps}	Q_{pe}	Q_{ps}	Q_P
1	22,94			0	0,01510798	/	21,83933721	0	0,329948287	0,164974144
2		0,00065859	0,015107981							
2	3,19			0,015107981	0,01720887	4	4	0,060431923	0,068835491	0,064633707
3		0,00065859	0,002100892							
3	10,49			0,017208873	0,02411745	4	4	0,068835491	0,096469792	0,082652641
4		0,00065859	0,006908575							
4	13,25			0	0,00872627	/	4	0	0,034905099	0,01745255
5		0,00065859	0,008726275							
6	43,3			0,008726275	0,03724308	4	4	0,034905099	0,14897233	0,091938715
7		0,00065859	0,028516808							
7	15,14			0,037243083	0,04721409	4	4	0,14897233	0,188856346	0,168914338
8		0,00065859	0,009971004							
8	48,97			0,047214086	0,07946508	4	4	0,188856346	0,317860325	0,253358335
9		0,00065859	0,032250995							
9	15,12			0,079465081	0,08942291	4	4	0,317860325	0,357691653	0,337775989
10		0,00065859	0,009957832							
10	11,11			0,089422913	0,09673981	4	4	0,357691653	0,38695925	0,372325452
11		0,00065859	0,007316899							
11	22,84			0,096739812	0,11178193	4	4	0,38695925	0,447127738	0,417043494
12		0,00065859	0,015042122							
12	13,34			0,111781935	0,12056748	4	4	0,447127738	0,482269929	0,464698834
13		0,00065859	0,008785548							
13	20,27			0,120567482	0,13391704	4	4	0,482269929	0,535668145	0,508969037
14		0,00065859	0,013349554							
14	50,84			0,133917036	0,16739959	4	4	0,535668145	0,669598354	0,602633249
5		0,00065859	0,033482552							

Suite tableau estimation de réseau n°03 de village ait Saada

Nœud	L_i	Q_{mfu}	Q_{mfr}	Q_{mei}	Q_{msi}	C_{pe}	C_{ps}	Q_{pe}	Q_{ps}	Q_P
5	8,12			0,167399588	0,17274731	4	4	0,690989252	0,690989252	0,690989252
15		0,00065859	0,005347725							
15	18,55			0,172747313	0,1849641	4	4	0,739856391	0,739856391	0,739856391
16		0,00065859	0,012216785							
16	11,72			0,184964098	0,19268273	4	4	0,77073094	0,77073094	0,77073094
17		0,00065859	0,007718637							
17	21,05			0,192682735	0,20654599	4	4	0,826183947	0,826183947	0,826183947
18		0,00065859	0,013863252							
18	19,19			0,230663435	0,24330172	4	4	0,97320686	0,97320686	0,97320686
19		0,00065859	0,01263828							
19	31,17			0,25202799	0,27255614	4	4	1,09022456	1,09022456	1,09022456
20		0,00065859	0,02052815							
20	26,95			0,309799223	0,32754814	4	4	1,310192545	1,310192545	1,310192545
21		0,00065859	0,017748914							
21	16,87			0,374762223	0,38587258	4	4	1,543490327	1,543490327	1,543490327
22		0,00065859	0,011110359							
22	19,45			0,465337663	0,47814718	4	4	1,912588703	1,912588703	1,912588703
23		0,00065859	0,012809513							
23	56,6			0,567570089	0,6048461	4	4	2,419384404	2,419384404	2,419384404
24		0,00065859	0,037276012							
24	11,32			0,701585914	0,70904112	4	4	2,836164464	2,836164464	2,836164464
25		0,00065859	0,007455202							
25	29,09			0,820823051	0,83998134	4	4	3,35992536	3,35992536	3,35992536
26		0,00065859	0,01915829							
26	27,34			0,960548822	0,97855458	4	4	3,91421834	3,91421834	3,91421834
27		0,00065859	0,018005763							

Suite de tableau estimation de réseau n°03 de village ait Saada

Nœud	L_i	Q_{mfu}	Q_{mfr}	Q_{mei}	Q_{msi}	C_{pe}	C_{ps}	Q_{pe}	Q_{ps}	Q_P
27	27,7			0,978554585	0,99679744	4	4	3,91421834	3,987189755	3,950704048
28		0,00065859	0,018242854							
28	33,97			0,996797439	1,01916963	4	3,976377055	3,987189755	4,052602739	4,019896247
29		0,00065859	0,022372193							
29	32,86			1,019169632	1,04081079	3,976377055	3,950496661	4,052602739	4,111719564	4,082161152
30		0,00065859	0,021641162							
30	10,59			1,040810794	1,04778523	3,950496661	3,942327351	4,111719564	4,130712361	4,121215962
31		0,00065859	0,006974434							
31	20,03			0	0,01319149	0	4	0	0,052765973	#DIV/0!
32		0,00065859	0,013191493							
33	16,94			0,013191493	0,02434795	4	4	0,052765973	0,097391813	0,075078893
34		0,00065859	0,01115646							
34	32,76			0,024347953	0,04592326	4	4	0,097391813	0,183693025	0,140542419
35		0,00065859	0,021575303							
35	12,53			0,045923256	0,05417535	4	4	0,183693025	0,216701395	0,20019721
36		0,00065859	0,008252092							
36	5,86			0,054175349	0,05803467	4	4	0,216701395	0,232138669	0,224420032
37		0,00065859	0,003859319							
37	17,03			0,058034667	0,0692504	4	4	0,232138669	0,277001601	0,254570135
38		0,00065859	0,011215733							
38	24,81			1,117035628	1,13337517	3,865410368	3,848297753	4,317801097	4,361565104	4,3396831
32		0,00065859	0,016339538							
32	23			1,146566659	1,16171416	3,83474984	3,81947859	4,396796312	4,437142343	4,416969328
39		0,00065859	0,015147496							
39	28,91			1,186062108	1,20510185	3,795547549	3,77734135	4,501755128	4,552081057	4,526918092
40		0,00065859	0,019039744							

Suite de tableau estimation de réseau n°03 de village ait Saada

Nœud	L_i	Q_{mfu}	Q_{mfr}	Q_{mei}	Q_{msi}	C_{pe}	C_{ps}	Q_{pe}	Q_{ps}	Q_P
40	46,3			1,205101852	1,23559442	3,77734135	3,749065167	4,552081057	4,632324002	4,59220253
41		0,00065859	0,030492568							
41	22,24			1,23559442	1,25024139	3,749065167	3,735852103	4,632324002	4,670716927	4,651520465
42		0,00065859	0,01464697							
42	17,43			1,25024139	1,26172056	3,735852103	3,725657942	4,670716927	4,700739217	4,685728072
43		0,00065859	0,011479168							
43	21,35			1,261720558	1,27578139	3,725657942	3,713359087	4,700739217	4,737434402	4,71908681
44		0,00065859	0,014060828							
44	25,67			1,275781386	1,29268731	3,713359087	3,698838164	4,737434402	4,781441151	4,759437777
45		0,00065859	0,016905923							
45	21,55			1,292687308	1,30687985	3,698838164	3,686866023	4,781441151	4,818290929	4,79986604
46		0,00065859	0,014192545							
46	14,11			1,306879854	1,31617251	3,686866023	3,679132311	4,818290929	4,84237282	4,830331875
47		0,00065859	0,00929266							
47	10,77			1,316172513	1,32326549	3,679132311	3,673284162	4,84237282	4,860730176	4,851551498
48		0,00065859	0,00709298							
48	10,93			1,323265493	1,33046385	3,673284162	3,66739701	4,860730176	4,879339132	4,870034654
49		0,00065859	0,007198354							
49	16,03			1,330463846	1,34102099	3,66739701	3,65884877	4,879339132	4,906593008	4,89296607
50		0,00065859	0,010557146							
50	11,66			1,341020992	1,34870011	3,65884877	3,652694055	4,906593008	4,92638889	4,916490949
51		0,00065859	0,007679122							

Tableau estimation de réseau n°04 de village ait Saada

Nœud	L_i	Q_{mfu}	Q_{mfr}	Q_{mei}	Q_{msi}	C_{pe}	C_{ps}	Q_{pe}	Q_{ps}	Q_P
1	30,73			0	0,07007094		4	0	0,28028376	0,14014188
2		0,00228021	0,07007094							
2	24,4			0,07007094	0,12570813	4	4	0,28028376	0,50283253	0,39155815
3		0,00228021	0,05563719							
3	10,59			0,12570813	0,14985559	4	4	0,50283253	0,59942235	0,55112744
4		0,00228021	0,02414745							
4	10,5			0,14985559	0,17379782	4	4	0,59942235	0,69519128	0,64730682
5		0,00228021	0,02394223							
5	22,73			0,17379782	0,22562706	4	4	0,69519128	0,90250823	0,79884976
6		0,00228021	0,05182924							
7	14,93			0,22562706	0,25967064	4	4	0,90250823	1,03868254	0,97059539
8		0,00228021	0,03404358							
8	12,43			0,25967064	0,28801368	4	4	1,03868254	1,15205473	1,09536863
9		0,00228021	0,02834305							
9	26,95			0,28801368	0,34946542	4	4	1,15205473	1,39786167	1,2749582
10		0,00228021	0,06145174							
10	19,31			0,34946542	0,39349633	4	4	1,39786167	1,57398531	1,48592349
11		0,00228021	0,04403091							
11	17,72			0,39349633	0,4339017	4	4	1,57398531	1,73560679	1,65479605
6		0,00228021	0,04040537							
6	6,98			0,4339017	0,44981758	4	4	1,73560679	1,79927033	1,76743856
12		0,00228021	0,01591589							
12	21,59			0,44981758	0,49904738	4	4	1,79927033	1,99618951	1,89772992
13		0,00228021	0,04922979							
13	28,34			0,49904738	0,56366861	4	4	1,99618951	2,25467444	2,12543197
14		0,00228021	0,06462123							

Suite de tableau estimation de réseau n°04 de village ait Saada

Nœud	L_i	Q_{mfu}	Q_{mfr}	Q_{mei}	Q_{msi}	C_{pe}	C_{ps}	Q_{pe}	Q_{ps}	Q_P
14	6,4			0,56366861	0,57826197	4	4	2,25467444	2,31304788	2,28386116
15		0,00228021	0,01459336							
15	6,52			0,57826197	0,59312896	4	4	2,31304788	2,37251583	2,34278186
16		0,00228021	0,01486699							
16	7,27			0,59312896	0,60970611	4	4	2,37251583	2,43882442	2,40567013
17		0,00228021	0,01657715							
17	16,37			0,60970611	0,64703319	4	4	2,43882442	2,58813276	2,51347859
18		0,00228021	0,03732708							
18	26,51			0,64703319	0,70748163	4	4	2,58813276	2,82992653	2,70902964
19		0,00228021	0,06044844							

Tableau estimation de réseau n°01 de village Imaghdacen

Nœud	L_i	Q_{mfu}	Q_{mfr}	Q_{mei}	Q_{msi}	C_{pe}	C_{ps}	Q_{pe}	Q_{ps}	Q_P
1	42.82			0	0,05856	0	2,47937	0	0,14520	0,07260
2		0,00137	0,05856							
2	16.05			0,05856	0,08051	2,47937	2,11455	0,19962	0,17025	0,18494
3		0,00137	0,02195							
3	27.09			0,08051	0,11756	2,11455	1,74991	0,24859	0,20572	0,22716
4		0,00137	0,03705							
4	28.74			0,11756	0,15687	1,74991	1,51490	0,27451	0,23764	0,25607
5		0,00137	0,03931							
5	28.63			0,15687	0,19602	1,51490	1,35518	0,29696	0,26565	0,28130
6		0,00137	0,03916							
6	56.6			0,19602	0,27343	1,35518	1,14743	0,37055	0,31374	0,34215
7		0,00137	0,07741							
7	37.37			0,27343	0,32454	1,14743	1,05321	0,37239	0,34181	0,35710
8		0,00137	0,05111							
8	44.52			0,32454	0,38543	1,05321	0,96645	0,40594	0,37250	0,38922
9		0,00137	0,06089							
9	74.83			0,38543	0,48777	0,96645	0,85910	0,47140	0,41904	0,44522
10		0,00137	0,10234							
10	36.13			0,48777	0,53718	0,85910	0,81863	0,46149	0,43976	0,45063
11		0,00137	0,04941							
11	25.66			0,53718	0,57228	0,81863	0,79314	0,46849	0,45389	0,46119
12		0,00137	0,03509							
12	41.24			0,57228	0,62868	0,79314	0,75672	0,49863	0,47574	0,48718
13		0,00137	0,05640							
13	25.26			0,62868	0,66322	0,75672	0,73675	0,50188	0,48863	0,49525
14		0,00137	0,03455							

Suite tableau estimation de réseau n°01 de village Imaghdacen

Nœud	L_i	Q_{mfu}	Q_{mfr}	Q_{mei}	Q_{msi}	C_{pe}	C_{ps}	Q_{pe}	Q_{ps}	Q_P
14	40.65			0,66322	0,71882	0,75672	0,73675	0,54395	0,52959	0,53677
15		0,00137	0,05559							
15	40.86			0,71882	0,77470	0,70769	0,68169	0,54825	0,52810	0,53817
16		0,00137	0,05588							
17	23.65			0	0,03234	0	3,33618	0	0,10791	0,05395
18		0,00137	0,03234							
18	29.99			0,03234	0,07336	3,33618	2,21524	0,24474	0,16251	0,20363
19		0,00137	0,04102							
19	20.75			0,07336	0,10174	2,21524	1,88108	0,22538	0,19138	0,20838
20		0,00137	0,02838							
20	8.63			0,10174	0,11354	1,88108	1,78063	0,21358	0,20218	0,20788
21		0,00137	0,01180							
21	9.32			0,11354	0,12629	1,78063	1,68838	0,22487	0,21322	0,21905
22		0,00137	0,01275							
22	24.2			0,12629	0,15939	1,68838	1,50289	0,26910	0,23954	0,25432
23		0,00137	0,03310							
23	15.9			0,15939	0,18113	1,50289	1,40979	0,27222	0,25536	0,26379
24		0,00137	0,02175							
24	45.44			0,18113	0,24328	1,40979	1,21647	0,34297	0,29594	0,31945
25		0,00137	0,06215							
25	28.67			0,24328	0,28249	1,21647	1,12889	0,34364	0,31890	0,33127
26		0,00137	0,03921							
26	9.72			0,28249	0,29578	1,12889	1,10323	0,33390	0,32631	0,33011
27		0,00137	0,01329							
27	47.36			1,07048	1,13525	0,57991	0,56313	0,65835	0,63929	0,64882
28		0,00137	0,06477							

Suite de tableau estimation de réseau n°01 de village Imaghdacen

Nœud	L_i	Q_{mfu}	Q_{mfr}	Q_{mei}	Q_{msi}	C_{pe}	C_{ps}	Q_{pe}	Q_{ps}	Q_P
28	40,04			1,13525	1,19001	0,56313	0,55002	0,63929	0,65453	0,64691
29		0,00137	0,05476							
29	20,28			1,19001	1,21775	0,55002	0,54372	0,65453	0,66211	0,65832
16		0,00137	0,02774							
16	22,04			1,21775	1,24789	0,54372	0,53711	0,66211	0,67025	0,66618
30		0,00137	0,03014							
30	29,09			1,24789	1,28768	0,53711	0,52875	0,67025	0,68086	0,67555
31		0,00137	0,03978							
31	27,8			1,28768	1,32570	0,52875	0,52111	0,68086	0,69083	0,68584
32		0,00137	0,03802							
32	21,55			1,32570	1,35517	0,52111	0,51541	0,69083	0,69847	0,69465
33		0,00137	0,02947							
33	11,7			1,35517	1,37117	0,51541	0,51240	0,69847	0,70258	0,70053
34		0,00137	0,01600							
34	8,83			1,37117	1,38325	0,51240	0,51015	0,70258	0,70567	0,70413
35		0,00137	0,01208							
35	11,3			1,38325	1,39870	0,51015	0,50733	0,70567	0,70960	0,70763
36		0,00137	0,01545							
36	12,9			1,39870	1,41634	0,50733	0,50416	0,70960	0,71406	0,71183
37		0,00137	0,01764							
37	19,95			1,41634	1,44363	0,50416	0,49937	0,71406	0,72091	0,71748
38		0,00137	0,02728							
38	16,18			1,44363	1,46576	0,49937	0,49559	0,72091	0,72641	0,72366
39		0,00137	0,02213							
39	8,19			1,46576	1,47696	0,49559	0,49370	0,72641	0,72918	0,72780
40		0,00137	0,01120							

Suite de tableau estimation de réseau n°01 de village Imaghdacen

Nœud	L_i	Q_{mfu}	Q_{mfr}	Q_{mei}	Q_{msi}	C_{pe}	C_{ps}	Q_{pe}	Q_{ps}	Q_P
40	16.69			1,47696	1,49978	0,49370	0,48993	0,72918	0,73479	0,73199
41		0,00137	0,02283							
41	14.03			1,49978	1,51897	0,48993	0,48683	0,73479	0,73948	0,73714
42		0,00137	0,01919							
42	16.20			1,51897	1,54113	0,48683	0,48332	0,73948	0,74485	0,74217
43		0,00137	0,02216							
43	46.68			1,54113	1,60497	0,48332	0,47361	0,74485	0,76012	0,75249
44		0,00137	0,06384							
44	17.16			1,60497	1,62844	0,47361	0,47018	0,76012	0,76566	0,76289
45		0,00137	0,02347							
45	19.37			1,62844	1,65493	0,47018	0,46640	0,76566	0,77186	0,76876
46		0,00137	0,02649							
46	14.06			1,65493	1,67416	0,46640	0,46372	0,77186	0,77634	0,77410
47		0,00137	0,01923							
47	15.94			1,67416	1,69596	0,46372	0,46073	0,77634	0,78137	0,77885
48		0,00137	0,02180							
48	17.58			1,69596	1,72000	0,46073	0,45750	0,78137	0,78689	0,78413
49		0,00137	0,02404							
49	17.10			1,72000	1,74339	0,45750	0,45442	0,78689	0,79222	0,78956
50		0,00137	0,02339							
50	9.91			1,74339	1,75694	0,45442	0,45266	0,79222	0,79530	0,79376
51		0,00137	0,01355							
51	27.25			1,75694	1,79421	0,45266	0,44793	0,79530	0,80369	0,79949
52		0,00137	0,03727							
52	24.37			1,79421	1,82754	0,44793	0,44383	0,80369	0,81112	0,80740
53		0,00137	0,03333							

Suite de tableau estimation de réseau n°01 de village Imaghdacen

Nœud	L_i	Q_{mfu}	Q_{mfr}	Q_{mei}	Q_{msi}	C_{pe}	C_{ps}	Q_{pe}	Q_{ps}	Q_P
53	56.92			1,82754	1,90539	0,44383	0,43467	0,81112	0,82821	0,81967
54		0,00137	0,07785							
54	20.61			1,90539	1,93357	0,43467	0,43149	0,82821	0,83432	0,83127
55		0,00137	0,02819							
55	11.06			1,93357	1,94870	0,43149	0,42981	0,83432	0,83758	0,83595
56		0,00137	0,01513							
56	24.38			1,94870	1,98204	0,42981	0,42618	0,83758	0,84471	0,84114
57		0,00137	0,03334							
57	9.77			0,00000	0,01336	0,00000	5,19060	0,00000	0,06936	0,03468
58		0,00137	0,01336							
58	15.78			0,01336	0,03494	5,19060	3,20974	0,06936	0,11216	0,09076
59		0,00137	0,02158							
59	10.68			0,03494	0,04955	3,20974	2,69545	0,11216	0,13356	0,12286
60		0,00137	0,01461							
61	13.19			0,04955	0,06759	2,69545	2,30788	0,13356	0,15599	0,14477
62		0,00137	0,01804							
6	22.56			0,06759	0,09844	2,30788	1,91231	0,15599	0,18825	0,17212
63		0,00137	0,03085							
63	27.86			0,09844	0,13655	1,91231	1,62373	0,18825	0,22171	0,20498
64		0,00137	0,03810							
64	6.01			0,13655	0,14477	1,62373	1,57696	0,22171	0,22829	0,22500
65		0,00137	0,00822							
65	16.63			0,14477	0,16751	1,57696	1,46599	0,22829	0,24557	0,23693
66		0,00137	0,02274							
66	11.81			0,16751	0,18366	1,46599	1,40005	0,24557	0,25713	0,25135
67		0,00137	0,01615							

Suite de tableau estimation de réseau n°01 de village Imaghdacen

Nœud	L_i	Q_{mfu}	Q_{mfr}	Q_{mei}	Q_{msi}	C_{pe}	C_{ps}	Q_{pe}	Q_{ps}	Q_P
67	13.20			0,18366	0,20171	1,40005	1,33593	0,25713	0,26948	0,26330
68		0,00137	0,01805							
68	10.36			0,20171	0,21588	1,33593	1,29135	0,26948	0,27878	0,27413
69		0,00137	0,01417							
69	11.45			0,21588	0,23154	1,29135	1,24691	0,27878	0,28871	0,28375
70		0,00137	0,01566							
70	13.50			0,23154	0,25001	1,24691	1,19999	0,28871	0,30000	0,29436
71		0,00137	0,01846							
71	3.98			0,25001	0,25545	1,19999	1,18713	0,30000	0,30325	0,30163
72		0,00137	0,00544							
72	7.62			0,25545	0,26587	1,18713	1,16363	0,30325	0,30938	0,30631
73		0,00137	0,01042							
73	14.94			0,26587	0,28630	1,16363	1,12134	0,30938	0,32104	0,31521
74		0,00137	0,02043							
74	10.71			0,28630	0,30095	1,12134	1,09372	0,32104	0,32915	0,32510
75		0,00137	0,01465							
75	22.69			2,28299	2,31402	0,39710	0,39443	0,90657	0,91272	0,90964
76		0,00137	0,03103							
76	24.52			2,31402	2,34756	0,39443	0,39160	0,91272	0,91930	0,91601
77		0,00137	0,03353							
77	63.35			2,34756	2,43420	0,39160	0,38457	0,91930	0,93612	0,92771
60		0,00137	0,08664							
60	15.12			2,43420	2,45488	0,38457	0,38294	0,93612	0,94008	0,93810
71		0,00137	0,02068							
71	38.07			2,45488	2,50694	0,38294	0,37895	0,94008	0,95000	0,94504
72		0,00137	0,05207							

Suite de tableau estimation de réseau n°01 de village Imaghdacen

Nœud	L_i	Q_{mfu}	Q_{mfr}	Q_{mei}	Q_{msi}	C_{pe}	C_{ps}	Q_{pe}	Q_{ps}	Q_P
72	25.58			2,50694	2,54193	0,37895	0,37633	0,95000	0,95661	0,95330
73		0,00137	0,03498							
73	21.78			2,54193	2,57172	0,37633	0,37414	0,95661	0,96219	0,95940
74		0,00137	0,02979							
74	23.69			2,57172	2,60412	0,37414	0,37181	0,96219	0,96824	0,96522
75		0,00137	0,03240							
75	24.55			2,60412	2,63769	0,37181	0,36944	0,96824	0,97446	0,97135
76		0,00137	0,03358							
76	16.26			2,63769	2,65993	0,36944	0,36789	0,97446	0,97856	0,97651
77		0,00137	0,02224							
77	24.11			2,65993	2,69290	0,36789	0,36563	0,97856	0,98460	0,98158
78		0,00137	0,03297							
78	23.25			2,69290	2,72470	0,36563	0,36349	0,98460	0,99040	0,98750
79		0,00137	0,03180							
79	23.08			2,72470	2,75627	0,36349	0,36140	0,99040	0,99612	0,99326
80		0,00137	0,03157							
80	12.67			2,75627	2,77359	0,36140	0,36027	0,99612	0,99925	0,99768
81		0,00137	0,01733							
81	21.94			2,77359	2,80360	0,36027	0,35834	0,99925	1,00464	1,00194
82		0,00137	0,03001							
82	21.29			2,80360	2,83272	0,35834	0,35649	1,00464	1,00984	1,00724
83		0,00137	0,02912							
83	15.25			2,83272	2,85357	0,35649	0,35519	1,00984	1,01355	1,01170
84		0,00137	0,02086							
84	4.96			2,85357	2,86036	0,35519	0,35477	1,01355	1,01476	1,01415
85		0,00137	0,00678							

Suite de tableau estimation de réseau n°01 de village Imaghdacen

Nœud	L_i	Q_{mfu}	Q_{mfr}	Q_{mei}	Q_{msi}	C_{pe}	C_{ps}	Q_{pe}	Q_{ps}	Q_P
85	33.6			2,86036	2,90631	0,35477	0,35195	1,01476	1,02287	1,01881
86		0,00137	0,04595							
86	23.27			2,90631	2,93813	0,35195	0,35004	1,02287	1,02846	1,02567
87		0,00137	0,03183							
87	25.23			2,93813	2,97264	0,35004	0,34800	1,02846	1,03448	1,03147
88		0,00137	0,03451							
88	10.35			2,97264	2,98680	0,34800	0,34718	1,03448	1,03694	1,03571
89		0,00137	0,01416							
89	8.94			2,98680	2,99902	0,34718	0,34647	1,03694	1,03906	1,03800
90		0,00137	0,01223							
90	15.38			2,99902	3,02006	0,34647	0,34526	1,03906	1,04270	1,04088
91		0,00137	0,02103							
91	26.4			3,02006	3,05616	0,34526	0,34321	1,04270	1,04891	1,04581
92		0,00137	0,03611							
92	30.74			3,05616	3,09820	0,34321	0,34088	1,04891	1,05610	1,05251
93		0,00137	0,04204							
93	14.81			3,09820	3,11846	0,34088	0,33977	1,05610	1,05955	1,05783
94		0,00137	0,02025							
94	10.88			3,11846	3,13334	0,33977	0,33896	1,05955	1,06207	1,06081
95		0,00137	0,01488							
95	8.94			3,13334	3,14557	0,33896	0,33830	1,06207	1,06414	1,06311
96		0,00137	0,01223							
96	7.07			3,14557	3,15523	0,33830	0,33778	1,06414	1,06578	1,06496
97		0,00137	0,00967							
97	25.42			3,15523	3,19000	0,33778	0,33594	1,06578	1,07163	1,06871
98		0,00137	0,03477							

Suite de tableau estimation de réseau n°01 de village Imaghdacen

Nœud	L_i	Q_{mfu}	Q_{mfr}	Q_{mei}	Q_{msi}	C_{pe}	C_{ps}	Q_{pe}	Q_{ps}	Q_P
1	23.82			0	0,04968	0	4	0,00000	0,19872	0,09936
2		0,00208563	0,02058513							
2	24.18			0,02058513	0,10011	4	4	0,19872	0,40044	0,29958
3		0,00208563	0,09758647							
3	27.13			0,1181716	0,15669	4	4	0,40044	0,62677	0,51361
4		0,00208563	0,09141301							
4	25.85			0,20958461	0,21061	4	4	0,62677	0,84243	0,73460
5		0,00208563	0,0281351							
5	29.54			0,23771971	0,27222	4	4	0,84243	1,08886	0,96565
6		0,00208563	0,06233938							
6	23.62			0,30005909	0,32148	4	4	1,08886	1,28591	1,18739
7		0,00208563	0,06542611							
7	32.94			0,3654852	0,39018	4	4	1,28591	1,56072	1,42331
8		0,00208563	0,03416256							
8	16.79			0,39964776	0,42520	4	4	1,56072	1,70079	1,63075
9		0,00208563	0,01874978							
9	6.73			0,41839754	0,43923	4	4	1,70079	1,75693	1,72886
10		0,00208563	0,08211112							
10	12.6			0	0,02628	0	4	0,00000	0,10512	0,05256
11		0,00208563	0,02815596							
11	60.38			0,02815596	0,15221	4	4	0,10512	0,60884	0,35698
12		0,00208563	0,02523608							
12	13.52			0,05339204	0,18041	4	4	0,60884	0,72163	0,66523
13		0,00208563	0,08402989							
14		0,00208563	0,08206941	0,13742193	0,22969	4	4	0,72163	0,91876	0,82019
15										

Tableau estimation de réseau n°02 de village Imaghdacen

Nœud	L_i	Q_{mfu}	Q_{mfr}	Q_{mei}	Q_{msi}	C_{pe}	C_{ps}	Q_{pe}	Q_{ps}	Q_P
15	9.87			0,22969	0,25028	4	4	0,91876021	1,00110	0,95993
16		0,00209	0,02059							
16	46.79			0,25028	0,34786	4	4	1,00110075	1,39145	1,19627
17		0,00209	0,09759							
17	43.83			0,34786	0,43927	4	4	1,39144661	1,75710	1,57427
12		0,00209	0,09141							
12	13.49			0,87851	0,90664	4	4	3,51403047	3,62657	3,57030
18		0,00209	0,02814							
18	29.89			0,93292	0,99526	4	4	3,73168646	3,98104	3,85637
13		0,00209	0,06234							
19	31.37			1,14747	1,21290	3,83383063	3,77001227	4,3992057	4,57263	4,48592
20		0,00209	0,06543							
20	16.38			1,39330	1,42747	3,61795755	3,59246025	5,04091046	5,12811	5,08451
21		0,00209	0,03416							
21	8.99			1,65716	1,67591	3,44204096	3,43114677	5,70399689	5,75028	5,72714
22		0,00209	0,01875							
22	39.37			1,67591	1,75802	3,43114677	3,38550876	5,75027678	5,95178	5,85103
23		0,00209	0,08211							
23	13.5			1,75802	1,78617	3,38550876	3,37058882	5,95177972	6,02045	5,98612
24		0,00209	0,02816							
24	12.10			1,78617	1,81141	3,37058882	3,35751283	6,02045237	6,08183	6,05114
25		0,00209	0,02524							
25	40.29			0,22969	0,25028	4	4	0,91876021	1,00110	0,95993
26		0,00209	0,02059							
26	39.35			0,25028	0,34786	4	4	1,00110075	1,39145	1,19627
27		0,00209	0,09759							

Suite de tableau estimation de réseau n°02 de village Imaghdacen

Nœud	L_i	Q_{mfu}	Q_{mfr}	Q_{mei}	Q_{msi}	C_{pe}	C_{ps}	Q_{pe}	Q_{ps}	Q_P
27	19.82			1,81141	1,85275	3,35751283	3,3366742	4	6,18201	5,09100
28		0,00209	0,04134							
28	13.19			1,85275	1,88025	3,3366742	3,32318879	4	6,24844	5,12422
29		0,00209	0,02751							
29	25.93			1,88025	1,93434	3,32318879	3,29752169	4	6,37851	5,18926
30		0,00209	0,05408							
30	19.55			1,93434	1,97511	3,29752169	3,27887099	4	6,47613	5,23806
31		0,00209	0,04077							
31	18.30			1,97511	2,01328	3,27887099	3,26192871	4	6,56716	5,28358
32		0,00209	0,03817							
32	19.12			2,01328	2,05315	3,26192871	3,24473436	4	6,66194	5,33097
33		0,00209	0,03988							
33	10.98			2,05315	2,07605	3,24473436	3,23508492	4	6,71621	5,35810
34		0,00209	0,02290							
34	21.57			2,07605	2,12104	3,23508492	3,21658585	4	6,82251	5,41125
35		0,00209	0,04499							
35	25.76			2,12104	2,17477	3,21658585	3,19524986	4	6,94892	5,47446
36		0,00209	0,05373							
36	25.87			2,17477	2,22872	3,19524986	3,17460397	4	7,07531	5,53765
37		0,00209	0,05396							
37	4.67			2,22872	2,23846	3,17460397	3,17095678	4	7,09806	5,54903
38		0,00209	0,00974							

Suite tableau estimation de réseau de village Taourirth

Nœud	L_i	Q_{mfu}	Q_{mfr}	Q_{mei}	Q_{msi}	C_{pe}	C_{ps}	Q_{pe}	Q_{ps}	Q_P
1	6.29			0	0,00906	0	4,00000	0,00000	0,03623	0,01812
2		0,00144	0,00906							
2	9.75			0,00906	0,02310	4,00000	4,00000	0,03623	0,09240	0,06432
3		0,00144	0,01404							
3	30.77			0,02310	0,06741	4,00000	4,00000	0,09240	0,26965	0,18103
4		0,00144	0,04431							
5	20.86			0	0,03004	0,00000	4,00000	0,00000	0,12017	0,06008
6		0,00144	0,03004							
6	10.32			0,03004	0,04490	4,00000	4,00000	0,12017	0,17961	0,14989
4		0,00144	0,01486							
4	25.71			0,11232	0,14934	4,00000	4,00000	0,44927	0,59737	0,52332
7		0,00144	0,03703							
7	9.73			0,14934	0,16336	4,00000	4,00000	0,59737	0,65342	0,62540
8		0,00144	0,01401							
8	13.20			0,16336	0,18236	4,00000	4,00000	0,65342	0,72946	0,69144
9		0,00144	0,01901							
10	11.85			0	0,01707	0,00000	4,00000	0,00000	0,06826	0,03413
11		0,00144	0,01707							
11	15.28			0,01707	0,03907	4,00000	4,00000	0,06826	0,15628	0,11227
12		0,00144	0,02201							
12	5.12			0,03907	0,04644	4,00000	4,00000	0,15628	0,18578	0,17103
13		0,00144	0,00737							
13	14.04			0,04644	0,06666	4,00000	4,00000	0,18578	0,26666	0,22622
14		0,00144	0,02022							
14	10.64			0,24903	0,26435	4,00000	4,00000	0,99612	1,05741	1,02676
9		0,00144	0,01532							

Suite tableau estimation de réseau de village Taourirth

Nœud	L_i	Q_{mfu}	Q_{mfr}	Q_{mei}	Q_{msi}	C_{pe}	C_{ps}	Q_{pe}	Q_{ps}	Q_P
9	28.79			0,26435	0,30581	4,00000	4,00000	1,22326	1,22326	1,22326
15		0,00144	0,04146							
15	4.54			0,30581	0,31235	4,00000	4,00000	1,24941	1,24941	1,24941
16		0,00144	0,00654							
16	27.53			0,31235	0,35200	4,00000	4,00000	1,40800	1,40800	1,40800
17		0,00144	0,03965							
17	15.06			0	0,02169	0,00000	4,00000	0,00000	0,08675	0,04338
18		0,00144	0,02169							
19	13.67			0,02169	0,04138	4,00000	4,00000	0,16550	0,16550	0,16550
20		0,00144	0,01969							
21	5.78			0,04138	0,04970	4,00000	4,00000	0,19880	0,19880	0,19880
21		0,00144	0,00832							
22	7.53			0,04970	0,06054	4,00000	4,00000	0,24217	0,24217	0,24217
23		0,00144	0,01084							
24	8.62			0,06054	0,07296	4,00000	4,00000	0,29183	0,29183	0,29183
18		0,00144	0,01241							
18	58.47			0,42496	0,50916	4,00000	4,00000	2,03665	2,03665	2,03665
25		0,00144	0,08421							
25	23.49			0,50916	0,54299	4,00000	4,00000	2,17196	2,17196	2,17196
26		0,00144	0,03383							
26	41.63			0,54299	0,60294	4,89269	4,71960	2,95001	2,84565	2,89783
27		0,00144	0,05995							
27	24.91			0	0,03587	0,00000	14,69930	0,00000	0,52732	0,26366
28		0,00144	0,03587							
29	15.7			0,03587	0,05848	4,00000	4,00000	0,23394	0,23394	0,23394
30		0,00144	0,02261							

Suite tableau estimation de réseau de village Taourirth

Nœud	L_i	Q_{mfu}	Q_{mfr}	Q_{mei}	Q_{msi}	C_{pe}	C_{ps}	Q_{pe}	Q_{ps}	Q_P
30	15.05			0,05848	0,08016	4,00000	4,00000	0,23394	0,32063	0,27728
31		0,00144	0,02167							
31	8.77			0,08016	0,09279	4,00000	4,00000	0,32063	0,37115	0,34589
32		0,00144	0,01263							
32	17.77			0,09279	0,11838	4,00000	4,00000	0,37115	0,47352	0,42234
33		0,00144	0,02559							
33	6.99			0,11838	0,12845	4,00000	4,00000	0,47352	0,51378	0,49365
34		0,00144	0,01007							
34	32.56			0,12845	0,17534	4,00000	4,00000	0,51378	0,70135	0,60757
35		0,00144	0,04689							
35	58.64			0,17534	0,25979	4,00000	4,00000	0,70135	1,03915	0,87025
36		0,00144	0,08445							
36	24.86			0,25979	0,29559	4,00000	4,00000	1,03915	1,18236	1,11075
37		0,00144	0,03580							
37	16.52			0,29559	0,31938	4,00000	4,00000	1,18236	1,27752	1,22994
38		0,00144	0,02379							
38	36.15			0,92232	0,97438	4,00000	4,00000	3,68929	3,89754	3,79342
28		0,00144	0,05206							
28	32.35			1,01026	1,05685	3,98727	3,93183	4,02818	4,15535	4,09176
39		0,00144	0,04659							
39	11.81			1,11533	1,13234	3,86722	3,84937	4,31323	4,35879	4,33601
40		0,00144	0,01701							
40	14.01			1,13234	1,15252	3,84937	3,82872	4,35879	4,41265	4,38572
41		0,00144	0,02018							
41	14.01			1,15252	1,17269	3,82872	3,80860	4,41265	4,46631	4,43948
42		0,00144	0,02018							

Suite tableau estimation de réseau de village Taourirth

Nœud	L_i	Q_{mfu}	Q_{mfr}	Q_{mei}	Q_{msi}	C_{pe}	C_{ps}	Q_{pe}	Q_{ps}	Q_P
42	14.01			1,17269	1,19287	3,80860	3,78899	4,46631	4,51976	4,49304
43		0,00144	0,02018							
43	44.12			1,19287	1,25641	3,78899	3,73036	4,51976	4,68685	4,60331
44		0,00144	0,06354							
44	23.7			1,25641	1,29054	3,73036	3,70067	4,68685	4,77585	4,73135
45		0,00144	0,03413							
45	43.95			1,29054	1,35383	3,70067	3,64861	4,77585	4,93961	4,85773
46		0,00144	0,06329							
46	22.86			1,35383	1,38675	3,64861	3,62295	4,93961	5,02414	4,98188
47		0,00144	0,03292							
47	5.49			1,38675	1,39466	3,62295	3,61693	5,02414	5,04438	5,03426
48		0,00144	0,00791							
48	55.34			1,39466	1,47436	3,61693	3,55892	5,04438	5,24712	5,14575
49		0,00144	0,07970							

ANNEXE (III)

Tableau des vérifications des conditions auto-curage du réseau n°01 du village ait Saada

N° conduite	L (m)	I (m/m)	ϕ (m)	Q_{ps}	V_{ps}	Q_{min}	R_q	R_h	1 ^{er} condition	2eme condition	3eme condition
1	44,55	0,0301	0.2	0,05691	1,81229	0,27999	0,15449	0,09019	1,84853	1,08737	0,01854
2											
2	33,54	0,0304	0.2	0,05719	1,82130	0,27999	0,15373	0,08963	1,85772	1,09278	0,01845
3											
3	54,81	0,0272	0.2	0,05410	1,72277	0,27998	0,16252	0,09617	1,75723	1,03366	0,01950
4											
4	47,8	0.0343	0.2	0,06075	1,93460	0,27999	0,14473	0,08313	1,97329	1,16076	0,01737
5											
6	19,2	0.0043	0.2	0,02151	0,68498	0,27999	0,40876	0,37636	0,69868	0,41099	0,04905
6											
7	33,79	0.0043	0.2	0,02151	0,68498	0,27999	0,40876	0,37635	0,69868	0,41099	0,04905
7											
8	35,41	0.0043	0.2	0,02151	0,68498	0,27999	0,40876	0,37635	0,69868	0,41099	0,04905
8											
9	31,16	0.0043	0.2	0,02151	0,68498	0,27999	0,40876	0,37635	0,69868	0,41099	0,04905
9											
10	40,51	0.0043	0.2	0,02151	0,68498	0,27999	0,40875	0,37634	0,69868	0,41099	0,04905
5											
5	19,66	0.2009	0.2	0,14702	4,68203	0,27999	0,05980	0,03069	4,77567	2,80922	0,00718
11											
11	15,79	0.1653	0.2	0,13336	4,24698	0,28000	0,06593	0,03404	4,33192	2,54819	0,00791
12											
12	15,52	0.219	0.2	0,15350	4,88839	0,28000	0,05728	0,02933	4,98616	2,93303	0,00687
13											
13	14,47	0.1583	0.2	0,13050	4,15608	0,28000	0,06737	0,03483	4,23921	2,49365	0,00808
14											

Suite tableau des vérifications des conditions auto-curage du réseau n °01 du village ait Saada

N° conduite	L (m)	I (m/m)	Ø (m)	Q_{ps}	V_{ps}	Q_{min}	R_q	R_h	1 ^{er} condition	2eme condition	3eme condition
14	31.94	0.1462	0.2	0,12541	3,99409	0,27999	0,07010	0,03635	0,25538	0,15022	0,58418
15											
15	13.66	0.0132	0.2	0,03768	1,20014	0,28000	0,23330	0,15699	0,84990	0,49994	1,94419
16											
16	9.61	0.1561	0.2	0,12959	4,12710	0,28000	0,06784	0,03510	0,24715	0,14538	0,56536
17											

Tableau des vérifications des conditions auto-curage du réseau n ° 02 village Ait Saada

N° conduite	L (m)	I (m/m)	Ø (m)	Q_{ps}	V_{ps}	Q_{min}	R_q	R_h	1 ^{er} condition	2eme condition	3eme condition
1	28,75	0,0807	0,3	0,27472	3,88843	0,00028	0,00102	0,00050	3,96620	2,33306	0,00848
2											
2	40,94	0,0686	0,3	0,25329	3,58509	0,00028	0,00110	0,00055	3,65679	2,15105	0,00918
3											
3	29,92	0,0782	0,3	0,27043	3,82773	0,00028	0,00103	0,00051	3,90428	2,29664	0,00861
4											
4	12,11	0,0685	0,3	0,25310	3,58248	0,00028	0,00111	0,00055	3,65413	2,14949	0,00921
5											
5	25,05	0,0619	0,3	0,24060	3,40552	0,00028	0,00116	0,00058	3,47363	2,04331	0,00968
6											
6	29,18	0,035	0,3	0,18092	2,56078	0,00028	0,00154	0,00077	2,61199	1,53647	0,01287
7											
7	10,85	0,1067	0,3	0,31589	4,47116	0,00028	0,00089	0,00044	4,56058	2,68270	0,00738
8											
8	12,96	0,0702	0,3	0,25622	3,62666	0,00028	0,00109	0,00054	3,69919	2,17599	0,00910
9											
9	37,51	0,0403	0,3	0,19413	2,74783	0,00028	0,00144	0,00071	2,80279	1,64870	0,01199
10											
10	31,28	0,0761	0,3	0,26677	3,77599	0,00028	0,00105	0,00052	3,85150	2,26559	0,00873
11											
11	66,53	0,0216	0,3	0,14213	2,01171	0,00028	0,00196	0,00097	2,05194	1,20702	0,01634
12											
12	33,09	0,0453	0,3	0,20583	2,91331	0,00028	0,00136	0,00067	2,97158	1,74799	0,01131
13											
13	19,25	0,0442	0,3	0,20331	2,87772	0,00028	0,00138	0,00068	2,93528	1,72663	0,01146
14											

Suite tableau des vérifications des conditions auto-curage du réseau n° 02 village Ait Saada

N° conduite	L (m)	I (m/m)	Ø (m)	Q _{ps}	V _{ps}	Q _{min}	R _q	R _h	1 ^{er} condition	2eme condition	3eme condition
14	28,75	0,0807	0,3	0,27472	3,88843	0,00028	0,00102	0,00050	3,96620	2,33306	0,00848
15											
15	40,94	0,0686	0,3	0,25329	3,58509	0,00028	0,00110	0,00055	3,65679	2,15105	0,00918
16											
16	29,92	0,0782	0,3	0,27043	3,82773	0,00028	0,00103	0,00051	3,90428	2,29664	0,00861
17											
17	12,11	0,0685	0,3	0,25310	3,58248	0,00028	0,00111	0,00055	3,65413	2,14949	0,00921
18											
18	25,05	0,0619	0,3	0,24060	3,40552	0,00028	0,00116	0,00058	3,47363	2,04331	0,00968
19											
19	29,18	0,035	0,3	0,18092	2,56078	0,00028	0,00154	0,00077	2,61199	1,53647	0,01287
20											
20	10,85	0,1067	0,3	0,31589	4,47116	0,00028	0,00089	0,00044	4,56058	2,68270	0,00738
21											
21	12,96	0,0702	0,3	0,25622	3,62666	0,00028	0,00109	0,00054	3,69919	2,17599	0,00910
22											
23	37,51	0,0403	0,3	0,19413	2,74783	0,00028	0,00144	0,00071	2,80279	1,64870	0,01199
24											
24	31,28	0,0761	0,3	0,26677	3,77599	0,00028	0,00105	0,00052	3,85150	2,26559	0,00873
25											
25	66,53	0,0216	0,3	0,14213	2,01171	0,00028	0,00196	0,00097	2,05194	1,20702	0,01634
26											
26	33,09	0,0453	0,3	0,20583	2,91331	0,00028	0,00136	0,00067	2,97158	1,74799	0,01131
27											
27	19,25	0,0442	0,3	0,20331	2,87772	0,00028	0,00138	0,00068	2,93528	1,72663	0,01146
28											

Suite tableau des vérifications des conditions auto-curage du réseau n° 02 village Ait Saada

N° conduite	L (m)	I (m/m)	Ø (m)	Q_{ps}	V_{ps}	Q_{min}	R_q	R_h	1 ^{er} condition	2eme condition	3eme condition
28	26,72	0,1112	0,3	0,32248	4,56447	0,00028	0,00006	0,00003	4,65576	2,73868	0,00051
29											
29	28,16	0,115	0,3	0,32794	4,64180	0,00028	0,00006	0,00003	4,73464	2,78508	0,00050
22											
22	23,31	0,1004	0,3	0,30642	4,33715	0,00028	0,00006	0,00003	4,42390	2,60229	0,00054
30											
30	16,35	0,1339	0,3	0,35387	5,00874	0,00028	0,00006	0,00003	5,10891	3,00524	0,00047
31											
31	14,53	0,1101	0,3	0,32088	4,54184	0,00028	0,00006	0,00003	4,63267	2,72510	0,00051
32											
32	38,88	0,0746	0,3	0,26413	3,73859	0,00028	0,00007	0,00004	3,81336	2,24315	0,00062
33											
33	29,67	0,0388	0,3	0,19049	2,69621	0,00028	0,00010	0,00005	2,75013	1,61773	0,00086
34											
34	28,86	0,0097	0,3	0,09524	1,34811	0,00028	0,00021	0,00010	1,37507	0,80886	0,00173
35											
35	8,88	0,0097	0,3	0,09524	1,34811	0,00028	0,00021	0,00010	1,37507	0,80886	0,00173
36											
36	21,36	0,0097	0,3	0,09524	1,34811	0,00028	0,00021	0,00010	1,37507	0,80886	0,00173
37											
37	9,95	0,2077	0,3	0,44073	6,23816	0,00028	0,00004	0,00002	6,36292	3,74289	0,00037
38											
38	11,13	0,2077	0,3	0,44073	6,23816	0,00028	0,00004	0,00002	6,36292	3,74289	0,00037
39											
39	7,81	0,2077	0,3	0,44073	6,23816	0,00028	0,00004	0,00002	6,36292	3,74289	0,00037
40											
28	9,2	0,075	0,3	0,26484	3,74860	0,00028	0,00007	0,00004	3,82357	2,24916	0,00062
29											

Suite tableau des vérifications des conditions auto-curage du réseau n°02 village Ait Saada

N° conduite	L (m)	I (m/m)	Ø (m)	Q_{ps}	V_{ps}	Q_{min}	R_q	R_h	1 ^{er} condition	2eme condition	3eme condition
29	46	0,0052	0,3	0,06974	0,98705	0,00028	0,00028	0,00014	1,00679	0,59223	0,00236
22											
22	8,86	0,0565	0,3	0,22987	3,25359	0,00028	0,00009	0,00004	3,31866	1,95215	0,00072
30											
30	9,05	0,1138	0,3	0,32623	4,61752	0,00028	0,00006	0,00003	4,70987	2,77051	0,00050
31											
31	26,04	0,0969	0,3	0,30103	4,26089	0,00028	0,00007	0,00003	4,34610	2,55653	0,00055
32											
32	20,58	0,12	0,3	0,33500	4,74164	0,00028	0,00006	0,00003	4,83647	2,84498	0,00049
33											
33	24,01	0,0929	0,3	0,29475	4,17201	0,00028	0,00007	0,00003	4,25545	2,50321	0,00056
34											
34	46,95	0,0786	0,3	0,27112	3,83751	0,00028	0,00007	0,00004	3,91426	2,30250	0,00061
35											
35	16,63	0,0331	0,3	0,17594	2,49030	0,00028	0,00011	0,00006	2,54011	1,49418	0,00094
36											
36	9,6	0,0198	0,3	0,13608	1,92606	0,00028	0,00015	0,00007	1,96458	1,15564	0,00121
37											
37	26,51	0,0132	0,3	0,11111	1,57262	0,00028	0,00018	0,00009	1,60408	0,94357	0,00148
38											
38	26,56	0,0191	0,3	0,13365	1,89171	0,00028	0,00015	0,00007	1,92954	1,13503	0,00123
39											
39	25,11	0,0721	0,3	0,25967	3,67541	0,00028	0,00008	0,00004	3,74892	2,20524	0,00063
40											
41	31,88	0,1023	0,3	0,30931	4,37800	0,00028	0,00006	0,00003	4,46556	2,62680	0,00053
42											
42	30,14	0,2329	0,3	0,46670	6,60576	0,00028	0,00004	0,00002	6,73787	3,96346	0,00035
43											

Suite tableau des vérifications des conditions auto-curage du réseau n°02 village Ait Saada

N° conduite	L (m)	I (m/m)	Ø (m)	Q_{ps}	V_{ps}	Q_{min}	R_q	R_h	1 ^{er} condition	2eme condition	3eme condition
43	28,64	0,2503	0,3	0,48382	6,84807	0,00028	0,00004	0,00002	6,98503	4,10884	0,00034
44											
45	11,01	0,2897	0,3	0,52050	7,36737	0,00028	0,00004	0,00002	7,51471	4,42042	0,00032
46											
46	21,43	0,1232	0,3	0,33943	4,80445	0,00028	0,00006	0,00003	4,90053	2,88267	0,00048
47											
47	33,35	0,1353	0,3	0,35571	5,03485	0,00028	0,00006	0,00003	5,13555	3,02091	0,00046
48											
48	33,41	0,1431	0,3	0,36582	5,17795	0,00028	0,00005	0,00003	5,28151	3,10677	0,00045
44											
44	17,61	0,134	0,3	0,35400	5,01061	0,00028	0,00006	0,00003	5,11082	3,00636	0,00047
49											
49	28,16	0,146	0,3	0,36951	5,23015	0,00028	0,00005	0,00003	5,33476	3,13809	0,00045
50											
50	67,68	0,172	0,3	0,40106	5,67678	0,00028	0,00005	0,00002	5,79032	3,40607	0,00041
51											
51	41,87	0,0977	0,3	0,30227	4,27844	0,00028	0,00007	0,00003	4,36401	2,56706	0,00054
52											
52	31,05	0,0142	0,3	0,11524	1,63111	0,00028	0,00017	0,00008	1,66373	0,97866	0,00143
53											
54	12,83	0,0156	0,3	0,12078	1,70962	0,00028	0,00016	0,00008	1,74382	1,02577	0,00136
55											
55	13,59	0,0177	0,3	0,12866	1,82106	0,00028	0,00015	0,00008	1,85748	1,09264	0,00128
56											
56	28,06	0,0299	0,3	0,16722	2,36687	0,00028	0,00012	0,00006	2,41420	1,42012	0,00098
57											
57	38,91	0,0501	0,3	0,21646	3,06377	0,00028	0,00009	0,00005	3,12505	1,83826	0,00076
58											

Suite tableau des vérifications des conditions auto-curage n°02 village Ait Saada

N° conduite	L (m)	I (m/m)	Ø (m)	Q_{ps}	V_{ps}	Q_{min}	R_q	R_h	1 ^{er} condition	2eme condition	3eme condition
58	25,12	0,0052	0,3	0,06974	18,26748	0,00028	0,00002	0,00001	18,63283	10,96049	0,00013
59											
59	19,98	0,0095	0,3	0,09426	13,51507	0,00028	0,00002	0,00001	13,78537	8,10904	0,00017
60											
60	21,68	0,0254	0,3	0,15412	8,26539	0,00028	0,00003	0,00002	8,43070	4,95923	0,00028
61											
61	23,32	0,0013	0,3	0,03487	36,53495	0,00028	0,00001	0,00000	37,26565	21,92097	0,00006
62											
62	37,2	0,0228	0,3	0,14602	8,72394	0,00028	0,00003	0,00002	8,89842	5,23437	0,00027
63											
63	18,18	0,00407	0,3	0,06169	20,64824	0,00028	0,00001	0,00001	21,06120	12,38894	0,00011
64											
64	23,78	0,0563	0,3	0,22946	5,55170	0,00028	0,00005	0,00002	5,66273	3,33102	0,00042
65											
65	23,78	0,0563	0,3	0,22946	5,55170	0,00028	0,00005	0,00002	5,66273	3,33102	0,00042
66											
66	37,27	0,2366	0,3	0,47039	2,70815	0,00028	0,00010	0,00005	2,76231	1,62489	0,00086
67											
67	16,31	0,1386	0,3	0,36002	3,53833	0,00028	0,00008	0,00004	3,60910	2,12300	0,00066
68											
68	21,31	0,1483	0,3	0,37241	3,42066	0,00028	0,00008	0,00004	3,48907	2,05239	0,00068
69											
69	13,88	0,054	0,3	0,22472	5,66870	0,00028	0,00005	0,00002	5,78207	3,40122	0,00041
70											
70	40,89	0,0125	0,3	0,10812	11,78217	0,00028	0,00002	0,00001	12,01781	7,06930	0,00020
71											
71	31,73	0,0312	0,3	0,17082	7,45767	0,00028	0,00004	0,00002	7,60682	4,47460	0,00031
40											
40	35,5	0,0099	0,3	0,09622	13,23923	0,00028	0,00002	0,00001	13,50401	7,94354	0,00018
72											

Suite tableau des vérifications des conditions auto-curage du réseau n°02 village Ait Saada

N° conduite	L (m)	I (m/m)	Ø (m)	Q_{ps}	V_{ps}	Q_{min}	R_q	R_h	1 ^{er} condition	2eme condition	3eme condition
72	23,3	0,0326	0,3	0,17461	7,29577	0,00028	0,00004	0,00002	7,44169	4,37746	0,00032
73											
73	13,69	0,0709	0,3	0,25750	4,94717	0,00028	0,00006	0,00003	5,04612	2,96830	0,00047
74											
74	22,23	0,0391	0,3	0,19122	6,66180	0,00028	0,00004	0,00002	6,79504	3,99708	0,00035
75											
75	33,43	0,0021	0,3	0,04432	28,74555	0,00028	0,00001	0,00000	29,32046	17,24733	0,00008
76											
76	31,57	0,0025	0,3	0,04835	26,34573	0,00028	0,00001	0,00001	26,87264	15,80744	0,00009
77											
77	21,92	0,0105	0,3	0,09909	12,85540	0,00028	0,00002	0,00001	13,11251	7,71324	0,00018
78											
78	52,6	0,0122	0,3	0,10681	11,92615	0,00028	0,00002	0,00001	12,16467	7,15569	0,00019
79											
80	14,54	0,0371	0,3	0,18627	6,83901	0,00028	0,00004	0,00002	6,97579	4,10341	0,00034
81											
82	21,58	0,2697	0,3	0,50222	2,53653	0,00028	0,00011	0,00005	2,58726	1,52192	0,00092
83											
83	1023	0,092	0,3	0,29332	4,34296	0,00026	0,00006	0,00003	4,42982	2,60578	0,00050
84											
84	5,49	0,1269	0,3	0,34449	3,69785	0,00028	0,00008	0,00004	3,77181	2,21871	0,00063
85											
85	8,79	0,1013	0,3	0,30779	4,13881	0,00028	0,00007	0,00003	4,22159	2,48329	0,00056
86											
86	6,5	0,1167	0,3	0,33036	3,85607	0,00028	0,00007	0,00004	3,93319	2,31364	0,00060
87											
87	30,06	0,1307	0,3	0,34961	3,64370	0,00028	0,00008	0,00004	3,71657	2,18622	0,00064
88											

Suite tableau des vérifications des conditions auto-curage du réseau n°02 village Ait Saada

N° conduite	L (m)	I (m/m)	Ø (m)	Q_{ps}	V_{ps}	Q_{min}	R_q	R_h	1 ^{er} condition	2eme condition	3eme condition
88	18,85	0,1561	0,3	0,38208	3,33410	0,00028	0,00008	0,00004	3,40078	2,00046	0,00070
89											
89	15,28	0,2507	0,3	0,48420	2,63089	0,00028	0,00011	0,00005	2,68351	1,57854	0,00089
90											
90	38,05	0,1563	0,3	0,38232	3,33197	0,00028	0,00008	0,00004	3,39861	1,99918	0,00070
91											
91	3,15	0,2221	0,3	0,45575	2,79516	0,00028	0,00010	0,00005	2,85106	1,67709	0,00083
92											
92	16,47	0,5238	0,3	0,69989	1,82011	0,00028	0,00015	0,00008	1,85651	1,09207	0,00128
93											
88	24,84	0,0073	0,3	0,08263	15,41767	0,00028	0,00002	0,00001	15,72602	9,25060	0,00015
89											
94	4,17	0,1053	0,3	0,31381	4,05944	0,00028	0,00007	0,00003	4,14063	2,43566	0,00057
95											
95	24,84	0,1787	0,03	0,00088	1446,38732	0,00028	0,00000	0,00000	1475,31506	867,83239	0,00000
96											
96	36,49	0,2953	0,3	0,52551	2,42409	0,00028	0,00012	0,00006	2,47257	1,45445	0,00096
97											
97	20,62	0,1494	0,3	0,37379	3,40804	0,00028	0,00008	0,00004	3,47620	2,04483	0,00068
98											
98	35,86	0,2128	0,3	0,44610	2,85558	0,00028	0,00010	0,00005	2,91269	1,71335	0,00081
99											
99	25,28	0,0099	0,3	0,09622	13,23923	0,00028	0,00002	0,00001	13,50401	7,94354	0,00018
100											
101	46,91	0,0804	0,3	0,27421	4,64571	0,00028	0,00006	0,00003	4,73863	2,78743	0,00050
102											

Suite tableau des vérifications des conditions auto-curage du réseau n°02 village Ait Saada

N° conduite	L (m)	I (m/m)	Ø (m)	Q_{ps}	V_{ps}	Q_{min}	R_q	R_h	1 ^{er} condition	2eme condition	3eme condition
102	60,43	0,176	0,3	0,52968	2,40502	0,00028	0,00012	0,00006	2,45313	1,44301	0,00097
103											
103	25,28	0,0099	0,3	0,52968	2,40502	0,00028	0,00012	0,00006	2,45313	1,44301	0,00097
100											
100	32,2	0,1037	0,3	0,52968	2,40502	0,00028	0,00012	0,00006	2,45313	1,44301	0,00097
111											
111	43,35	0,0925	0,3	0,52968	2,40502	0,00028	0,00012	0,00006	2,45313	1,44301	0,00097
112											
112	13,94	0,0946	0,3	0,52968	2,40502	0,00028	0,00012	0,00006	2,45313	1,44301	0,00097
113											
113	36,04	0,048	0,3	0,52968	2,40502	0,00028	0,00012	0,00006	2,45313	1,44301	0,00097
81											
81	40,12	0,0785	0,3	0,52968	2,40502	0,00028	0,00012	0,00006	2,45313	1,44301	0,00097
114											
114	26,91	0,0591	0,3	0,52968	2,40502	0,00028	0,00012	0,00006	2,45313	1,44301	0,00097
115											
115	48,06	0,0081	0,3	0,52968	2,40502	0,00028	0,00012	0,00006	2,45313	1,44301	0,00097
116											
116	68,5	0,0479	0,3	0,52968	2,40502	0,00028	0,00012	0,00006	2,45313	1,44301	0,00097
117											
117	35,73	0,1061	0,3	0,52968	2,40502	0,00028	0,00012	0,00006	2,45313	1,44301	0,00097
118											
118	35,92	0,138	0,3	0,52968	2,40502	0,00028	0,00012	0,00006	2,45313	1,44301	0,00097
119											
119	28,13	0,1689	0,3	0,52968	2,40502	0,00028	0,00012	0,00006	2,45313	1,44301	0,00097
120											

Suite tableau des vérifications des conditions auto-curage du réseau n°02 village Ait Saada

N° conduite	L (m)	I (m/m)	Ø (m)	Q_{ps}	V_{ps}	Q_{min}	R_q	R_h	1 ^{er} condition	2eme condition	3eme condition
121	26,82	0,1174	0,3	0,33135	3,84456	0,00028	0,00007	0,00004	3,92145	2,30673	0,00061
122											
123	11,87	0,0371	0,3	0,18627	6,83901	0,00028	0,00004	0,00002	6,97579	4,10341	0,00034
123											
121	58,22	0,1163	0,3	0,32979	3,86269	0,00028	0,00007	0,00004	3,93995	2,31762	0,00060
121											
124	12,7	0,0425	0,3	0,19936	6,38978	0,00028	0,00004	0,00002	6,51757	3,83387	0,00036
124											
125	14,73	0,0285	0,3	0,16326	7,80293	0,00028	0,00004	0,00002	7,95899	4,68176	0,00030
125											
126	14,64	0,1352	0,3	0,35558	3,58255	0,00028	0,00008	0,00004	3,65420	2,14953	0,00065
126											
127	19,52	0,1486	0,3	0,37279	3,41720	0,00028	0,00008	0,00004	3,48555	2,05032	0,00068
127											
128	19,93	0,0707	0,3	0,25713	4,95417	0,00028	0,00006	0,00003	5,05325	2,97250	0,00047
128											
129	14,27	0,0931	0,3	0,29507	4,31723	0,00028	0,00006	0,00003	4,40358	2,59034	0,00054
129											
130	7,45	0,1664	0,3	0,39448	3,22926	0,00028	0,00009	0,00004	3,29385	1,93756	0,00072
130											
131	9,13	0,1884	0,3	0,41975	3,03487	0,00028	0,00009	0,00005	3,09557	1,82092	0,00077
131											
132	6,5	0,234	0,3	0,46780	2,72315	0,00028	0,00010	0,00005	2,77762	1,63389	0,00086
132											
133	16,08	0,1081	0,3	0,31795	4,00652	0,00028	0,00007	0,00003	4,08665	2,40391	0,00058
134											

Suite tableau des vérifications des conditions auto-curage du réseau n°02 village Ait Saada

N° conduite	L (m)	I (m/m)	Ø (m)	Q_{ps}	V_{ps}	Q_{min}	R_q	R_h	1 ^{er} condition	2eme condition	3eme condition
134	12,28	0,0806	0,3	0,27455	4,63994	0,00028	0,00006	0,00003	4,73274	2,78397	0,00050
135											
135	2222	0,0851	0,3	0,28211	4,51560	0,00023	0,00005	0,00003	4,60591	2,70936	0,00043
136											
116	7,9	0,143	0,3	0,36569	3,48347	0,00028	0,00008	0,00004	3,55314	2,09008	0,00067
133											
133	7,01	0,1441	0,3	0,36710	3,47015	0,00028	0,00008	0,00004	3,53955	2,08209	0,00067
137											
137	14,35	0,1645	0,3	0,39222	3,24786	0,00028	0,00009	0,00004	3,31282	1,94872	0,00072
138											
138	14	0,0914	0,3	0,29236	4,35720	0,00028	0,00006	0,00003	4,44434	2,61432	0,00053
139											
139	11,74	0,0997	0,3	0,30535	4,17189	0,00028	0,00007	0,00003	4,25533	2,50313	0,00056
140											
141	28,46	0,566	0,3	0,72754	1,75094	0,00028	0,00016	0,00008	1,78596	1,05057	0,00133
142											
142	8,22	0,0064	0,3	0,07736	16,46608	0,00028	0,00002	0,00001	16,79540	9,87965	0,00014
143											
143	27,55	0,0064	0,3	0,07736	16,46608	0,00028	0,00002	0,00001	16,79540	9,87965	0,00014
144											
144	19,9	0,0098	0,3	0,09573	13,30660	0,00028	0,00002	0,00001	13,57273	7,98396	0,00018
145											
145	15,04	0,0098	0,3	0,09573	13,30660	0,00028	0,00002	0,00001	13,57273	7,98396	0,00018
146											
146	7,99	0,0098	0,3	0,09573	13,30660	0,00028	0,00002	0,00001	13,57273	7,98396	0,00018
147											

Suite tableau des vérifications des conditions auto-curage du réseau n°02 village Ait Saada

N° conduite	L (m)	I (m/m)	Ø (m)	Q_{ps}	V_{ps}	Q_{min}	R_q	R_h	1 ^{er} condition	2eme condition	3eme condition
147	26,02	0,1931	0,3	0,42495	2,99771	0,00028	0,00009	0,00005	3,05766	1,79862	0,00078
148											
148	35,55	0,1931	0,3	0,42495	2,99771	0,00028	0,00009	0,00005	3,05766	1,79862	0,00078
149											
149	25,98	0,1772	0,3	0,40708	3,12931	0,00028	0,00009	0,00004	3,19189	1,87758	0,00074
150											
150	18,47	0,1592	0,3	0,38585	3,30148	0,00028	0,00008	0,00004	3,36751	1,98089	0,00071
151											
151	20,76	0,1772	0,3	0,40708	3,12931	0,00028	0,00009	0,00004	3,19189	1,87758	0,00074
152											
152	21,81	0,1772	0,3	0,40708	3,12931	0,00028	0,00009	0,00004	3,19189	1,87758	0,00074
153											
147	11,39	0,1726	0,3	0,40176	3,17073	0,00028	0,00009	0,00004	3,23415	1,90244	0,00074
153											
154	15,25	0,1726	0,3	0,40176	3,17073	0,00028	0,00009	0,00004	3,23415	1,90244	0,00074
154											
140	24,82	0,1726	0,3	0,40176	3,17073	0,00028	0,00009	0,00004	3,23415	1,90244	0,00073
140											
155	14,42	0,1227	0,3	0,33874	3,76061	0,00028	0,00007	0,00004	3,83582	2,25636	0,00062
155											
156	48,91	0,1094	0,3	0,31986	3,98264	0,00028	0,00007	0,00003	4,06230	2,38959	0,00058
156											
157	36	0,1083	0,3	0,31825	4,00282	0,00028	0,00007	0,00003	4,08288	2,40169	0,00058
157											
158	26,02	0,1931	0,3	0,42495	2,99771	0,00028	0,00009	0,00005	3,05766	1,79862	0,00078
158											

Suite tableau des vérifications des conditions auto-curage du réseau n°02 village Ait Saada

N° conduite	L (m)	I (m/m)	Ø (m)	Q_{ps}	V_{ps}	Q_{min}	R_q	R_h	1 ^{er} condition	2eme condition	3eme condition
14	26,72	0,1112	0,3	0,32248	4,56447	0,00028	0,00006	0,00003	4,65576	2,73868	0,00051
15											
15	28,16	0,115	0,3	0,32794	4,64180	0,00028	0,00006	0,00003	4,73464	2,78508	0,00050
16											
16	23,31	0,1004	0,3	0,30642	4,33715	0,00028	0,00006	0,00003	4,42390	2,60229	0,00054
17											
17	16,35	0,1339	0,3	0,35387	5,00874	0,00028	0,00006	0,00003	5,10891	3,00524	0,00047
18											
18	14,53	0,1101	0,3	0,32088	4,54184	0,00028	0,00006	0,00003	4,63267	2,72510	0,00051
19											
19	38,88	0,0746	0,3	0,26413	3,73859	0,00028	0,00007	0,00004	3,81336	2,24315	0,00062
20											
20	29,67	0,0388	0,3	0,19049	2,69621	0,00028	0,00010	0,00005	2,75013	1,61773	0,00086
21											
21	28,86	0,0097	0,3	0,09524	1,34811	0,00028	0,00021	0,00010	1,37507	0,80886	0,00173
22											
22	8,88	0,0097	0,3	0,09524	1,34811	0,00028	0,00021	0,00010	1,37507	0,80886	0,00173
23											
24	21,36	0,0097	0,3	0,09524	1,34811	0,00028	0,00021	0,00010	1,37507	0,80886	0,00173
25											
25	9,95	0,2077	0,3	0,44073	6,23816	0,00028	0,00004	0,00002	6,36292	3,74289	0,00037
26											
26	11,13	0,2077	0,3	0,44073	6,23816	0,00028	0,00004	0,00002	6,36292	3,74289	0,00037
27											
27	7,81	0,2077	0,3	0,44073	6,23816	0,00028	0,00004	0,00002	6,36292	3,74289	0,00037
28											
28	9,2	0,075	0,3	0,26484	3,74860	0,00028	0,00007	0,00004	3,82357	2,24916	0,00062
23											

Suite tableau des vérifications des conditions auto-curage du réseau n°02 village Ait Saada

N° conduite	L (m)	I (m/m)	Ø (m)	Q_{ps}	V_{ps}	Q_{min}	R_q	R_h	1 ^{er} condition	2eme condition	3eme condition
23	46	0,0052	0,3	0,06974	0,98705	0,00028	0,00028	0,00014	1,00679	0,59223	0,00236
29											
30	8,86	0,0565	0,3	0,22987	3,25359	0,00028	0,00009	0,00004	3,31866	1,95215	0,00072
31											
31	9,05	0,1138	0,3	0,32623	4,61752	0,00028	0,00006	0,00003	4,70987	2,77051	0,00050
32											
32	26,04	0,0969	0,3	0,30103	4,26089	0,00028	0,00007	0,00003	4,34610	2,55653	0,00055
33											
33	20,58	0,12	0,3	0,33500	4,74164	0,00028	0,00006	0,00003	4,83647	2,84498	0,00049
34											
34	24,01	0,0929	0,3	0,29475	4,17201	0,00028	0,00007	0,00003	4,25545	2,50321	0,00056
35											
35	46,95	0,0786	0,3	0,27112	3,83751	0,00028	0,00007	0,00004	3,91426	2,30250	0,00061
36											
36	16,63	0,0331	0,3	0,17594	2,49030	0,00028	0,00011	0,00006	2,54011	1,49418	0,00094
37											
37	9,6	0,0198	0,3	0,13608	1,92606	0,00028	0,00015	0,00007	1,96458	1,15564	0,00121
38											
38	26,51	0,0132	0,3	0,11111	1,57262	0,00028	0,00018	0,00009	1,60408	0,94357	0,00148
39											
39	26,56	0,0191	0,3	0,13365	1,89171	0,00028	0,00015	0,00007	1,92954	1,13503	0,00123
40											
40	25,11	0,0721	0,3	0,25967	3,67541	0,00028	0,00008	0,00004	3,74892	2,20524	0,00063
41											
41	31,88	0,1023	0,3	0,30931	4,37800	0,00028	0,00006	0,00003	4,46556	2,62680	0,00053
42											
42	30,14	0,2329	0,3	0,46670	6,60576	0,00028	0,00004	0,00002	6,73787	3,96346	0,00035
43											

Suite tableau des vérifications des conditions auto-curage du réseau n°02 village Ait Saada

N° conduite	L (m)	I (m/m)	Ø (m)	Q_{ps}	V_{ps}	Q_{min}	R_q	R_h	1 ^{er} condition	2eme condition	3eme condition
43	28,64	0,2503	0,3	0,48382	6,84807	0,00028	0,00004	0,00002	6,98503	4,10884	0,00034
39											
39	11,01	0,2897	0,3	0,52050	7,36737	0,00028	0,00004	0,00002	7,51471	4,42042	0,00032
29											
29	21,43	0,1232	0,3	0,33943	4,80445	0,00028	0,00006	0,00003	4,90053	2,88267	0,00048
44											
44	33,35	0,1353	0,3	0,35571	5,03485	0,00028	0,00006	0,00003	5,13555	3,02091	0,00046
45											
45	33,41	0,1431	0,3	0,36582	5,17795	0,00028	0,00005	0,00003	5,28151	3,10677	0,00045
46											
46	17,61	0,134	0,3	0,35400	5,01061	0,00028	0,00006	0,00003	5,11082	3,00636	0,00047
47											
47	28,16	0,146	0,3	0,36951	5,23015	0,00028	0,00005	0,00003	5,33476	3,13809	0,00045
48											
48	67,68	0,172	0,3	0,40106	5,67678	0,00028	0,00005	0,00002	5,79032	3,40607	0,00041
49											
49	41,87	0,0977	0,3	0,30227	4,27844	0,00028	0,00007	0,00003	4,36401	2,56706	0,00054
50											
50	31,05	0,0142	0,3	0,11524	1,63111	0,00028	0,00017	0,00008	1,66373	0,97866	0,00143
51											
51	12,83	0,0156	0,3	0,12078	1,70962	0,00028	0,00016	0,00008	1,74382	1,02577	0,00136
52											
52	13,59	0,0177	0,3	0,12866	1,82106	0,00028	0,00015	0,00008	1,85748	1,09264	0,00128
53											
53	28,06	0,0299	0,3	0,16722	2,36687	0,00028	0,00012	0,00006	2,41420	1,42012	0,00098
54											
54	38,91	0,0501	0,3	0,21646	3,06377	0,00028	0,00009	0,00005	3,12505	1,83826	0,00076
55											

Suite tableau des vérifications des conditions auto-curage du réseau n°02 village Ait Saada

N° conduite	L (m)	I (m/m)	Ø (m)	Q_{ps}	V_{ps}	Q_{min}	R_q	R_h	1 ^{er} condition	2eme condition	3eme condition
55	25,12	0,0052	0,3	0,06974	18,26748	0,00028	0,00002	0,00001	18,63283	10,96049	0,00013
56											
56	19,98	0,0095	0,3	0,09426	13,51507	0,00028	0,00002	0,00001	13,78537	8,10904	0,00017
57											
57	21,68	0,0254	0,3	0,15412	8,26539	0,00028	0,00003	0,00002	8,43070	4,95923	0,00028
58											
58	23,32	0,0013	0,3	0,03487	36,53495	0,00028	0,00001	0,00000	37,26565	21,92097	0,00006
59											
59	37,2	0,0228	0,3	0,14602	8,72394	0,00028	0,00003	0,00002	8,89842	5,23437	0,00027
60											
61	18,18	0,00407	0,3	0,06169	20,64824	0,00028	0,00001	0,00001	21,06120	12,38894	0,00011
62											
62	23,78	0,0563	0,3	0,22946	5,55170	0,00028	0,00005	0,00002	5,66273	3,33102	0,00042
63											
63	37,27	0,2366	0,3	0,47039	2,70815	0,00028	0,00010	0,00005	2,76231	1,62489	0,00086
64											
64	16,31	0,1386	0,3	0,36002	3,53833	0,00028	0,00008	0,00004	3,60910	2,12300	0,00066
60											
60	21,31	0,1483	0,3	0,37241	3,42066	0,00028	0,00008	0,00004	3,48907	2,05239	0,00068
65											
65	13,88	0,054	0,3	0,22472	5,66870	0,00028	0,00005	0,00002	5,78207	3,40122	0,00041
66											
66	40,89	0,0125	0,3	0,10812	11,78217	0,00028	0,00002	0,00001	12,01781	7,06930	0,00020
67											
67	31,73	0,0312	0,3	0,17082	7,45767	0,00028	0,00004	0,00002	7,60682	4,47460	0,00031
68											
68	35,5	0,0099	0,3	0,09622	13,23923	0,00028	0,00002	0,00001	13,50401	7,94354	0,00018
69											

Suite tableau des vérifications des conditions auto-curage du réseau n°02 village Ait Saada

N° conduite	L (m)	I (m/m)	Ø (m)	Q_{ps}	V_{ps}	Q_{min}	R_q	R_h	1 ^{er} condition	2eme condition	3eme condition
69	23,3	0,0326	0,3	0,17461	7,29577	0,00028	0,00004	0,00002	7,44169	4,37746	0,00032
70											
70	13,69	0,0709	0,3	0,25750	4,94717	0,00028	0,00006	0,00003	5,04612	2,96830	0,00047
71											
71	22,23	0,0391	0,3	0,19122	6,66180	0,00028	0,00004	0,00002	6,79504	3,99708	0,00035
72											
72	33,43	0,0021	0,3	0,04432	28,74555	0,00028	0,00001	0,00000	29,32046	17,24733	0,00008
73											
73	31,57	0,0025	0,3	0,04835	26,34573	0,00028	0,00001	0,00001	26,87264	15,80744	0,00009
74											
74	21,92	0,0105	0,3	0,09909	12,85540	0,00028	0,00002	0,00001	13,11251	7,71324	0,00018
75											
75	52,6	0,0122	0,3	0,10681	11,92615	0,00028	0,00002	0,00001	12,16467	7,15569	0,00019
76											
76	14,54	0,0371	0,3	0,18627	6,83901	0,00028	0,00004	0,00002	6,97579	4,10341	0,00034
77											
77	21,58	0,2697	0,3	0,50222	2,53653	0,00028	0,00011	0,00005	2,58726	1,52192	0,00092
78											
78	1023	0,092	0,3	0,29332	4,34296	0,00026	0,00006	0,00003	4,42982	2,60578	0,00050
79											
79	5,49	0,1269	0,3	0,34449	3,69785	0,00028	0,00008	0,00004	3,77181	2,21871	0,00063
80											
80	8,79	0,1013	0,3	0,30779	4,13881	0,00028	0,00007	0,00003	4,22159	2,48329	0,00056
81											
81	6,5	0,1167	0,3	0,33036	3,85607	0,00028	0,00007	0,00004	3,93319	2,31364	0,00060
82											
82	30,06	0,1307	0,3	0,34961	3,64370	0,00028	0,00008	0,00004	3,71657	2,18622	0,00064
83											

Suite tableau des vérifications des conditions auto-curage du réseau n°02 village Ait Saada

N° conduite	L (m)	I (m/m)	Ø (m)	Q_{ps}	V_{ps}	Q_{min}	R_q	R_h	1 ^{er} condition	2eme condition	3eme condition
83	18,85	0,1561	0,3	0,38208	3,33410	0,00028	0,00008	0,00004	3,40078	2,00046	0,00070
84											
84	15,28	0,2507	0,3	0,48420	2,63089	0,00028	0,00011	0,00005	2,68351	1,57854	0,00089
85											
85	38,05	0,1563	0,3	0,38232	3,33197	0,00028	0,00008	0,00004	3,39861	1,99918	0,00070
86											
86	3,15	0,2221	0,3	0,45575	2,79516	0,00028	0,00010	0,00005	2,85106	1,67709	0,00083
87											
87	16,47	0,5238	0,3	0,69989	1,82011	0,00028	0,00015	0,00008	1,85651	1,09207	0,00128
88											
88	24,84	0,0073	0,3	0,08263	15,41767	0,00028	0,00002	0,00001	15,72602	9,25060	0,00015
89											
89	4,17	0,1053	0,3	0,31381	4,05944	0,00028	0,00007	0,00003	4,14063	2,43566	0,00057
90											
90	24,84	0,1787	0,03	0,00088	1446,38732	0,00028	0,00000	0,00000	1475,31506	867,83239	0,00000
91											
91	36,49	0,2953	0,3	0,52551	2,42409	0,00028	0,00012	0,00006	2,47257	1,45445	0,00096
92											
92	20,62	0,1494	0,3	0,37379	3,40804	0,00028	0,00008	0,00004	3,47620	2,04483	0,00068
93											
93	35,86	0,2128	0,3	0,44610	2,85558	0,00028	0,00010	0,00005	2,91269	1,71335	0,00081
94											
94	25,28	0,0099	0,3	0,09622	13,23923	0,00028	0,00002	0,00001	13,50401	7,94354	0,00018
95											
95	46,91	0,0804	0,3	0,27421	4,64571	0,00028	0,00006	0,00003	4,73863	2,78743	0,00050
96											

Suite tableau des vérifications des conditions auto-curage du réseau n°02 village Ait Saada

N° conduite	L (m)	I (m/m)	Ø (m)	Q_{ps}	V_{ps}	Q_{min}	R_q	R_h	1 ^{er} condition	2eme condition	3eme condition
83	60,43	0,176	0,3	0,52968	2,40502	0,00028	0,00012	0,00006	2,45313	1,44301	0,00097
84											
84	25,28	0,0099	0,3	0,52968	2,40502	0,00028	0,00012	0,00006	2,45313	1,44301	0,00097
85											
85	32,2	0,1037	0,3	0,52968	2,40502	0,00028	0,00012	0,00006	2,45313	1,44301	0,00097
86											
86	43,35	0,0925	0,3	0,52968	2,40502	0,00028	0,00012	0,00006	2,45313	1,44301	0,00097
87											
87	13,94	0,0946	0,3	0,52968	2,40502	0,00028	0,00012	0,00006	2,45313	1,44301	0,00097
88											
88	36,04	0,048	0,3	0,52968	2,40502	0,00028	0,00012	0,00006	2,45313	1,44301	0,00097
89											
89	40,12	0,0785	0,3	0,52968	2,40502	0,00028	0,00012	0,00006	2,45313	1,44301	0,00097
90											
90	26,91	0,0591	0,3	0,52968	2,40502	0,00028	0,00012	0,00006	2,45313	1,44301	0,00097
91											
91	48,06	0,0081	0,3	0,52968	2,40502	0,00028	0,00012	0,00006	2,45313	1,44301	0,00097
92											
92	68,5	0,0479	0,3	0,52968	2,40502	0,00028	0,00012	0,00006	2,45313	1,44301	0,00097
93											
93	35,73	0,1061	0,3	0,52968	2,40502	0,00028	0,00012	0,00006	2,45313	1,44301	0,00097
94											
94	35,92	0,138	0,3	0,52968	2,40502	0,00028	0,00012	0,00006	2,45313	1,44301	0,00097
95											
95	28,13	0,1689	0,3	0,52968	2,40502	0,00028	0,00012	0,00006	2,45313	1,44301	0,00097
96											

Suite tableau des vérifications des conditions auto-curage du réseau n°02 village Ait Saada

N° conduite	L (m)	I (m/m)	Ø (m)	Q_{ps}	V_{ps}	Q_{min}	R_q	R_h	1 ^{er} condition	2eme condition	3eme condition
83	26,82	0,1174	0,3	0,33135	3,84456	0,00028	0,00007	0,00004	3,92145	2,30673	0,00061
84											
84	11,87	0,0371	0,3	0,18627	6,83901	0,00028	0,00004	0,00002	6,97579	4,10341	0,00034
85											
85	58,22	0,1163	0,3	0,32979	3,86269	0,00028	0,00007	0,00004	3,93995	2,31762	0,00060
86											
86	12,7	0,0425	0,3	0,19936	6,38978	0,00028	0,00004	0,00002	6,51757	3,83387	0,00036
87											
87	14,73	0,0285	0,3	0,16326	7,80293	0,00028	0,00004	0,00002	7,95899	4,68176	0,00030
88											
88	14,64	0,1352	0,3	0,35558	3,58255	0,00028	0,00008	0,00004	3,65420	2,14953	0,00065
89											
89	19,52	0,1486	0,3	0,37279	3,41720	0,00028	0,00008	0,00004	3,48555	2,05032	0,00068
90											
90	19,93	0,0707	0,3	0,25713	4,95417	0,00028	0,00006	0,00003	5,05325	2,97250	0,00047
91											
91	14,27	0,0931	0,3	0,29507	4,31723	0,00028	0,00006	0,00003	4,40358	2,59034	0,00054
92											
92	7,45	0,1664	0,3	0,39448	3,22926	0,00028	0,00009	0,00004	3,29385	1,93756	0,00072
93											
93	9,13	0,1884	0,3	0,41975	3,03487	0,00028	0,00009	0,00005	3,09557	1,82092	0,00077
94											
94	6,5	0,234	0,3	0,46780	2,72315	0,00028	0,00010	0,00005	2,77762	1,63389	0,00086
95											
95	16,08	0,1081	0,3	0,31795	4,00652	0,00028	0,00007	0,00003	4,08665	2,40391	0,00058
96											

Suite tableau des vérifications des conditions auto-curage du réseau n°02 village Ait Saada

N° conduite	L (m)	I (m/m)	Ø (m)	Q_{ps}	V_{ps}	Q_{min}	R_q	R_h	1 ^{er} condition	2eme condition	3eme condition
83	12,28	0,0806	0,3	0,27455	4,63994	0,00028	0,00006	0,00003	4,73274	2,78397	0,00050
84											
84	22,22	0,0851	0,3	0,28211	4,51560	0,00028	0,00006	0,00003	4,60591	2,70936	0,00052
85											
85	7,9	0,143	0,3	0,36569	3,48347	0,00028	0,00008	0,00004	3,55314	2,09008	0,00067
86											
86	7,01	0,1441	0,3	0,36710	3,47015	0,00028	0,00008	0,00004	3,53955	2,08209	0,00067
87											
87	14,35	0,1645	0,3	0,39222	3,24786	0,00028	0,00009	0,00004	3,31282	1,94872	0,00072
88											
88	14	0,0914	0,3	0,29236	4,35720	0,00028	0,00006	0,00003	4,44434	2,61432	0,00053
89											
89	11,74	0,0997	0,3	0,30535	4,17189	0,00028	0,00007	0,00003	4,25533	2,50313	0,00056
90											
90	28,46	0,566	0,3	0,72754	1,75094	0,00028	0,00016	0,00008	1,78596	1,05057	0,00133
91											
91	8,22	0,0064	0,3	0,07736	16,46608	0,00028	0,00002	0,00001	16,79540	9,87965	0,00014
92											
92	27,55	0,0064	0,3	0,07736	16,46608	0,00028	0,00002	0,00001	16,79540	9,87965	0,00014
93											
93	19,9	0,0098	0,3	0,09573	13,30660	0,00028	0,00002	0,00001	13,57273	7,98396	0,00018
94											
94	15,04	0,0098	0,3	0,09573	13,30660	0,00028	0,00002	0,00001	13,57273	7,98396	0,00018
95											
95	7,99	0,0098	0,3	0,09573	13,30660	0,00028	0,00002	0,00001	13,57273	7,98396	0,00018
96											

Suite tableau des vérifications des conditions auto-curage du réseau n°02 village Ait Saada

N° conduite	L (m)	I (m/m)	Ø (m)	Q_{ps}	V_{ps}	Q_{min}	R_q	R_h	1 ^{er} condition	2eme condition	3eme condition
83	26,02	0,1931	0,3	0,42495	2,99771	0,00028	0,00009	0,00005	3,05766	1,79862	0,00078
84											
84	35,55	0,1931	0,3	0,42495	2,99771	0,00028	0,00009	0,00005	3,05766	1,79862	0,00078
85											
85	25,98	0,1772	0,3	0,40708	3,12931	0,00028	0,00009	0,00004	3,19189	1,87758	0,00074
86											
86	18,47	0,1592	0,3	0,38585	3,30148	0,00028	0,00008	0,00004	3,36751	1,98089	0,00071
87											
87	20,76	0,1772	0,3	0,40708	3,12931	0,00028	0,00009	0,00004	3,19189	1,87758	0,00074
88											
88	21,81	0,1772	0,3	0,40708	3,12931	0,00028	0,00009	0,00004	3,19189	1,87758	0,00074
89											
89	11,39	0,1726	0,3	0,40176	3,17073	0,00028	0,00009	0,00004	3,23415	1,90244	0,00074
90											
90	15,25	0,1726	0,3	0,40176	3,17073	0,00028	0,00009	0,00004	3,23415	1,90244	0,00074
91											
91	24,82	0,1726	0,3	0,40176	3,17073	0,00028	0,00009	0,00004	3,23415	1,90244	0,00073
92											
92	14,42	0,1227	0,3	0,33874	3,76061	0,00028	0,00007	0,00004	3,83582	2,25636	0,00062
93											
93	48,91	0,1094	0,3	0,31986	3,98264	0,00028	0,00007	0,00003	4,06230	2,38959	0,00058
94											
94	36	0,1083	0,3	0,31825	4,00282	0,00028	0,00007	0,00003	4,08288	2,40169	0,00058
95											
95	26,02	0,1931	0,3	0,42495	2,99771	0,00028	0,00009	0,00005	3,05766	1,79862	0,00078
96											

Suite tableau des vérifications des conditions auto-curage du réseau n°02 village Ait Saada

N° conduite	L (m)	I (m/m)	\emptyset (m)	Q_{ps}	V_{ps}	Q_{min}	R_q	R_h	1 ^{er} condition	2eme condition	3eme condition
1	22,94	0,0079	0,3	0,08595	1,21661	0,00028	0,00322	0,00160	1,24094	0,72997	0,02686
2											
2	3,19	0,05	0,3	0,21624	3,06072	0,00028	0,00129	0,00064	3,12193	1,83643	0,01077
3											
3	10,49	0,2391	0,3	0,47287	6,69311	0,00028	0,00059	0,00029	6,82697	4,01586	0,00491
4											
4	13,25	0,1728	0,3	0,40200	5,68997	0,00028	0,00069	0,00034	5,80377	3,41398	0,00577
5											
6	43,3	0,0672	0,3	0,25069	3,54832	0,00027	0,00109	0,00054	3,61928	2,12899	0,00912
7											
7	15,14	0,2	0,3	0,43248	6,12143	0,00028	0,00064	0,00032	6,24386	3,67286	0,00536
8											
8	48,97	0,782	0,3	0,85517	12,10435	0,00027	0,00032	0,00016	12,34643	7,26261	0,00267
9											
9	15,12	0,1085	0,3	0,31854	4,50872	0,00028	0,00087	0,00043	4,59889	2,70523	0,00727
10											
10	11,11	0,0521	0,3	0,22073	3,12433	0,00028	0,00126	0,00063	3,18682	1,87460	0,01052
11											
11	22,84	0,0521	0,3	0,22073	3,12433	0,00028	0,00126	0,00062	3,18682	1,87460	0,01046
12											
12	13,34	0,2702	0,3	0,50268	7,11509	0,00028	0,00055	0,00027	7,25740	4,26906	0,00461
13											
13	20,27	0,2702	0,3	0,50268	7,11509	0,00028	0,00055	0,00027	7,25740	4,26906	0,00460
14											
14	50,84	0,1190	0,3	0,33360	4,72184	0,00027	0,00082	0,00041	4,81628	2,83311	0,00683
5											

Tableau des vérifications des conditions auto-curage du réseau n°03 village Ait Saada

N° conduite	L (m)	I (m/m)	Ø (m)	Q_{ps}	V_{ps}	Q_{min}	R_q	R_h	1 ^{er} condition	2eme condition	3eme condition
5	8,12	0,1069	0,3	0,31618	4,47535	0,00028	0,00088	0,00044	4,56486	2,68521	0,00735
15											
15	18,55	0,1069	0,3	0,31618	4,47535	0,00028	0,00088	0,00044	4,56486	2,68521	0,00732
16											
16	11,72	0,0887	0,3	0,28801	4,07662	0,00028	0,00097	0,00048	4,15815	2,44597	0,00806
17											
17	21,05	0,1553	0,3	0,38110	5,39416	0,00028	0,00073	0,00036	5,50204	3,23650	0,00606
18											
18	19,19	0,0610	0,3	0,23884	3,38067	0,00028	0,00116	0,00058	3,44828	2,02840	0,00968
19											
19	31,17	0,061	0,3	0,23884	3,38067	0,00028	0,00116	0,00057	3,44828	2,02840	0,00963
20											
20	26,95	0,02	0,3	0,13676	1,93577	0,00028	0,00202	0,00100	1,97448	1,16146	0,01685
21											
21	16,87	0,02	0,3	0,13676	1,93577	0,00028	0,00203	0,00101	1,97448	1,16146	0,01693
22											
22	19,45	0,02	0,3	0,13676	1,93577	0,00028	0,00203	0,00101	1,97448	1,16146	0,01691
23											
23	56,6	0,01	0,3	0,09671	1,36879	0,00027	0,00282	0,00140	1,39617	0,82128	0,02350
24											
24	11,32	0,0632	0,3	0,24311	3,44109	0,00028	0,00115	0,00057	3,50992	2,06466	0,00955
25											
25	24,09	0,0632	0,3	0,24311	3,44109	0,00028	0,00114	0,00057	3,50992	2,06466	0,00949
26											
26	27,34	0,1462	0,3	0,36976	5,23373	0,00028	0,00075	0,00037	5,33841	3,14024	0,00623
27											
27	27,7	0,1462	0,3	0,36976	5,23373	0,00028	0,00075	0,00037	5,33841	3,14024	0,00623
28											

Suite tableau des vérifications des conditions auto-curage du réseau n°03 village Ait Saada

N° conduite	L (m)	I (m/m)	Ø (m)	Q _{ps}	V _{ps}	Q _{min}	R _q	R _h	1 ^{er} condition	2eme condition	3eme condition
28	33,97	0,0157	0,3	0,12117	1,71509	0,00028	0,00227	0,00113	1,74940	1,02906	0,01896
29											
29	32,86	0,0157	0,3	0,12117	1,71509	0,00028	0,00228	0,00113	1,74940	1,02906	0,01897
30											
30	10,59	0,0892	0,3	0,28882	4,08809	0,00028	0,00096	0,00048	4,16985	2,45285	0,00804
31											
31	20,03	0,0892	0,3	0,28882	4,08809	0,00028	0,00096	0,00048	4,16985	2,45285	0,00800
32											
33	16,94	0,0207	0,2	0,04719	1,50290	0,00028	0,00589	0,00292	1,53295	0,90174	0,04906
34											
34	32,76	0,0510	0,2	0,07407	2,35901	0,00028	0,00372	0,00185	2,40619	1,41540	0,03103
35											
35	12,53	0,0431	0,2	0,06809	2,16861	0,00028	0,00409	0,00203	2,21199	1,30117	0,03407
36											
36	5,86	0,0188	0,2	0,04497	1,43226	0,00028	0,00621	0,00308	1,46091	0,85936	0,05174
37											
37	17,03	0,0276	0,2	0,05449	1,73539	0,00028	0,00510	0,00253	1,77010	1,04124	0,04249
38											
38	24,81	0,0863	0,2	0,09636	3,06866	0,00028	0,00287	0,00143	3,13004	1,84120	0,02394
32											
32	23	0,0986	0,3	0,30366	4,29810	0,00028	0,00091	0,00045	4,38406	2,57886	0,00760
39											
39	28,91	0,0564	0,3	0,22966	3,25070	0,00028	0,00120	0,00060	3,31572	1,95042	0,01002
40											

Suite tableau des vérifications des conditions auto-curage du réseau n°03 village Ait Saada

N° conduite	L (m)	I (m/m)	Ø (m)	Q_{ps}	V_{ps}	Q_{min}	R_q	R_h	1 ^{er} condition	2eme condition	3eme condition
40	46,3	0,0564	0,3	0,22966	3,25070	0,00027	0,00119	0,00059	3,31572	1,95042	0,00994
41											
41	22,24	0,0564	0,3	0,22966	3,25070	0,00028	0,00121	0,00060	3,31572	1,95042	0,01006
42											
42	17,43	0,0564	0,3	0,22966	3,25070	0,00028	0,00121	0,00060	3,31572	1,95042	0,01008
43											
43	21,35	0,0564	0,3	0,22966	3,25070	0,00028	0,00121	0,00060	3,31572	1,95042	0,01006
44											
44	25,67	0,0441	0,3	0,20308	2,87447	0,00028	0,00136	0,00068	2,93196	1,72468	0,01135
45											
45	21,55	0,0441	0,3	0,20308	2,87447	0,00028	0,00137	0,00068	2,93196	1,72468	0,01138
46											
46	14,11	0,0709	0,3	0,25750	3,64469	0,00028	0,00108	0,00054	3,71759	2,18682	0,00900
47											
47	10,77	0,1198	0,3	0,33472	4,73769	0,00028	0,00083	0,00041	4,83244	2,84261	0,00694
48											
48	10,93	0,1592	0,3	0,38585	5,46147	0,00028	0,00072	0,00036	5,57070	3,27688	0,00602
49											
49	16,03	0,1479	0,3	0,37191	5,26407	0,00028	0,00075	0,00037	5,36936	3,15844	0,00623
50											
50	11,66	0,3207	0,3	0,54765	7,75153	0,00028	0,00051	0,00025	7,90656	4,65092	0,00424
51											

Suite tableau des vérifications des conditions auto-curage du réseau n°03 village Ait Saada

N° conduite	L (m)	I (m/m)	\emptyset (m)	Q_{ps}	V_{ps}	Q_{min}	R_q	R_h	1 ^{er} condition	2eme condition	3eme condition
1	42,82	0,008	0,2	0,02934	0,93431	0,00028	0,00951	0,00473	0,95299	0,56058	0,00114
2											
2	16,05	0,068	0,2	0,08553	2,72394	0,00028	0,00327	0,00162	2,77842	1,63437	0,00039
3											
3	19,63	0,068	0,2	0,08553	2,72394	0,00028	0,00327	0,00162	2,77842	1,63437	0,00039
4											
4	27,09	0,0589	0,2	0,07960	2,53514	0,00028	0,00351	0,00174	2,58584	1,52108	0,00042
5											
5	28,74	0,0589	0,2	0,07960	2,53514	0,00028	0,00351	0,00174	2,58584	1,52108	0,00042
6											
6	28,63	0,0589	0,2	0,07960	2,53514	0,00028	0,00351	0,00174	2,58584	1,52108	0,00042
7											
7	56,6	0,0349	0,2	0,06128	1,95145	0,00028	0,00455	0,00226	1,99047	1,17087	0,00055
8											
8	37,37	0,0422	0,2	0,06738	2,14585	0,00028	0,00414	0,00206	2,18877	1,28751	0,00050
9											
9	44,52	0,0349	0,2	0,06128	1,95145	0,00028	0,00455	0,00226	1,99047	1,17087	0,00055
10											
10	74,83	0,0833	0,2	0,09467	3,01485	0,00028	0,00294	0,00146	3,07515	1,80891	0,00035
11											
11	36,13	0,0833	0,2	0,09467	3,01485	0,00028	0,00295	0,00146	3,07515	1,80891	0,00035
12											
12	25,66	0,0557	0,2	0,07741	2,46531	0,00028	0,00361	0,00179	2,51462	1,47919	0,00043
13											
13	41,24	0,0924	0,2	0,09970	3,17526	0,00028	0,00280	0,00139	3,23877	1,90516	0,00034
14											

Tableau des vérifications des conditions auto-curage du réseau n°04 village Ait Saada

N° conduite	L (m)	I (m/m)	\emptyset (m)	Q_{ps}	V_{ps}	Q_{min}	R_q	R_h	1 ^{er} condition	2eme condition	3eme condition
1	30,73	0,0163	0,3	0,12347	1,74756	0,00028	0,00223	0,00111	1,78251	1,04854	0,01857
2											
2	24,4	0,0163	0,3	0,12347	1,74756	0,00028	0,00224	0,00111	1,78251	1,04854	0,01864
3											
3	10,59	0,0163	0,3	0,12347	1,74756	0,00028	0,00225	0,00112	1,78251	1,04854	0,01879
4											
5	10,5	0,0497	0,3	0,21559	3,05152	0,00028	0,00129	0,00064	3,11255	1,83091	0,01076
6											
6	27,73	0,0497	0,3	0,21559	3,05152	0,00028	0,00128	0,00063	3,11255	1,83091	0,01065
7											
7	14,93	0,0276	0,2	0,05449	1,73539	0,00028	0,00510	0,00253	1,77010	1,04124	0,04246
8											
8	12,43	0,0276	0,2	0,05449	1,73539	0,00028	0,00510	0,00253	1,77010	1,04124	0,04252
9											
9	26,95	0,0258	0,2	0,05268	1,67785	0,00028	0,00523	0,00260	1,71141	1,00671	0,04362
10											
10	19,31	0,0258	0,2	0,05268	1,67785	0,00028	0,00526	0,00261	1,71141	1,00671	0,04381
11											
11	17,72	0,0258	0,2	0,05268	1,67785	0,00028	0,00526	0,00261	1,71141	1,00671	0,04385
4											
4	6,98	0,461	0,3	0,65660	9,29370	0,00028	0,00042	0,00021	9,47957	5,57622	0,00354
12											
12	21,59	0,1	0,3	0,30581	4,32851	0,00028	0,00090	0,00045	4,41508	2,59710	0,00754
13											
13	28,34	0,0779	0,3	0,26991	3,82038	0,00028	0,00102	0,00051	3,89679	2,29223	0,00851
14											

Suite tableau des vérifications des conditions auto-curage du réseau n°04 village Ait Saada

N° conduite	L (m)	I (m/m)	Ø (m)	Q_{ps}	V_{ps}	Q_{min}	R_q	R_h	1 ^{er} condition	2eme condition	3eme condition
14	30,73	0,0163	0,3	0,12347	1,74756	0,00028	0,00223	0,00111	1,78251	1,04854	0,01857
15											
15	24,4	0,0163	0,3	0,12347	1,74756	0,00028	0,00224	0,00111	1,78251	1,04854	0,01864
16											
16	10,59	0,0163	0,3	0,12347	1,74756	0,00028	0,00225	0,00112	1,78251	1,04854	0,01879
17											
17	10,5	0,0497	0,3	0,21559	3,05152	0,00028	0,00129	0,00064	3,11255	1,83091	0,01076
18											
18	27,73	0,0497	0,3	0,21559	3,05152	0,00028	0,00128	0,00063	3,11255	1,83091	0,01065
19											

Tableau des vérifications des conditions auto-curage du réseau n°01 village Imaghdacen

N° conduite	L (m)	I (m/m)	Ø (m)	Q_{ps}	V_{ps}	Q_{min}	R_q	R_h	1 ^{er} condition	2eme condition	3eme condition
14	25,26	0,01326	0,2	0,03777	33,72758	0,00028	0,00740	0,00368	34,40213	20,23655	0,00089
15											
15	40,65	0,126	0,2	0,11643	10,94137	0,00028	0,00240	0,00119	11,16020	6,56482	0,00029
16											
17	40,86	0,126	0,2	0,11643	10,94137	0,00028	0,00240	0,00119	11,16020	6,56482	0,00029
18											
18	23,65	0,0732	0,2	0,08874	14,35494	0,00028	0,00315	0,00156	14,64204	8,61296	0,00038
19											
19	29,99	0,0914	0,2	0,09916	12,84647	0,00028	0,00282	0,00140	13,10340	7,70788	0,00034
20											
20	20,75	0,0983	0,2	0,10284	12,38740	0,00028	0,00272	0,00135	12,63515	7,43244	0,00033
21											
21	8,63	0,095	0,2	0,10110	12,60071	0,00028	0,00277	0,00137	12,85273	7,56043	0,00033
22											
22	9,32	0,0923	0,2	0,09965	12,78368	0,00028	0,00281	0,00139	13,03936	7,67021	0,00034
23											
23	24,2	0,1099	0,2	0,10874	11,71543	0,00028	0,00257	0,00128	11,94973	7,02926	0,00031
24											
24	15,9	0,1522	0,2	0,12796	9,95519	0,00028	0,00219	0,00108	10,15429	5,97311	0,00026
25											
25	12,18	0,1641	0,2	0,13287	9,58744	0,00028	0,00211	0,00104	9,77919	5,75246	0,00025
26											
26	14,16	0,0664	0,2	0,08452	15,07207	0,00028	0,00331	0,00164	15,37351	9,04324	0,00040
27											
27	13,9	0,0827	0,2	0,09432	13,50530	0,00028	0,00297	0,00147	13,77540	8,10318	0,00036
28											

Suite tableau des vérifications des conditions auto-curage du réseau n°01 village Imaghdacen

N° conduite	L (m)	I (m/m)	\emptyset (m)	Q_{ps}	V_{ps}	Q_{min}	R_q	R_h	1 ^{er} condition	2eme condition	3eme condition
28	45,44	0,1004	0,2	0,10393	12,25717	0,00028	0,00002	0,00001	12,50231	7,35430	0,00000
29											
29	25,67	0,0223	0,2	0,04898	26,00785	0,00028	0,00001	0,00001	26,52801	15,60471	0,00000
16											
16	9,72	0,0267	0,2	0,05360	23,76847	0,00028	0,00001	0,00001	24,24384	14,26108	0,00000
30											
30	47,36	0,0938	0,3	0,29618	4,30109	0,00028	0,00006	0,00003	4,38711	2,58066	0,00001
31											
31	40,04	0,1054	0,3	0,31396	4,05751	0,00028	0,00007	0,00003	4,13866	2,43451	0,00001
32											
32	20,28	0,0558	0,3	0,22844	5,57652	0,00028	0,00005	0,00002	5,68805	3,34591	0,00001
33											
33	22,04	0,0558	0,3	0,22844	5,57652	0,00028	0,00005	0,00002	5,68805	3,34591	0,00001
34											
34	29,09	0,0329	0,3	0,17541	7,26244	0,00028	0,00004	0,00002	7,40768	4,35746	0,00000
35											
35	27,80	0,0329	0,3	0,17541	7,26244	0,00028	0,00004	0,00002	7,40768	4,35746	0,00000
36											
36	21,55	0,0809	0,3	0,27506	4,63133	0,00028	0,00006	0,00003	4,72396	2,77880	0,00001
37											
37	11,7	0,0809	0,3	0,27506	4,63133	0,00028	0,00006	0,00003	4,72396	2,77880	0,00001
38											
38	8,83	0,0809	0,3	0,27506	4,63133	0,00028	0,00006	0,00003	4,72396	2,77880	0,00001
39											
39	11,30	0,0809	0,3	0,27506	4,63133	0,00028	0,00006	0,00003	4,72396	2,77880	0,00001
40											

Suite tableau des vérifications des conditions auto-curage du réseau n°01 village Imaghdacen

N° conduite	L (m)	I (m/m)	ϕ (m)	Q_{ps}	V_{ps}	Q_{min}	R_q	R_h	1 ^{er} condition	2eme condition	3eme condition
40	12,90	0,0809	0,3	0,27506	4,63133	0,00028	0,00006	0,00003	4,72396	2,77880	0,00001
41											
41	19,95	0,2070	0,3	0,43998	2,89531	0,00028	0,00010	0,00005	2,95322	1,73719	0,00001
42											
42	16,18	0,3082	0,3	0,53687	2,37282	0,00028	0,00012	0,00006	2,42027	1,42369	0,00001
43											
43	8,19	0,1394	0,3	0,36106	3,52816	0,00028	0,00008	0,00004	3,59873	2,11690	0,00001
44											
44	16,69	0,0259	0,3	0,15563	8,18522	0,00028	0,00003	0,00002	8,34892	4,91113	0,00000
45											
45	14,03	0,0259	0,3	0,15563	8,18522	0,00028	0,00003	0,00002	8,34892	4,91113	0,00000
46											
46	16,2	0,0259	0,3	0,15563	8,18522	0,00028	0,00003	0,00002	8,34892	4,91113	0,00000
47											
47	46,68	0,0259	0,3	0,15563	8,18522	0,00028	0,00003	0,00002	8,34892	4,91113	0,00000
48											
48	17,16	0,0375	0,3	0,18727	6,80244	0,00028	0,00004	0,00002	6,93849	4,08146	0,00000
49											
49	19,37	0,0375	0,3	0,18727	6,80244	0,00028	0,00004	0,00002	6,93849	4,08146	0,00000
50											
50	14,06	0,0691	0,3	0,25421	5,01119	0,00028	0,00006	0,00003	5,11142	3,00672	0,00001
51											
51	15,94	0,0691	0,3	0,25421	5,01119	0,00028	0,00006	0,00003	5,11142	3,00672	0,00001
52											
52	17,58	0,0691	0,3	0,25421	5,01119	0,00028	0,00006	0,00003	5,11142	3,00672	0,00001
53											

Suite tableau des vérifications des conditions auto-curage du réseau n°01 village Imaghdacen

N° conduite	L (m)	I (m/m)	Ø (m)	Q_{ps}	V_{ps}	Q_{min}	R_q	R_h	1 ^{er} condition	2eme condition	3eme condition
53	17,10	0,0691	0,3	0,25421	5,01119	0,00028	0,00006	0,00003	5,11142	3,00672	0,00001
54											
54	9,93	0,0908	0,3	0,29140	4,37157	0,00028	0,00006	0,00003	4,45900	2,62294	0,00001
55											
55	27,25	0,0908	0,3	0,29140	4,37157	0,00028	0,00006	0,00003	4,45900	2,62294	0,00001
56											
56	24,37	0,0908	0,3	0,29140	4,37157	0,00028	0,00006	0,00003	4,45900	2,62294	0,00001
57											
57	24,37	0,1098	0,3	0,32044	3,97538	0,00028	0,00007	0,00003	4,05489	2,38523	0,00001
58											
58	56,92	0,1098	0,3	0,32044	3,97538	0,00028	0,00007	0,00003	4,05489	2,38523	0,00001
59											
59	20,61	0,1098	0,3	0,32044	3,97538	0,00028	0,00007	0,00003	4,05489	2,38523	0,00001
60											
61	11,06	0,1098	0,3	0,32044	3,97538	0,00028	0,00007	0,00003	4,05489	2,38523	0,00001
62											
6	24,38	0,1098	0,3	0,32044	3,97538	0,00028	0,00007	0,00003	4,05489	2,38523	0,00001
63											
63	9,77	0,0301	0,2	0,05691	22,38585	0,00028	0,00001	0,00001	22,83357	13,43151	0,00000
64											
64	15,78	0,0301	0,2	0,05691	22,38585	0,00028	0,00001	0,00001	22,83357	13,43151	0,00000
65											
65	10,69	0,0574	0,2	0,07858	16,21067	0,00028	0,00002	0,00001	16,53488	9,72640	0,00000
66											
66	13,19	0,0574	0,2	0,07858	16,21067	0,00028	0,00002	0,00001	16,53488	9,72640	0,00000
67											

Suite tableau des vérifications des conditions auto-curage du réseau n°01 village Imaghdacen

N° conduite	L (m)	I (m/m)	Ø (m)	Q _{ps}	V _{ps}	Q _{min}	R _q	R _h	1 ^{er} condition	2eme condition	3eme condition
67	22,56	0,0385	0,2	0,06436	19,79368	0,00028	0,00001	0,00001	20,18955	11,87621	0,00000
68											
68	27,86	0,0385	0,2	0,06436	19,79368	0,00028	0,00001	0,00001	20,18955	11,87621	0,00000
69											
69	6,01	0,005	0,2	0,02319	54,92523	0,00028	0,00001	0,00000	56,02374	32,95514	0,00000
70											
70	16,63	0,005	0,2	0,02319	54,92523	0,00028	0,00001	0,00000	56,02374	32,95514	0,00000
71											
71	11,81	0,005	0,2	0,02319	54,92523	0,00028	0,00001	0,00000	56,02374	32,95514	0,00000
72											
72	13,2	0,005	0,2	0,02319	54,92523	0,00028	0,00001	0,00000	56,02374	32,95514	0,00000
73											
73	10,36	0,005	0,2	0,02319	54,92523	0,00028	0,00001	0,00000	56,02374	32,95514	0,00000
74											
74	11,45	0,005	0,2	0,02319	54,92523	0,00028	0,00001	0,00000	56,02374	32,95514	0,00000
75											
75	13,5	0,005	0,2	0,02319	54,92523	0,00028	0,00001	0,00000	56,02374	32,95514	0,00000
76											
76	3,98	0,005	0,2	0,02319	54,92523	0,00028	0,00001	0,00000	56,02374	32,95514	0,00000
77											
77	7,62	0,005	0,2	0,02319	54,92523	0,00028	0,00001	0,00000	56,02374	32,95514	0,00000
60											
60	14,94	0,005	0,2	0,02319	54,92523	0,00028	0,00001	0,00000	56,02374	32,95514	0,00000
71											
71	10,71	0,005	0,2	0,02319	54,92523	0,00028	0,00001	0,00000	56,02374	32,95514	0,00000
72											

Suite tableau des vérifications des conditions auto-curage du réseau n°01 village Imaghdacen

N° conduite	L (m)	I (m/m)	Ø (m)	Q_{ps}	V_{ps}	Q_{min}	R_q	R_h	1 ^{er} condition	2eme condition	3eme condition
72	22,69	0,1256	0,2	0,11624	10,95878	0,00028	0,00003	0,00001	11,17795	6,57527	0,00000
73											
73	24,52	0,1256	0,2	0,11624	10,95878	0,00028	0,00003	0,00001	11,17795	6,57527	0,00000
74											
74	63,35	0,1256	0,2	0,11624	10,95878	0,00028	0,00003	0,00001	11,17795	6,57527	0,00000
75											
75	15,12	0,0782	0,2	0,09172	13,88844	0,00028	0,00002	0,00001	14,16621	8,33307	0,00000
76											
76	38,07	0,0782	0,2	0,09172	13,88844	0,00028	0,00002	0,00001	14,16621	8,33307	0,00000
77											
77	25,58	0,0688	0,2	0,08603	14,80685	0,00028	0,00002	0,00001	15,10299	8,88411	0,00000
78											
78	21,78	0,0688	0,2	0,08603	14,80685	0,00028	0,00002	0,00001	15,10299	8,88411	0,00000
79											
79	23,69	0,0688	0,2	0,08603	14,80685	0,00028	0,00002	0,00001	15,10299	8,88411	0,00000
80											
80	24,55	0,0860	0,2	0,09619	13,24365	0,00028	0,00002	0,00001	13,50852	7,94619	0,00000
81											
81	16,26	0,0860	0,2	0,09619	13,24365	0,00028	0,00002	0,00001	13,50852	7,94619	0,00000
82											
82	24,11	0,0860	0,2	0,09619	13,24365	0,00028	0,00002	0,00001	13,50852	7,94619	0,00000
83											
83	23,25	0,0860	0,2	0,09619	13,24365	0,00028	0,00002	0,00001	13,50852	7,94619	0,00000
84											
84	23,08	0,0860	0,2	0,09619	13,24365	0,00028	0,00002	0,00001	13,50852	7,94619	0,00000
85											

Suite tableau des vérifications des conditions auto-curage du réseau n°01 village Imaghdacen

N° conduite	L (m)	I (m/m)	Ø (m)	Q_{ps}	V_{ps}	Q_{min}	R_q	R_h	1 ^{er} condition	2eme condition	3eme condition
85	12,67	0,1098	0,2	0,10869	11,72076	0,00028	0,00002	0,00001	11,95517	7,03246	0,00000
86											
86	21,94	0,1098	0,2	0,10869	11,72076	0,00028	0,00002	0,00001	11,95517	7,03246	0,00000
87											
87	21,29	0,0902	0,2	0,09851	12,93164	0,00028	0,00002	0,00001	13,19027	7,75898	0,00000
88											
88	15,25	0,0774	0,2	0,09125	13,96003	0,00028	0,00002	0,00001	14,23923	8,37602	0,00000
89											
89	4,96	0,0392	0,2	0,06494	19,61615	0,00028	0,00001	0,00001	20,00848	11,76969	0,00000
90											
90	33,6	0,0392	0,2	0,06494	19,61615	0,00028	0,00001	0,00001	20,00848	11,76969	0,00000
91											
91	23,27	0,0486	0,2	0,07231	17,61728	0,00028	0,00002	0,00001	17,96962	10,57037	0,00000
92											
92	25,23	0,0486	0,2	0,07231	17,61728	0,00028	0,00002	0,00001	17,96962	10,57037	0,00000
93											
93	10,35	0,0819	0,2	0,09387	13,57110	0,00028	0,00002	0,00001	13,84252	8,14266	0,00000
94											
94	8,94	0,0819	0,2	0,09387	13,57110	0,00028	0,00002	0,00001	13,84252	8,14266	0,00000
95											
95	15,38	0,0194	0,2	0,04569	27,88406	0,00028	0,00001	0,00000	28,44174	16,73044	0,00000
96											
96	26,40	0,0194	0,2	0,04569	27,88406	0,00028	0,00001	0,00000	28,44174	16,73044	0,00000
97											
97	30,74	0,0194	0,2	0,04569	27,88406	0,00028	0,00001	0,00000	28,44174	16,73044	0,00000
98											

Suite tableau des vérifications des conditions auto-curage du réseau n°01 village Imaghdacen

N° conduite	L (m)	I (m/m)	Ø (m)	Q_{ps}	V_{ps}	Q_{min}	R_q	R_h	1 ^{er} condition	2eme condition	3eme condition
98	14,81	0,0493	0,2	0,07283	17,49176	0,00028	0,00002	0,00001	17,84159	10,49505	0,00000
99											
99	10,88	0,0948	0,2	0,10099	12,61400	0,00028	0,00002	0,00001	12,86628	7,56840	0,00000
100											
100	8,94	0,0948	0,2	0,10099	12,61400	0,00028	0,00002	0,00001	12,86628	7,56840	0,00000
101											
101	7,07	0,0065	0,2	0,02644	48,17262	0,00028	0,00001	0,00000	49,13607	28,90357	0,00000
102											
102	25,42	0,0065	0,2	0,02644	48,17262	0,00028	0,00001	0,00000	49,13607	28,90357	0,00000
103											

Tableau des vérifications des conditions auto-curage du réseau du village Taourirth

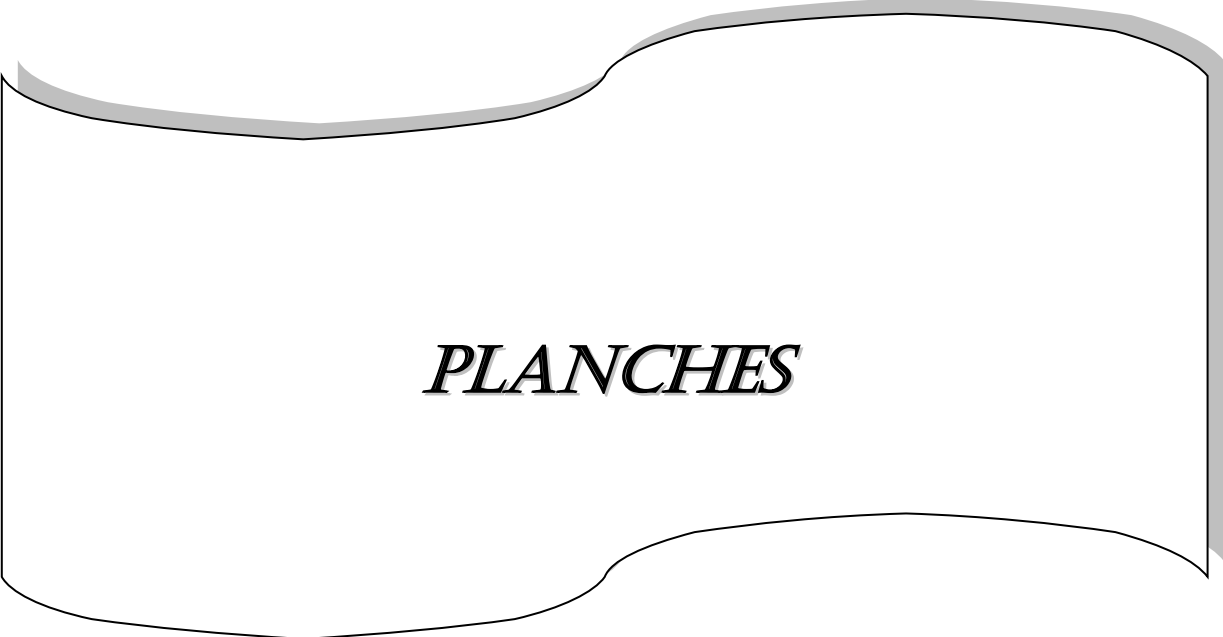
N° conduite	L (m)	I (m/m)	Ø (m)	Q_{ps}	V_{ps}	Q_{min}	R_q	R_h	1er condit	2eme condit	3eme condit
1	6.29	0.0167	0,3	0,12497	1,76887	0,00028	0,00223	0,00111	1,80425	1,06132	0,01861
2											
2	9.75	0.0167	0,3	0,12497	1,76887	0,00028	0,00223	0,00111	1,80425	1,06132	0,01857
3											
3	30.77	0.0167	0,3	0,12497	1,76887	0,00028	0,00220	0,00109	1,80425	1,06132	0,01835
4											
5	25.71	0.0167	0,3	0,12497	1,76887	0,00028	0,00221	0,00110	1,80425	1,06132	0,01840
6											
6	9.73	0.1552	0,3	0,38097	5,39242	0,00028	0,00073	0,00036	5,50027	3,23545	0,00609
4											
4	13.2	0.1121	0,3	0,32378	4,58290	0,00028	0,00086	0,00043	4,67456	2,74974	0,00715
7											
7	10.64	0.1804	0,3	0,41074	5,81375	0,00028	0,00068	0,00034	5,93002	3,48825	0,00565
8											
8	28.79	0.1714	0,3	0,40036	5,66687	0,00028	0,00069	0,00034	5,78021	3,40012	0,00573
9											
10	4.54	0.1714	0,3	0,40036	5,66687	0,00028	0,00070	0,00035	5,78021	3,40012	0,00581
11											
11	27.53	0.1714	0,3	0,40036	5,66687	0,00028	0,00069	0,00034	5,78021	3,40012	0,00574
12											
12	15.06	0.1371	0,2	0,12145	3,86779	0,00028	0,00229	0,00113	3,94514	2,32067	0,01905
13											
13	13.67	0.1371	0,2	0,12145	3,86779	0,00028	0,00229	0,00114	3,94514	2,32067	0,01907
14											
14	5.78	0.0729	0,2	0,08856	2,82038	0,00028	0,00315	0,00156	2,87679	1,69223	0,02626
9											

Suite tableau des vérifications des conditions auto-curage du réseau du village Taourirth

N° conduite	L (m)	I (m/m)	Ø (m)	Q_{ps}	V_{ps}	Q_{min}	R_q	R_h	1er condit	2eme condit	3eme condit
9	7.53	0.0729	0.2	0,08856	2,82038	0,00028	0,00315	0,00156	2,87679	1,69223	0,02624
15											
15	8.62	0.0729	0.2	0,08856	2,82038	0,00028	0,00315	0,00156	2,87679	1,69223	0,02622
16											
16	58.47	0.0177	0.3	0,12866	1,82106	0,00027	0,00210	0,00104	1,85748	1,09264	0,01754
17											
17	23.49	0.1132	0.3	0,32537	4,60533	0,00028	0,00085	0,00042	4,69744	2,76320	0,00708
18											
19	41.63	0.0356	0.3	0,18246	2,58263	0,00027	0,00150	0,00074	2,63429	1,54958	0,01249
20											
21	24.91	0.01	0.3	0,09671	1,36879	0,00028	0,00285	0,00142	1,39617	0,82128	0,02379
21											
22	15.7	0.01	0.3	0,09671	1,36879	0,00028	0,00287	0,00142	1,39617	0,82128	0,02392
23											
24	15.05	0.01	0.3	0,09671	1,36879	0,00028	0,00287	0,00143	1,39617	0,82128	0,02392
18											
18	8.77	0.01	0.3	0,09671	1,36879	0,00028	0,00288	0,00143	1,39617	0,82128	0,02401
25											
25	17.77	0.0448	0.3	0,20469	2,89719	0,00028	0,00135	0,00067	2,95513	1,73831	0,01129
26											
26	6.99	0.0166	0.3	0,12460	1,76357	0,00028	0,00224	0,00111	1,79884	1,05814	0,01865
27											
27	32.56	0.0166	0.3	0,12460	1,76357	0,00027	0,00221	0,00110	1,79884	1,05814	0,01838
28											
29	58.64	0.0166	0.3	0,12460	1,76357	0,00027	0,00217	0,00108	1,79884	1,05814	0,01811
30											

Suite tableau des vérifications des conditions auto-curage du réseau du village Taourirth

N° conduite	L (m)	I (m/m)	Ø (m)	Q_{ps}	V_{ps}	Q_{min}	R_q	R_h	1 ^{er} condit	2eme condit	3eme condit
30	24.86	0.0815	0.3	0,27607618	3,90765998	0,00027609	0,00100005	0,00049626	3,98581318	2,344596	0,00833375
31											
31	16.52	0.0815	0.3	0,27607618	3,90765998	0,000277402	0,0010048	0,00049862	3,98581318	2,344596	0,00837335
32											
32	36.15	0.1001	0.3	0,30596177	4,33066911	0,000274314	0,00089656	0,0004449	4,41728249	2,5984015	0,00747137
33											
33	32.35	0.1001	0.3	0,30596177	4,33066911	0,000274912	0,00089852	0,00044587	4,41728249	2,5984015	0,00748765
34											
34	11.81	0.1685	0.3	0,39696305	5,6187268	0,000278143	0,00070068	0,00034768	5,73110133	3,3712361	0,00583897
35											
35	14.01	0.1685	0.3	0,39696305	5,6187268	0,000277797	0,0006998	0,00034725	5,73110133	3,3712361	0,0058317
36											
36	14.01	0.1685	0.3	0,39696305	5,6187268	0,000277797	0,0006998	0,00034725	5,73110133	3,3712361	0,0058317
37											
37	44.12	0.2191	0.3	0,45265917	6,40706532	0,000273061	0,00060324	0,00029933	6,53520663	3,8442392	0,00502698
38											
38	23.7	0.2191	0.3	0,45265917	6,40706532	0,000276272	0,00061033	0,00030285	6,53520663	3,8442392	0,0050861
28											
28	23.38	0.2191	0.3	0,45265917	6,40706532	0,000276323	0,00061044	0,0003029	6,53520663	3,8442392	0,00508703
39											
39	43.95	0.1722	0.3	0,40129773	5,6800811	0,000273088	0,00068051	0,00033767	5,79368272	3,4080487	0,00567093
40											
40	22.86	0.1365	0.3	0,35728638	5,05713199	0,000276405	0,00077362	0,00038388	5,15827463	3,0342792	0,00016584
41											
41	5.49	0.1365	0.3	0,35728638	5,05713199	0,000279137	0,00078127	0,00038768	5,15827463	3,0342792	0,00016748
42											
42	55.34	0.0716	0.3	0,25876566	3,66264203	0,000271296	0,00104842	0,00052027	3,73589487	2,1975852	0,00016278
43											



PLANCHES

Résumé :

L'objectif de ce travail est la conception et l'étude d'un réseau d'assainissement séparatif d'eaux usées des villages : TAGROUDJA, AIT SAADA, TAOURIRT et IMAGHEDASSEN de la commune d'AKFADOU, wilaya de BEJAIA.

Dans notre étude nous avons essayé de réaliser un réseau d'assainissement séparatif d'eaux usées tout en respectant les normes techniques et sanitaires exigées.

Ce mémoire est représenté sous forme de cinq chapitres qui contient toutes les étapes nécessaire de la réalisation de ce travail.

Summary:

The objective of this work is the design and study of a separate wastewater treatment network villages: TAGROUDJA, AIT SAADA, TAOURIRT and IMAGHEDASSEN of the municipality of AKFADOU, wilaya of BEJAIA.

In our study, we tried to create a separate wastewater treatment network while respecting the required technical and sanitary standards.

This thesis is represented in the form of five chapters which contains all the necessary steps for the realization of this work.

ملخص

الهدف من هذا العمل هو تصميم ودراسة شبكة معالجة مياه الصرف الصحي المنفصلة ، والقرى: تغروجة ، آيت سعادة توريرت و إماغدادسن التابعة لبلدية أكفا دو بولاية بجاية

في دراستنا ، حاولنا إنشاء شبكة منفصلة لمعالجة مياه الصرف الصحي مع احترام المعايير الفنية والصحية المطلوبة.

يتم تقديم هذه الرسالة في شكل خمسة فصول تحتوي على جميع الخطوات الازمة لتحقيق هذا العمل